

Redakční rada:

Doc. Ing. Dr. L. Oppl, CSc. (vedoucí redaktor) — Ing. V. Bašus (výkonný redaktor) —  
Doc. Ing. Dr. J. Cihelka — V. Fridrich, dipl. tech. — Doc. Ing. V. Chalupová, CSc. —  
Ing. arch. L. Chalupský — Doc. Ing. J. Chyský, CSc. — Ing. B. Jelen — Ing. L. Kubíček —  
Ing. Dr. M. Lázňovský, — Ing. Dr. J. Němec, CSc. — Ing. L. Strach, CSc. — Doc.  
Ing. J. Valchář, CSc.

Adresa redakce: Dvorecká 3, 147 00 Praha 4

OBSAH

J. Dobiáš, V. Hlavačka, S. Stýblo:	Přestup tepla v deskových a desko-žebrových výměnících	193
Ing. J. Patočka, CSc., Ing. Z. Vitamvás, CSc.:	Poměrové měření odběru teplé užitkové vody v soustavě centrálního zásobování teplem . . . . .	203
Ing. K. Brož, CSc., Ing. K. Kadavý:	Příprava teplé užitkové vody v pražských sídlištích . . . . .	211
Ing. J. Matějček:	Regulace zařízení na využívání sluneční energie pro ohřev užitkové vody . . . . .	223
Ing. P. Tomašovič, CSc.:	Realizácia a výsledky protihlukových opatrení v plynovo- vých kotolniach . . . . .	231

CONTENTS

J. Dobiáš, V. Hlavačka, S. Stýblo:	Heat transfer in plate and plate-fin heat exchangers . . . . .	193
Ing. J. Patočka, CSc., Ing. Z. Vitamvás, CSc.:	Proportional measurement of supply hot water off-take in a central heat supply system . . . . .	203
Ing. K. Brož, CSc., Ing. K. Kadavý:	Supply hot water preparation in housing estates of Prague . . . . .	211
Ing. J. Matějček:	Control of an equipment using solar energy for supply water heating-up . . . . .	223
Ing. P. Tomašovič, CSc.:	Realization and results of anti-noise measures in gas boiler houses . . . . .	231

---

ACADEMIA

## СОДЕРЖАНИЕ

Й. Добиаш, В. Главачка, С. Стыбло:	Теплоотдача в пластинчатых и пластинчато-ребристых теплообменниках . . . . .	193
Инж. Й. Паточка, к.т.н., Инж. З. Витамвас, к.т.н.:	Пропорциональное измерение отбора теплой производственной воды в системе центрального теплоснабжения . . . . .	203
Инж. К. Брож, к.т.н., Инж. К. Кадавы:	Приготовления теплой производственной воды в поселках Праги . . . . .	211
Инж. Й. Матейчек:	Регуляция оборудования использующего солнечной энергии для обогрева производственной воды . . . . .	223
Инж. П. Томашович, к.т.н.:	Реализация и результаты противошумовых мероприятий в газовых котельных . . . . .	231

•

## SOMMAIRE

J. Dobiáš, V. Hlavačka, S. Stýblo:	Transmission de la chaleur dans les échangeurs à plaques et ceux à plaques-ailettes . . . . .	193
Ing. J. Patočka, CSc., Ing. Z. Vitamvás, CSc.:	Mesure de rapport de la prise d'eau chaude utile dans un système de la fourniture de chaleur centrale . . . . .	203
Ing. K. Brož, CSc., Ing. K. Kadavý:	Préparation de l'eau chaude utile dans les agglomération de Prague . . . . .	211
Ing. J. Matějček:	Régulation de l'installazion d'utilisation de l'énergie solaire pour le réchauffage de l'eau utile . . . . .	223
Ing. P. Tomašovič, CSc.:	Réalisation et les résultats des mesures de sécurité contre le bruit dans les chaufferies à gaz . . . . .	231

•

## INHALT

J. Dobiáš, V. Hlavačka, S. Stýblo:	Wärmeübergang in den Platten- und Platten-Rippen-Wärmeaustauschern . . . . .	193
Ing. J. Patočka, CSc., Ing. Z. Vitamvás, CSc.:	Verhältnismessung der Gebrauchswarmwasserentnahme in einem Zentralwärmeverversorgungssystem . . . . .	203
Ing. K. Brož, CSc., Ing. K. Kadavý:	Gebrauchswarmwassererzeugung in Prager Wohnsiedlungen . . . . .	211
Ing. J. Matějček:	Regelung der Sonnenenergieausnutzungsanlage für die Nutzwassererwärmung . . . . .	223
Ing. P. Tomašovič, CSc.:	Realisierung und Ergebnisse der Lärmbekämpfungsmassnahmen in den Gaskesselanlagen . . . . .	231

# PŘESTUP TEPLA V DESKOVÝCH A DESKOŽEBROVÝCH VÝMĚNÍCÍCH

J. DOBIÁŠ, V. HLAVAČKA, S. STÝBLO

*Státní výzkumný ústav pro stavbu strojů, Praha 9-Běchovice*

Je podán stručný přehled vlastností deskových a deskožebrových výměníků tepla, které jako výměníky s intenzifikovanými a kompaktními teplosměnnými povrchy nacházejí široké uplatnění u mnoha průmyslových pochodů. Údaje o přestupu tepla u různých zvlněných kanálů, povrchů vytvořených přesazenými rovnými žebry a u několika jiných typů žebrování jsou uvedeny v bezrozměrovém tvaru a porovnány s mezními hodnotami odvozenými z laminárního, přechodového a turbulentního proudění v přímém kanálu.

*Recenzoval: Doc. Ing. Dr. Ladislav Oppl, CSc.*

## 1. ÚVOD

Současné tendenze ve stavbě výměníků tepla, z velké části ovlivněné vývojem palivoenergetické situace, směřují k dosahování vysoké termické účinnosti při co nejmenší spotřebě materiálu, zastaveného prostoru a při minimálních výrobních nákladech. Při účelném plnění těchto požadavků se zpravidla nelze obejít bez intenzifikace přenosu tepla ve výměníku, což vede k odklonu od tradičních konstrukčních elementů, hladkých trubek a jejich nahradě jinými teplosměnnými povrhy.

Intenzifikace přenosu tepla (enhancement of heat transfer), podrobněji, dosažení větších hodnot součinitele přestupu tepla a velikosti teplosměnné plochy na některé straně výměníku, je možná zejména těmito způsoby:

- a) zmenšením hydraulického průměru průtokových cest;
- b) rozrušováním mezní vrstvy vytvářející se na povrchu teplosměnných elementů, zintenzivněním turbulence a rušením přímočarosti nebo i rovnoměrnosti proudění;
- c) rozšířením teplosměnného povrchu, např. různými druhy žebrování.

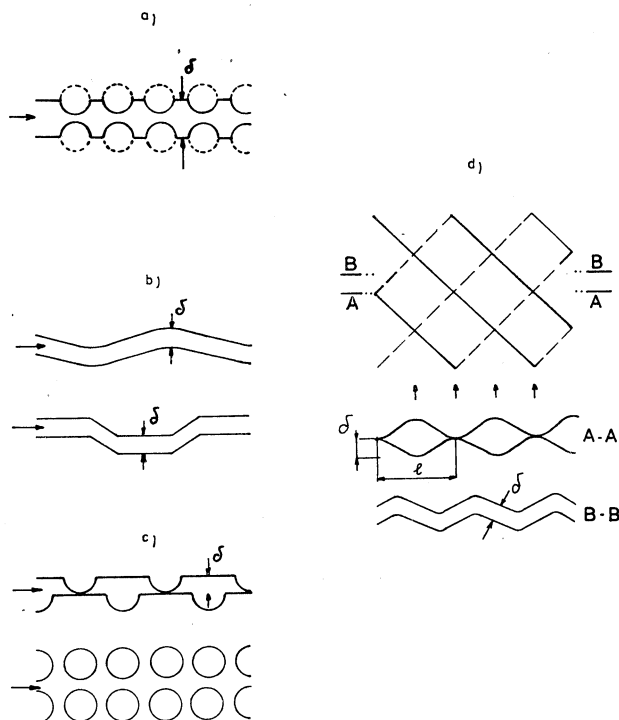
Teplosměnný povrch vyhovující alespoň jednomu z uvedených bodů se označuje jako intenzifikovaný (enhanced heat transfer surface).

Deskové výměníky (plate heat exchangers), sestavené z rozmanitě profilovaných desek o rozměrech až  $1,5 \times 4$  m jsou hlavním představitelem výměníků, u nichž se oboustranně dosahuje intenzifikace přestupu tepla podle způsobu b), neustálou změnou směru a průřezu průtokových cest podél desek při maximální výšce kanálků zpravidla pouze několik mm. Malá vzdálenost desek odpovídá prvnímu z výše uvedených požadavků na intenzifikaci. Na obr. 1 jsou znázorněny typické geometrické tvary kanálků v článcích současných deskových výměníků. Tyto výměníky mají široké využití nejen v chemickém a potravinářském průmyslu, ale i v jiných odvětvích včetně vzduchotechniky. Vedle výhod vyplývajících z intenzifikace přenosu tepla (konkrétně vysoké hodnoty součinitele prostupu tepla, vysoká termická účinnost při poměrně malém zastaveném prostoru) mají ve srovnání s trubkovými výměníky řadu dalších předností, zejména

- lepší vlastnosti s ohledem na zanášení,
- dobré podmínky pro čištění v důsledku zcela rozebíratelného provedení,

— možnost použití tenkých plechů z nejrůznějších materiálů, což umožňuje snadnější a hlavně levnější zvládnutí korozních problémů.<sup>1)</sup>

Deskové výměníky se stavějí ve větší míře pro ohřev nebo chlazení kapalin, a to pro průtoky až  $0,7 \text{ m}^3 \cdot \text{s}^{-1}$ , tlaky do 2 MPa a teploty do  $250^\circ\text{C}$  a dociluje se u nich hodnot součinitele prostupu tepla řádově  $10^3 \text{ W} \cdot \text{m}^{-2} \cdot \text{K}^{-1}$ . Hlavní nevýhodou



Obr. 1. Základní tvary průtokových cest v článcích deskových výměníků (a — desky s příčně válcovými prolisy; b — články s kanály s podélně vlnivým průtokem; c — desky s kulovitými prolisy (nebo krátkými prolisy jiného geometrického tvaru) způsobujícími změny průtočného průřezu v podélném i příčném směru; d — články s deskami se šikmo prolisovanými vlnami a sesazenými navzájem v protisměru).

deskových výměníků jsou poměrně značné nároky na výrobní technologii (přesné matrice, jejich materiál a tepelné zpracování, výkonné hydraulické lisy a utěsnění desek).

Kompaktním se označuje takový teplosměnný povrch, u něhož se dosahuje činitele kompaktnosti nebo objemové hustoty teplosměnné plochy  $a_s$  větší než  $700 \text{ m}^2 \cdot \text{m}^{-3}$  (compact heat transfer surface). Výměník, který má kompaktní teplosměnný povrch alespoň na straně jedné pracovní látky, se nazývá kompaktní výměník (compact heat exchanger). Vysoké hodnoty  $a_s$  vedou nutně k malým hy-

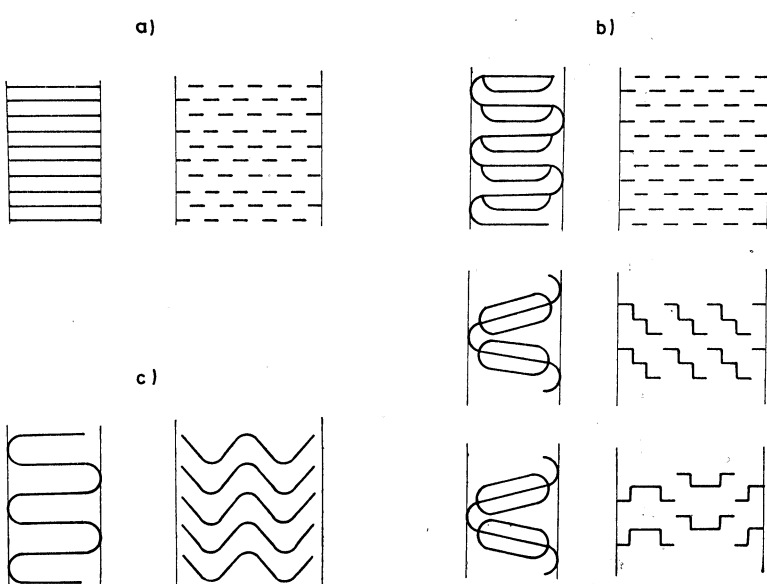
<sup>1)</sup> Např. u deskových výměníků z titanových plechů se v roce 1978 uváděla cena kolem 560 DM<sub>č.</sub> m<sup>-2</sup>.

draulickým průměrům a k aplikaci různých typů žebrování, takže každý kompaktní povrch je zároveň intenzifikovaným povrchem. Např. žebrované trubky v jemném provedení již jsou kompaktním povrchem, zatímco výše popisované deskové výměníky splňují pouze výjimečně podmínku kompaktnosti.

Hlavním představitelem kompaktních výměníků jsou deskožebrové výměníky (plate-fin heat exchangers). Nejčastěji používané žebrové plochy jsou tvořeny

- zvlněnými žebry (wavy fins),
- přesazenými rovnými žebry (offset strip fins),
- žaluziovými žebry (louvre fins).
- perforovanými žebry (perforated fins).

Konstrukční provedení jednotlivých typů žeber je patrné z obr. 2. Geometrické charakteristiky známých ploch jsou dosti rozmanité. Hustota žeber se pohybuje



Obr. 2. Nejčastější způsoby provedení žeber u deskožebrových výměníků (a — přesazena rovná žebra; b — některé tvary žaluziových žeber; c — zvlněná žebra).

v rozmezí 120 až 700 žeber na 1 m délky, tloušťka žeber bývá 0,05 až 0,25 mm a výška žeber se pohybuje od 2 do 20 mm.

Z výrobního hlediska jsou dosti náročná přesazena rovná žebra (obr. 2a), která se lisují zpravidla na přípravcích umožňujících vytlačení a prostřílení jen jedné vlny. Technologicky výhodnější se jeví žaluziová žebra; u nich se však nedosahují prostříly po celé výšce žebra a nemívají tak velkou stykovou plochu jako rovná žebra neboť jejich základ má tvář vlnovky s větším nebo menším úhlem otevření. U nás jsou ve výrobě zavedena pouze rovná přesazena žebra u vzduchových chladičů oleje (n. p. Vzduchotechnika, Dobšiná). Vývoj těchto výměníků zajistil k. p. Janka Radotín ve spolupráci s SVÚSS.

Intenzifikace přestupu tepla nastává u deskožebrových výměníků převážně rušením teplotní mezni vrstvy vytvářením opakovaných náběhů přerušením, pře-

sazením a vyhnutím žeber a jejich vhodným tvarováním, což vše napomáhá k zintenzivnění turbulence proudu. Zvýšení součinitele přestupu tepla je provázeno vztřístem tlakových ztrát; výsledné efekty z hlediska využití materiálu a zastaveného prostoru při stejných energetických náročích jsou mnohem příznivější než u výměníků s neintenzifikovanými plochami.

Zvlněnými žebery se dosahuje zvýšení součinitele přestupu tepla o ~ 25 % při  $Re \sim 1000$  a až 2krát při  $Re = 6000$  až 8000 v porovnání s hladkými přímými kanály stejného hydraulického průměru. Zde se příznivě uplatňují tzv. *Gerlerovy víry*, které vznikají při proudění tekutiny kolem konkávních vln a rotují proti směru proudění, přičemž vytvářejí stopu. U ploch s přesazenými žebery se přestup tepla zvyšuje 2 až 4krát oproti hladkým kanálům stejného hydraulického průměru a geometrického tvaru. Obdobné poměry jsou u žaluziových žeber. U ploch s perforovanými žebery se zlepšuje přestup tepla v laminární oblasti, jestliže plocha volného průřezu je větší než 20 % a perforace jsou mikroskopické (do 0,8 mm). Mikroskopické perforace pouze ovlivňují vznik přechodové oblasti. V turbulentní oblasti dostáváme obvykle vyšší hodnoty součinitele přestupu tepla než u neperforované plochy, bývá to však spojeno se vznikem vibrací a hluku, zejména jsou-li nedokonalé spoje se stěnami kanálu. Jako výhodnější se jeví otvory pravoúhlého průřezu než kruhového. Perforovaná žebra se např. uplatňují jako turbulizátory u chladičů oleje.

## 2. KRITERIÁLNÍ ZÁVISLOSTI PRO PŘESTUP TEPLA

### Deskové výměníky

Jednotlivá provedení profilů článků deskových výměníků se vyznačují specifickými závislostmi pro přestup tepla. Řada kriteriálních rovnic pro deskové články různých výrobců je shrnuta např. v [1]. Jejich analýza vede k závěru, že přestup tepla při proudění tekutin v kanálech podle obr. 1 lze přibližně charakterizovat vztahem

$$Nu = 0,1 Re^{0,7} Pr^{0,4}, \quad Re = 200 \text{ až } 30\,000, \quad (1)$$

který koreluje v [1] uvedené vztahy s chybou ±20 %. Hydraulický průměr se bere shodně jako u úzké štěrbiny (tj.  $d_h = 2\delta$ ) a podobně i rychlosť proudění se určuje pro kanál o výšce  $\delta$  a šířce rovné šířce průtočné části deskových článků. Referenční teplota pro termofyzikální vlastnosti je, stejně jako u všech dalších rovnic v této statii, střední teplota proudu.

K přehlednému posouzení intenzity přestupu tepla v deskových výměnících slouží diagramy na obr. 3, zpracované ve tvaru

$$j_\alpha = \frac{Nu}{Re Pr^{1/3}} = St Pr^{2/3} = \frac{\alpha}{w \rho c} Pr^{2/3} = f(Re).$$

Pásma (a) zobrazuje oblast, ve které leží většina publikovaných závislostí pro deskové výměníky s tím, že závislost

$$j_\alpha = 0,1 Re^{-0,3} Pr^{0,067}, \quad (2)$$

plynoucí z rovnice (1), udává střední hodnoty  $j_\alpha$ . Přímky (b) a (c) platí pro přestup tepla při laminárném průtoku tekutiny ( $Re < 2300$ ) v hladkém přímém kanálu s průřezem tvaru úzké štěrbiny. Znázorňují tyto obecné rovnice

$$j_\alpha = \frac{Nu_{\min}}{RePr^{1/3}}, \quad (b)$$

$$j_\alpha = A Re^{-2/3} \left( \frac{d_h}{L} \right)^{1/3}. \quad (c)$$

Závislost  $A = f(Nu_{\min})$  je pro různé tvary průřezu kanálu znázorněna na obr. 4; pro úzkou štěrbinu při  $Nu_{\min} = 7,6$  je  $A = 1,86$ . Vztah (b) platí u úzké štěrbiny pro

$$RePr \frac{d_h}{L} < 70;$$

pro vyšší hodnoty tohoto bezrozměrového komplexu se užije vztahu (c).

Pro přechodovou oblast mezi laminárním a turbulentním prouděním a pro vyuvinutý turbulentní průtok je na obr. 3 znázorněna závislost [2]

$$j_\alpha = B_1 \left( Re^{-n} - \frac{B_2}{Re} \right) Pr^{0,067} \left[ 1 + \left( \frac{d_h}{L} \right)^{2/3} \right], \quad (d)$$

kde  $B_1 = 0,0214$ ,  $B_2 = 100$  a  $n = 0,2$  pro  $Pr = 0,5$  až  $1,5$

$B_1 = 0,012$ ,  $B_2 = 280$  a  $n = 0,13$  pro  $Pr = 1,5$  až  $500$ .

V diagramech na obr. 3 je dále voleno  $\frac{d_h}{L} = 0,01$ .

Přechodová oblast je naznačena svislým šrafováním.

Horní křivka

$$j_\alpha = 0,3 Re^{-0,4}, \quad (e)$$

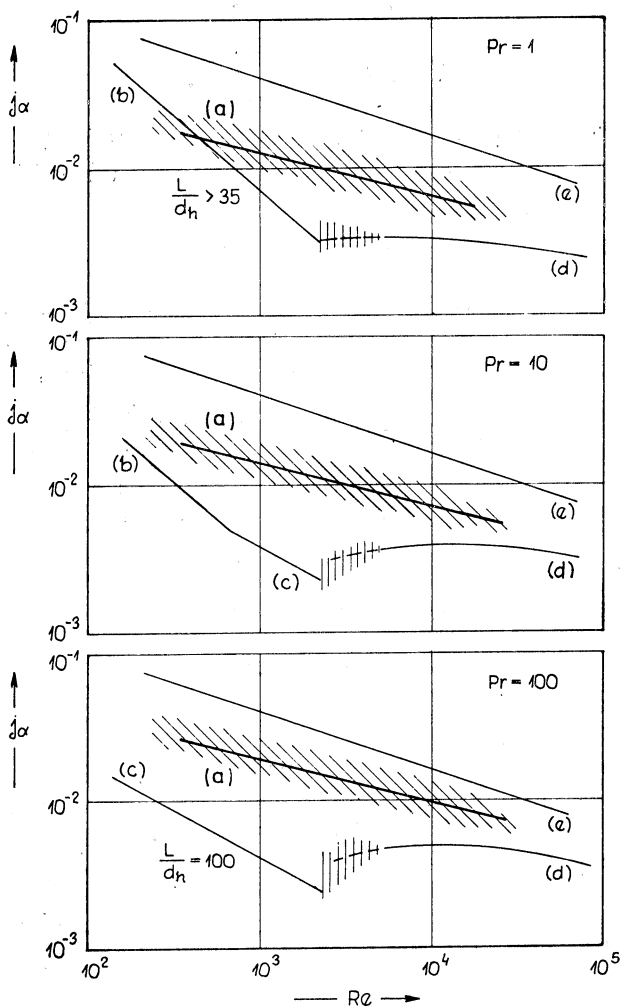
jejíž poloha v diagramech nezávisí na velikosti  $Pr$ , je odvozena z Gnielinského podkladů pro přestup tepla ve svazku trubek uspořádaných za sebou [2] pro poměrnou rozteč  $\sim 1,25$ , kdy charakteristický rozměr (v tomto případě polovina obvodu trubky) se jen nepatrně odchyluje od vzdálenosti  $\delta$  středů trubek. Tímto způsobem je approximován průtokový kanál podle obr. 1a.

Závislosti (b) až (e) přibližně vymezují oblast, ve které lze očekávat hodnoty  $j_\alpha$  u deskových výměníků s elementy podle obr. 1. Z porovnání polohy pásma (a) v jednotlivých diagramech je patrné, že vynucené zvětšení turbulence při průtoku tekutin v kanálech je z hlediska přenosu tepla efektivnější u tekutin s větší hodnotou  $Pr$  než např. u plynnů. Dále je zřejmé, že největší poměrný zisk ve srovnání s kanálem s průřezem ve tvaru štěrbiny dostáváme v rozmezí od  $Re = 1500$  do  $Re = 2500$ .

### Deskožebrové výměníky

K výpočtu součinitele přestupu tepla v krátkých přímých kanálech ( $d_h/L > 0,1$ ) při  $Re = \frac{\nu d_h}{\eta} < 10000$  lze použít vztahu (b) a (c), kde  $Nu_{\min}$  a  $A$  se určí podle tvaru průřezu pomocí obr. 4, rovnice (d) a Pohlhausenova vztahu pro laminárně obtékanou desku

$$j_\alpha = 0,664 Re^{-0,5} \left( \frac{d_h}{L} \right)^{0,5}. \quad (f)$$

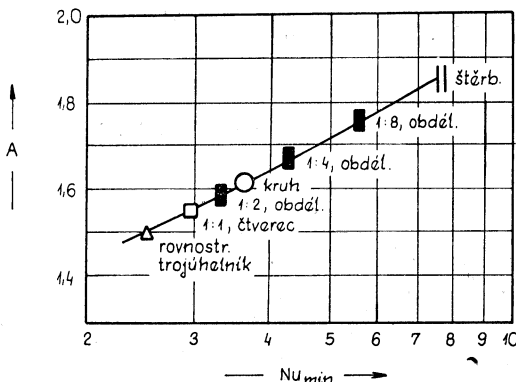


Obr. 3. Charakter přenosu tepla v deskových výměnících při různých hodnotách Prandtlova čísla.

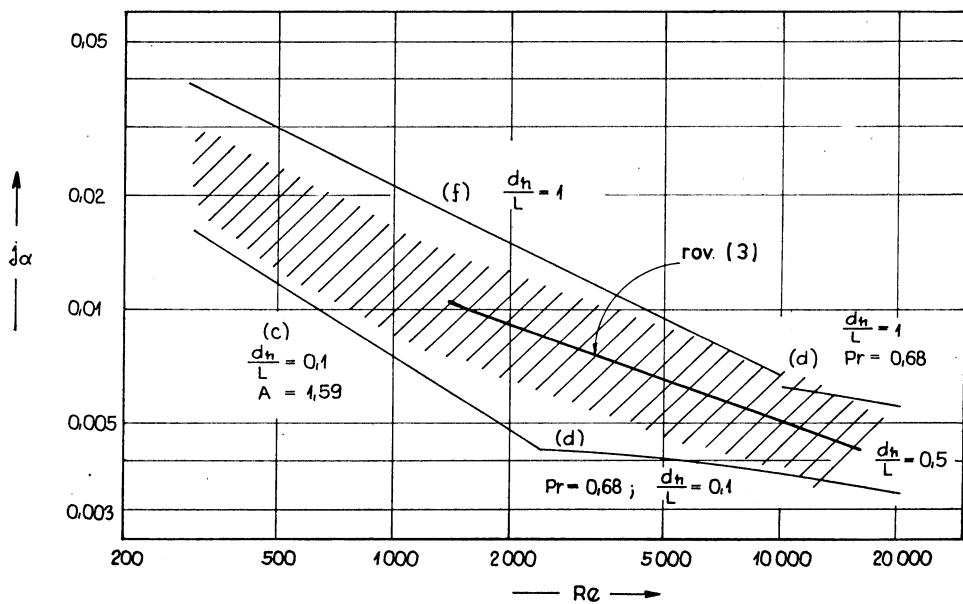
Pro dané  $Re$  se ke stanovení součinitele přestupu tepla použije největší hodnoty  $j_\alpha$  plynoucí ze vztažů (b), (c), (d) a (f).

Na obr. 5 znázorněné závislosti (c) a (d) pro  $\frac{d_h}{L} = 0,1$ , (d) a (f) pro  $\frac{d_h}{L} = 1$

vymezují oblast, ve které lze očekávat hodnoty  $j_\alpha$  u teploměnných povrchů vyrobených přesazenými rovnými žebry. Experimentální výzkum přestupu tepla u výměníků s tímto typem žebrování [3] a rozbor údajů publikovaných do první poloviny šedesátých let vedl k stanovení závislosti



Obr. 4. Závislost koeficientu  $A$  na  $Nu_{min}$  pro ustálený laminární průtok a na tvaru průtočného průřezu.



Obr. 5. Přestup tepla v deskožebrových výměnících s přesazenými rovnými žebry.

$$j_\alpha = 0,187 Re_L^{-0,365} = 0,187 Re^{-0,365} \left( \frac{d_h}{L} \right)^{0,365} \quad (3)$$

pro  $Re_L = \frac{wL}{\nu} = 3000$  až  $30\,000$  a  $\frac{d_h}{L} > 0,2$ . Na základě zpracování experimentálních dat pro 22 typů povrchů s přesazenými rovnými žebry doporučuje Wieting [4] následující závislosti

$$j_a = 0,483 Re^{-0,536} \left( \frac{d_h}{L} \right)^{0,162} \varkappa^{-0,184} \quad (4)$$

pro  $Re < 100$  a

$$j_a = 0,242 Re^{-0,368} \left( \frac{d_h}{L} \right)^{0,322} \left( \frac{b}{d_h} \right)^{0,089} \quad (5)$$

pro  $Re > 2000$ . Rozsah parametrů hodnocených povrchů činil:

$$d_h = 0,65 \text{ až } 3,4 \text{ mm}, \frac{d_h}{L} = 1,4 \text{ až } 0,18, \frac{b}{d_h} = 0,03 \text{ až } 0,166 \text{ (} b \text{ je tloušťka žeber)}$$

$\varkappa = 0,162 \text{ až } 1,196$  (poměr šířky a výšky kanálu).

Pásma hodnot  $j_a$  plynoucí z rovnic (4) a (5) pro výše uvedený rozsah parametrů je na obr. 5 znázorněno šrafováním. Odtud a též ze srovnání s rovnicí (5) je dobré patrné, že jednodušší závislost (3) vystihuje velmi uspokojivě poměry u přesazených rovnných žeber. Rozhodujícím momentem intenzifikace jsou malé délky žebra ve směru průtoku. Je nutné poznamenat, že otřepy na náběhových i odtokových hranačích žeber mohou výrazně ovlivňovat velikost součinitele přestupu tepla; jevy tohoto druhu nejsou v závislostech (3) až (5) respektovány.

Pro žaluziová žebra lze podle [3] aplikovat přibližnou závislost

$$j_a = 0,143 Re^{-0,317} \left( \frac{d_h}{L} \right)^{0,317} \quad (6)$$

se stejným oborem platnosti, jako je uvedeno u rovnice (3).

U zvlněných žeber lze v souhlase s [5] uvažovat

$$j_a = 0,19 Re^{-0,36}, \quad Re = 500 \text{ až } 10\,000. \quad (7)$$

Hodnoty  $j_a$  u zvlněných žeber, podobně jako  $j_a$  podle rovnice (6), spadají spíše do horní části šrafovaného pásmá na obr. 5.

Novější informace o přestupu tepla v deskožebrových výměnicích a též u žebrováných trubek spolu s rozsáhlým seznamem literárních pramenů podává přehledná práce [6].

## LITERATURA

- [1] Baranovskij, N. V.—Kovalenko, L. M.—Jastrebeneckij, A. R.: Plastinčatyje i spiralnyje teploobmenniki. Mašinostrojenije, Moskva 1973.
- [2] VDI Wärmeatlas. VDI-Verlag GmbH, Düsseldorf, 1977.
- [3] Styblo, S.: Kompaktní deskové výměníky. Zpráva SVÚSS 64-05012, 1964.
- [4] Wieting, A. R.: Empirical correlations for heat transfer and flow friction characteristics of rectangular offsetfin plate-fin heat exchangers. T. ASME, J. of Heat Transfer, Ser. C., 97, 1975, s. 488—490.
- [5] Kays, W. M.—London, A. L.: Compact Heat Exchangers. McGraw—Hill, N. Y., 1964.
- [6] Shah, R. K.—Webb, R. L.: Compact and Enhanced Heat Exchangers. Int. Seminar “Advancement in Heat Exchangers”, Session 4, Dubrovnik, 1981.

## PŘEHLED ZÁKLADNÍHO OZNAČENÍ

- $A$  — parametr rovnice [c],
- $b$  — tloušťka žeber, [m],
- $c$  — měrná tepelná kapacita tekutiny při stálém tlaku [ $J \cdot kg^{-1} \cdot K^{-1}$ ],
- $d_h$  — hydraulický průměr průtokového kanálu [m],

- $\alpha$  — Colburnův faktor pro přestup tepla,  
 $L$  — délka průtokového kanálu, délka žebra [m],  
 $Nu$  — Nusseltovo číslo,  
 $Pr$  — Prandtlovo číslo,  
 $Re$  — Reynoldsovo číslo,  
 $St$  — Stantonovo číslo,  
 $w$  — střední rychlosť průtoku tekutiny kanálem [ $m \cdot s^{-1}$ ],  
 $\alpha$  — součinitel přestupu tepla [ $W \cdot m^{-2} \cdot K^{-1}$ ],  
 $\delta$  — střední vzdálenost desek [m],  
 $\kappa$  — podíl šířky a výšky průtokového kanálu,  
 $\nu$  — kinematická viskozita ( $m^2 \cdot s^{-1}$ ),  
 $\bar{\rho}$  — hustota tekutiny [ $kg \cdot m^{-3}$ ].

## ТЕПЛООТДАЧА В ПЛАСТИНЧАТЫХ И ПЛАСТИНЧАТО-РЕБРИСТЫХ ТЕПЛООБМЕННИКАХ

*Й. Добиаш, В. Главачка, С. Стыбло*

Приводится краткий обзор характеристик пластинчатых и пластинчато-ребристых теплообменников, которые, как аппараты с интенсифицированными и компактными теплообменными поверхностями, находят широкое использование в многих промышленных процессах. Данные по теплоотдаче для разных горизонтальных каналов, поверхностей с шахматными ребрами и некоторых других ребристых поверхностей приведены в безразмерном виде и сравнены с граничными данными выведенными из ламинарного, переходного и турбулентного течений в прямом канале.

## HEAT TRANSFER IN PLATE AND PLATE-FIN HEAT EXCHANGERS

*J. Dobiáš, V. Hlaváčka, S. Stýblo*

The paper presents a short performance survey of plate and plate-fin heat exchangers which as exchangers with enhanced and compact heat transfer surfaces, are widely used in many industrial processes. The heat transfer data for various corrugated channels, offset strip fin surfaces, and several other fin configurations are presented in dimensionless form and compared with the limit values derived from laminar, transition, and turbulent duct flow.

## WÄRMEÜBERGANG IN DEN PLATTEN- UND PLATTEN-RIPPEN-WÄRMEAUSTAUSCHERN

*J. Dobiáš, V. Hlaváčka, S. Stýblo*

Eine kurze Übersicht wird über die Eigenschaften der Platten- und Platten-Rippen-Wärmeaustauscher, die als Austauscher mit den intensivierten und kompakten Wärmeaustauschflächen in vielen Industrieprozessen breite Anwendung finden, angegeben. Es werden die Wärmeübertragungsangaben von verschiedenen gewellten Kanalwänden, Oberflächen mit versetzten geraden Rippen und von einigen anderen Rippen-Platten-Oberflächen in dimensionsloser Form eingeführt und mit den von der Laminar-, Übergangs- und Turbulentströmung durch einen geraden Kanal abgeleiteten Grenzangaben verglichen.

## TRANSMISSION DE LA CHALEUR DANS LES ÉCHANGEURS À PLAQUES ET CEUX À PLAQUES-AILETTES

*J. Dobiáš, V. Hlaváčka, S. Stýblo*

Dans l'article présenté, on présente un aperçu bref des caractéristiques des échangeurs de chaleur à plaques et à plaques-ailettes qui trouvent l'application large dans plusieurs procédés industriels comme les échangeurs avec les surfaces de transmission de la chaleur intensives et compactes. Les données de la transmission de la chaleur auprès de différents canaux ondulés, des surfaces formées par les ailettes directes décalées et auprès de plusieurs autres types des ailettes sont présentées en forme non-dimensionnelle et elles sont comparées avec les valeurs limites déduites de l'écoulement laminaire, réduit et tourbillonnaire dans un canal direct.

## ● Osvětelní u sousedů

NDR bere na sebe zvolna novou tvář, a to blíže světovému vývoji: po žárovkách s 2500 hodinami života nastoupil vývoj cestu zintenzivnění úspor energie — základní přestavbou zdrojů.

NARVA — pod heslem „Programovaná efektivnost pomocí světla na míru“ (Lipško, 1983) zavádí výrobu miniaturních zářivek (dříve označovaných „tužkové“) s příkony 8 a 13 W — zářivka 18 W, vyvinutá jako první pro záměnu s 20 W, je obdobou zářivky TESLA. Tyto malé zářivky — uvažované jako náhrada žárovek do 40 W příkonu — mají  $\varnothing$  16 mm a délku 288 a 517 mm. Jsou určeny především pro bytové účely, i když široké použití není vyloučeno (zatím se v NDR zaměřují na sporeni elektrické energie v bytech). Výrobce si správně uvědomil, že podobně jako i u jiných technických novinek vedlo chybné protlačování ne zcela vhodných nových zdrojů — zářivek — v bytech k dodnes přezívajícímu odporu, vlastně již hluboko zakoreněnému.

Aby k takové situaci nemohlo dojít, předcházel vývoji (nebo současně s ním se uskutečňoval) rozsáhlý výzkum oblasti možného použití nových zdrojů. Ten ukázal, že zářivky jsou pro plné využití v obytných pásmech bytových prostorů dobře použitelné, dokonce vhodnější. Tak vývoj v NDR odpovídá vývoji ve světě. Předností je, že pamatoval souběžně i na svítidla: na Kunsthochschule v Berlíně u doc. Pallokse byly posluchači vyvinuty 4 typy atraktivních svítidel (z toho 3 pro 8 W

zářivku): A. Kuhrt navrhl stolní svítidlovou stavebnici, B. Glier stolní ramenové svítidlo, C. Geyer obdobné, ale materiálově velmi úsporné svítidlo a M. Sohn kompaktní svítidlo zvlášt malých rozměrů.

Na trhu budou tedy i svítidla. Budou asi vkusná, moderní (protože je navrhli mladí návrháři-designéři), cenově přijatelná (protože je bude hromadně vyrábět socialistický sektor) a přitom energeticky úsporná. V nich vstoupí do bytových prostorů zářivka a je pravděpodobné (jak vývoj v jiných zemích naznačil), že zůstane, zůstanou-li zachovány podmínky jejího soužití s člověkem v místě velmi choulostivém — v byte: velikost, světlý výkon a barva světla (stálost světla, dlouhý život a snadná údržba je doprovázejí) + svítidla.

(LCh)

## ● Pokles odbytu vytápění a větrání v Rakousku

Pokles stavební konjunktury postihl současně v Rakousku i obory vytápění a větrání. Začal asi v r. 1980 a pokračuje až dodnes. Je pravdou, že obory vytápění a větrání sice zatím stále ještě zaznamenávají přírůstek obratu, avšak oproti průměru 6 % v sedmdesátých letech činí současné roční přírůstky jen okolo 0,2 %. Stěžovat si nemusí jen výrobci tepelných čerpadel díky tomu, že hotely a restaurace je instalují k ohřevu užitkové vody.

CCI 3/83

(Ku)

## ● Nové typy kotlů

Na západních trzích se objevily nové typy kotlů, většinou plynových, u nichž se spalinu natolik zchlazují, že kondenzují. A protože tyto kotle využijí i latentní teplo paliva, dosahují špičkových účinností.

Zatím ovšem není ještě úspěšně vyřešena likvidace kondenzátu, která je tím obtížnější, čím vyšší obsah SO<sub>2</sub> je ve spalinách. Vzhledem k tomu, že v důsledku kondenzace spalin je únik SO<sub>2</sub> do ovzduší snížen asi na polovinu, očekává se, že se brzy najde řešení co a jak s kondenzátem.

Jak vypadá roční zatižení o vzduší emisem SO<sub>2</sub> v NSR ukazuje tabulka:

elektrárny	2 mil. t	56%
průmysl	0,99 mil. t	28%
domácnosti a malo-spotřebitelé	0,45 mil. t	13%
doprava	0,1 mil. t	2%

CCI 4/83

(Ku)

# POMĚROVÉ MĚŘENÍ ODBĚRU TEPLÉ UŽITKOVÉ VODY V SOUSTAVĚ CENTRÁLNÍHO ZÁSOBOVÁNÍ TEPLEM

Ing. JOSEF PATOČKA, CSc. a Ing. ZDENĚK VITAMVÁS, CSc.  
VŠST, Liberec

Autori jsou vynálezci poměrového měřidla odběru tepla VIPA. V tomto článku upozorňují na výhodnost aplikace jeho principu na měření odběru teplé užitkové vody, uvádějí srovnání přesnosti měření s měřením průtokoměrem a informují o výsledech experimentálních sledování teplotních poměrů na povrchu přívodní trubky.

Recenzoval: Vladimír Fridrich, dipl. techn.

Podstatou poměrového měření tepla je registrace a vyhodnocování snadno měřitelné stavové veličiny, jejíž průměrná absolutní hodnota je ukazatelem využití instalovaného topného výkonu a slouží jako parametr pro rozpočítávání nákladů.

Stejně náročným problémem, jako je měření tepla potřebného k vytápění, je měření tepla spotřebovaného na přípravu TUV, resp. určení podílu, který by měl uhradit uživatel jednotlivého bytu. V minulosti byly odzkoušeny měříče tepla, jejichž teoretickou podstatou je kalorimetrická rovnice

$$Q = \int \dot{V} \cdot \Delta T \cdot \varrho \cdot c \cdot d\tau, \quad (1)$$

kde  $\dot{V}$  [ $m^3 s^{-1}$ ] objemový průtok teplonosného média,  
 $\Delta T$  [K] rozdíl teplot mezi dodávkou TUV a vodou přiváděnou,  
 $c$  [ $J kg^{-1} K^{-1}$ ] měrná tepelná kapacita ohřívané vody,  
 $\tau$  [s] doba trvání dodávky TUV,  
 $Q$  [J] teplo dodávané prostřednictvím TUV,  
 $\varrho$  [ $kg m^{-3}$ ] hustota.

Pro měření odběru TUV v jednotlivých bytech však byly tyto měříče příliš nákladné a získané úspory neodpovídaly vynaloženým prostředkům. Zlevnění se dosáhne měřením vodoměry na teplou vodu, ovšem bez respektování proměnné hodnoty  $\Delta T$ , jejíž průměrná hodnota má být zajištěna smluvně. Vodoměr určuje v kalorimetrické rovnici pouze součin členů  $\int \dot{V} \cdot d\tau$ .

Další členy jsou považovány za konstantní, takže lze psát

$$Q = \Delta T \cdot \varrho \cdot c \cdot \int \dot{V} d\tau \quad (2)$$

Jiné zjednodušení lze přijmout u poměrového měření tepla předpokladem, že intenzita průtoku vody odběrovým ventilem (průměrný objemový průtok) [ $m^3 s^{-1}$ ] je hodnota, která se pro jednotlivé byty za delší období málo liší. Z hlediska matematického je libovolnou konstantou, jejíž chybu lze statisticky zjistit. Lze tedy psát, že

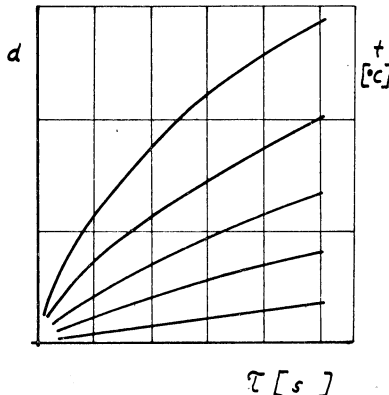
$$Q = \dot{V} \cdot \varrho \cdot c \int \Delta T \cdot d\tau \quad (3)$$

O tom, která z uvedených rovnic je pro konstrukci přístroje, přesnost měření a systém rozpočítávání nákladů na TUV výhodnější, nelze jednoznačně rozhodnout bez podrobnější analýzy problémů, které z toho vyplývají. Pro řešení hodnoty integrálu  $\Delta T \cdot d\tau$  se nabízí vnější integrační poměrové měřidlo VIPA, založené na de-

excitaci volných elektronů ze záchytných center. Uvedená deexcitace probíhá (uvažujeme-li nejjednodušší fyzikální model) podle vztahu

$$p = S \exp (-\Delta E/kT), \quad (4)$$

kde  $S$  je frekvenční faktor daného čidla,  
 $\Delta E$  je energetická hloubka záchytného centra,  
 $k$  je Boltzmannova konstanta,  
 $T$  je absolutní teplota látky.



Obr. 1. Změna optické hustoty čidla v závislosti na čase a teplotě.

Graficky je závislost (4) uvedena na obr. 1, kde  $\tau$  je doba trvání děje,  $t$  je teplota čidla a  $d$  je vyjádření změny optické hustoty čidla, což je údaj charakterizující dříve uvedenou deexcitaci. Hodnota  $d$  se snadno měří na denzitometru podle vztahu

$$d = D_0 - D, \quad (5)$$

kde  $D_0$  je počáteční hodnota denzity čidla,  
 $D$  je konečná hodnota denzity čidla při odečtu.

Výpočet úhrady za ohřev TUV se provádí pomocí vztahu

$$P_{i\text{TUV}} = P_{e\text{TUV}} \left( 0,7 \frac{d_i}{C} + 0,3 \right), \quad (6)$$

kde  $P_{i\text{TUV}}$  [Kčs] úhrada jednotlivým nájemníkům na jeden odběrový ventil TUV,  
 $P_{e\text{TUV}}$  [Kčs] celkové náklady na ohřev teplé vody pro měřený celek (sídliště, skupinu domů, jednotlivý dům),  
 $d_i$  vyjádření změny denzity čidla měřením pomocí denzitometru  $d_i = D_0 - D$ ,  
 $C$  součet hodnoty  $d_i$  všech čidel měřeného celku  $C = d_1 + d_2 + d_3 + \dots + D_n$ ,  
 $M$  počet všech odběrových ventilů měřeného celku (odpovídá počtu měřidel TUV).

Úhrada za odběr teplé užitkové vody jednotlivých nájemníků bude pak součtem úhrady za jednotlivé odběrové ventily TUV:

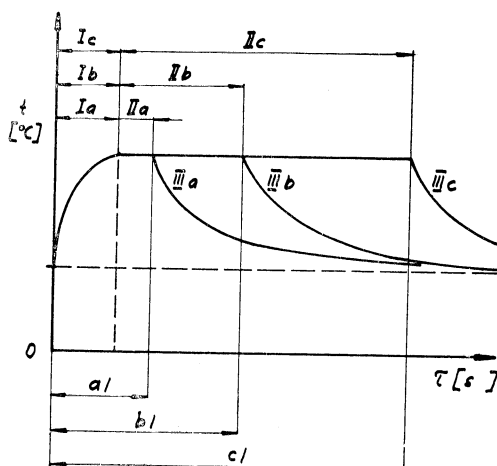
$$P_{\text{TUV}} = P_{1\text{TUV}} + P_{2\text{TUV}} + \dots + P_{i\text{TUV}} \quad (7)$$

Z uvedeného vyplývá, že doba trvání zvýšení teploty přívodní trubky TUV je rozhodujícím parametrem pro poměrové rozdělení úhrady za TUV. Proto byla na

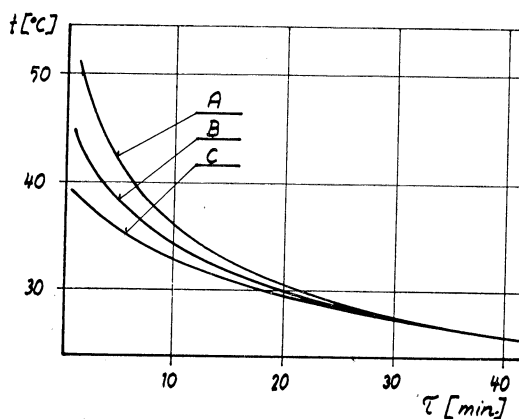
katedře energetických zařízení Vysoké školy strojní a textilní v Liberci realizována v rámci fakultního úkolu „Racionalizace spotřeby energie“ řada kontrolních měření teplotních poměrů na povrchu přívodní trubky za různých podmínek. Průběh teploty trubky lze rozdělit do tří fází (obr. 2):

I. Ohřev trubky — probíhá od okamžiku otevření ventilu poměrně rychle ve vztahu k době průtoku. Tato fáze je při poměrovém měření zanedbatelná ve vztahu k účinku na čidlo měřidla.

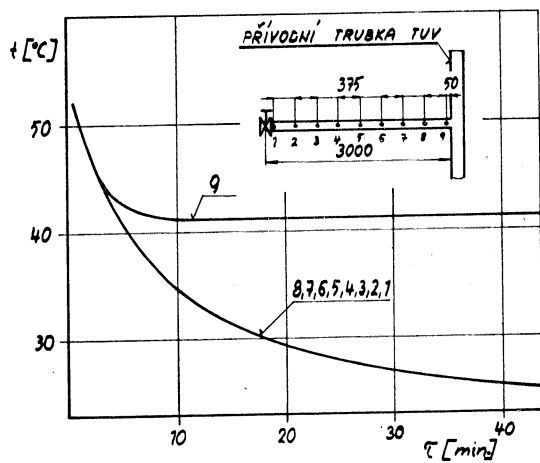
II. Po prohřátí trubky se teplota ustálí a dochází k ustálenému prostupu tepla. Doba ustáleného prostupu tepla je pro měření rozhodující a ve svém souhrnu je vedle výše teploty TUV určujícím parametrem pro čidlo měřidla. Čím delší je odběr TUV, tím je zároveň delší tepelné působení.



Obr. 2. Změna teploty povrchu přívodní trubky TUV.

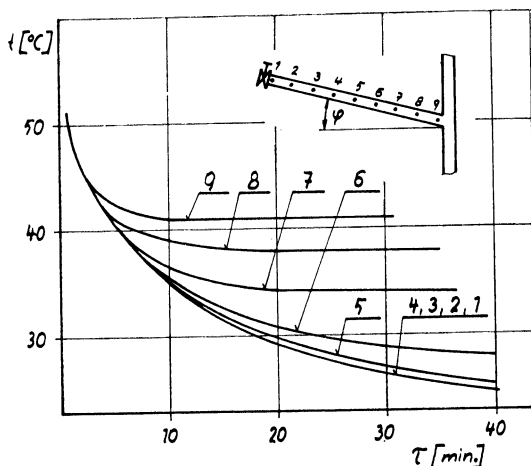


Obr. 3. Změna teploty povrchu přívodní trubky po uzavření odběrového ventilu.



Obr. 4. Změna teploty povrchu přívodní trubky v závislosti na geometrii a vzdálenosti od přívodního potrubí.

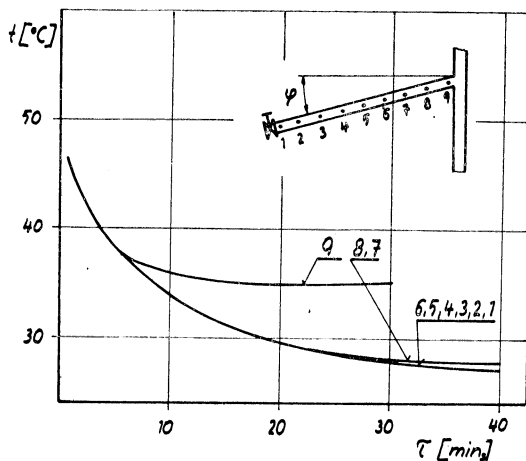
$$\varphi = 0^\circ$$



Obr. 5. Změna teploty povrchu přívodní trubky v závislosti na geometrii a vzdálenosti od přívodního potrubí.

$$\varphi = +15^\circ$$

III. Ochlazování trubky — nastává po ukončení odběru a probíhá teoreticky nekonečně dlouho. Po delší době je však rozdíl teplot trubky a prostředí zanedbatelný. Rozboru této fáze byla věnována značná pozornost. Na obr. 3 je průběh teploty povrchu přívodní trubky po skončení odběru v závislosti na výši teploty TUV. Na obr. 4, 5, 6 je průběh ochlazování v závislosti na geometrii přívodní trubky TUV mezi stoupacím potrubím a odběrovým ventilem. Nejméně příznivý je pří-



Obr. 6. Změna teploty povrchu přívodní trubky v závislosti na geometrii a vzdálenosti od přívodního potrubí.

$$\varphi = -15^\circ$$

pad, kdy odbočka ze svislého přívodního potrubí je vychýlena v určitém kladném úhlu  $\varphi$  od vodorovné polohy. S rostoucím úhlem  $\varphi$  se zvyšuje intenzita zatékání TUV do přívodní trubky při uzavřeném odběrovém ventilu. Při vodorovné orientaci prakticky nedochází k zatékání do přívodní trubky, pouze v bodě 9 je trvale zvýšena teplota povrchu vlivem vedení tepla. Navrhovaná vzdálenost umístění poměrového měřidla (minimálně 0,25 m od svislé přívodní trubky) je v převážné většině bytových jader nové výstavby snadno realizovatelná.

Pro posouzení vhodnosti popsaného systému pro poměrové měření odběru TUV je nutno analyzovat návrh z hlediska:

- a) ekonomického,
- b) technické proveditelnosti,
- c) přesnosti měření.

ad a) Ekonomické hodnocení je nutno provést s ohledem na zaváděný systém měření odběru TUV pomocí průtokoměrů. Vzhledem k nutnosti vstupu do hydraulického systému TUV v každém bytě jak při nové instalaci vodoměrů, tak při jejich cejchování opakovaně po dvou letech, lze předpokládat, že cena za tyto úkony bude vyšší, než úhrada za popisovaný poměrový měřič VIPA, včetně jeho instalace. Navíc lze osazení poměrovými měřiči odběru TUV provést současně s instalací poměrových měřidel tepla na topná tělesa.

Vzhledem k tomu, že autorům nejsou k dispozici údaje o ekonomickém zhodnocení záměru měřit TUV pomocí průtokoměru, nelze provést kontrolní porovnání. Proto je uveden pouze ekonomický předpoklad realizace měření odběru TUV pomocí poměrových měřidel VIPA.

Předpokládané náklady na poměrové měření tepla v jednom bytě:

Poměrový měřič tepla VIPA	6,— Kčs
Podíl ceny denzitometru pro odečet optické hustoty	0,25 Kčs

Mzdové náklady	1,80 Kčs
Ostatní náklady	0,55 Kčs
	8,60 Kčs

Předpokládaná úspora 15 % energie při průměrné spotřebě na byt za rok 2 MWh představuje úsporu 0,3 MWh, čemuž odpovídá 0,037 tmp.

Při osazení  $2,4 \cdot 10^6$  bytů s centrálně připravovanou teplou užitkovou vodou by náklady činily  $20,64 \cdot 10^6$  Kčs a úspory při ceně paliva 1 230 Kčs/tmp ukazatel souhrnné efektivnosti při realizaci poměrového měření odběru TUV je

$$e = \frac{U_s}{I_s} = \frac{109,22}{20,64} = 5,29$$

ad b) Výrobní družstvo Nisatex Jablonec n. N. má pro případné realizátory připraveny potřebné technické podklady jak pro montáž, tak pro vyhodnocení a rozúčtování nákladů za odběr TUV. Aplikace poměrového měřidla VIPA, které vyrábí družstvo Nisatex Jablonec n. N., na poměrové měření TUV je jednoduchá, rychlá a levná bez nároků na vstup do hydraulického systému rozvodů TUV. Měřidlo příslušné velikosti se umisťuje na přívodní trubku teplé užitkové vody mezi stoupací potrubí a odběrový ventil. Při montáži je nutno umístit měřidlo ve vzdálenosti větší než 0,25 m od stoupacího potrubí, aby výsledek měření nebyl zatížen chybou vzniklou vedením tepla mezi stoupacím potrubím a měřidlem.

ad c) Vhodným kritériem pro posouzení přesnosti je relativní chyba měřené veličiny. Při zjišťování dodávky tepla však není možné přímo dodávané množství měřit, ale vyhodnocuje se pomocí rovnice (1), zjednodušeně pomocí rovnice (2) nebo (3). V obou posledních rovnicích je integrace realizována měřidlem, takže rovnice je v obou případech možno přepsat na tvar

$$Q = \dot{V} \cdot \rho \cdot c \cdot \Delta T \cdot \tau \quad (8)$$

a ve vztahu k proměnným veličinám a dvěma možným způsobům použití měřidel na tvar při použití průtokoměru

$$Q = k_1 \int \dot{V} \cdot \rho \, d\tau = k_1 \cdot m \quad (9)$$

a na tvar při použití poměrového měřidla VIPA.

$$Q = k_2 \int \Delta T \cdot d\tau = k_2 x \quad (10)$$

V rovnicích značí  $k_1 = \Delta T \cdot c$ ,

$$k_2 = \dot{V} \cdot \rho \cdot c,$$

$m [m^3]$  = celkově proteklý objem vody,

$x = \int \Delta T \cdot d\tau$  údaj, který umožní poměrové rozdelení nákladů za odběr TUV.

Relativní chyba měření a výpočtu odebraného tepla bude

$$\delta_1 = \frac{\Delta Q}{Q} = \sqrt{\left( \frac{\partial Q}{\partial m} \cdot \kappa_m \right)^2 + \left( \frac{\partial Q}{\partial \Delta T} \cdot \kappa_T \right)^2} \cdot \frac{1}{Q} \quad (11)$$

Při realizaci měření pomocí průtokoměru bez měření přírůstku teploty je možno vycházet z chyby průtokoměru  $\kappa_m = \pm 5 \% = 0,00001 \text{ m}^3 \text{ s}^{-1}$  při průtoku  $m = 0,0002 \text{ m}^3 \text{ s}^{-1}$  a chyby neměřeného oteplení vody  $\kappa_T = \pm 50 \% = \pm 20^\circ \text{C}$  při  $\Delta T = 40^\circ \text{C}$

$$\delta_1 = \frac{\sqrt{(\Delta T \cdot \kappa_m)^2 + (m \cdot \kappa_T)^2}}{m \cdot \Delta T} = \frac{\sqrt{40^2 \cdot 10^{-10} + 4 \cdot 10^{-8} \cdot 400}}{2 \cdot 10^{-4} \cdot 40} = \\ = \frac{\sqrt{1616 \cdot 10^{-8}}}{80 - 10^{-4}} = 50,2 \%$$

Při realizaci měření pomocí poměrového měřidla tepla je možno vycházet z chyby  $\kappa_x = \pm 5\% = 10,95 \cdot 10^{-5}$

při hodnotě součinu

$$x = \Delta T \cdot \tau = 40 \cdot 547500 = 219 \cdot 10^5$$

a chybou

$$\kappa_m = \pm 20\% = 0,00004 \text{ m}^3 \text{ s}^{-1}$$

při hodnotě průtoku  $m = 0,0002 \text{ m}^3 \text{ s}^{-1}$ , definované jako rozdíl průměrných průtoků mezi jednotlivými byty za celé měřené období

$$\delta_2 = \frac{\sqrt{(x \cdot \kappa_m)^2 + (m \cdot \kappa_x)^2}}{x \cdot m} = \frac{\sqrt{4,796 \cdot 10^4 \cdot 16 + 4 \cdot 112 \cdot 10^2}}{4380} = \\ = \frac{\sqrt{8122 \cdot 10^2}}{4380} = 20,5 \%$$

Z porovnání relativních chyb  $\delta_1$  a  $\delta_2$  vyplynává, že poměrové měření odběru teplé užitkové vody je přesnější. Spolu s výhodami uvedenými v předchozích bodech je dán předpoklad pro racionálnější využívání energie nejen poměrovým měřením dodávky tepla, ale i poměrovým měřením TUV.

## ПРОПОРЦИОНАЛЬНОЕ ИЗМЕРЕНИЕ ОТБОРА ТЕПЛОЙ ПРОИЗВОДСТВЕННОЙ ВОДЫ В СИСТЕМЕ ЦЕНТРАЛЬНОГО ТЕПЛОСНАБЖЕНИЯ

*Инж. Йозеф Патошка, к. т. н.*

*Инж. Зденек Витамвас, к. т. н.*

Авторы изобретателями пропорционального измерительного прибора отбора тепла ВИПА. В этой статье обращают внимание на выгодное применение его принципа к измерению отбора теплой производственной воды, приводят сравнение точности измерения с измерением при помощи расходомера и информируют о результатах экспериментальных исследований тепловых условий на поверхности подводной трубы.

## PROPORTIONAL MEASUREMENT OF SUPPLY HOT WATER OFF-TAKE IN A CENTRAL HEAT SUPPLY SYSTEM

*Ing. Josef Patočka, CSc.*

*Ing. Zdeněk Vitamvás, CSc.*

The authors are the inventors of a proportional heat off-take gauge VIPA. Advantage of application of its principle for supply hot water off-take measurement is discussed in the article, comparison of accuracy of the measurement with measurement with a flow meter is presented there and the authors inform about results of an experimental research of temperature conditions on surface of the supply pipe.

## **VERHÄLSTNISMESUNG DER GEBRAUCHSWARMWASSERENTNAHME IN EINEM ZENTRALWÄRMEVERSORGUNGSSYSTEM**

*Ing. Josef Patočka, CSc.*

*Ing. Zdeněk Vitamvás, CSc.*

Die Autoren sind die Erfinder des Verhältnismessgerätes der Wärmeentnahme VIPA. In diesem Artikel machen sie aufmerksam auf die Vorteilhaftigkeit der Applikation seines Prinzips bei einer Messung der Gebrauchswarmwasserentnahme, sie führen die Vergleichung der Präzisionsmessung mit der Messung mit Hilfe eines Durchflussmessers an und sie bieten die Ergebnisse von den Experimentalbeobachtungen der Wärmeverhältnisse auf der Oberfläche eines Zuflussrohrs.

## **MESURE DE RAPPORT DE LA PRISE D'EAU CHAUDE UTILE DANS UN SYSTÈME DE LA FOURNITURE DE CHALEUR CENTRALE**

*Ing. Josef Patočka, CSc.*

*Ing. Zdeněk Vitamvás, CSc.*

Les auteurs sont les inventeurs de l'appareil de mesure du rapport de la prise de chaleur VIPA. Dans cet article, ils appellent l'attention sur l'avantage de l'application de son principe à une mesure de la prise d'eau chaude utile, ils font savoir la comparaison de la précision de mesure avec la mesure à l'aide d'un débitmètre et ils présentent les résultats des observations expérimentales des rapports de chaleur sur la surface d'un tube d'arrivée.

### **● Teplo 3/83**

*Valášek J.:* Využití jaderné energie k centralizovanému zásobování teplem (zpracováno podle sovětských pramenů).

*Hušková Z.:* Bilanční gesce pro tepelnou energii (náplní této činnosti má být zejména sledování dodávky a měrné spotřeby tepla s cílem dosáhnout co nejvyšší úspory).

*Rozehnal V.:* Zvýšení náročnosti na kvalitu informací a na jejich využití pro řízení soustav CZT (přispěvek se opírá o odborná doporučení ze semináře ČSVTS společnosti energetické a zdůrazňuje význam výpočetní techniky pro získání a využití informací z provozu soustav CZT).

*Štambachr J.:* Ocenění elektřiny a tepla v nákladech kombinované výroby na základě energie (tato metoda ocení energii spotřebovanou na výrobu elektřiny a tepla podle její užitné hodnoty, odvozené z tlaku a teploty spotřebované páry a umožní diferencovat náklady na výrobu tepla v teplárnách a výtopnách).

(B8)

### **● Teplo 4/83**

*Kubín M.:* Využití integrace elektrizační a teplárenské soustavy jako zdroje regulačního výkonu v elektrizační soustavě (týká se zejména využití tepláren pro krytí proměnné části zatížení soustavy, hodnotí se v této souvislosti i výstavba elektráren, spalujících deficitní druhy paliv).

*Kremla J.:* Koncepční výhled využití jaderných zdrojů dodávky tepla v ČSSR (týká se jaderných elektráren a jaderných výtopen; hodnotí se možnosti ekonomické dodávky tepla v horké vodě do vzdálenosti 60 km, u páry 25 km a uvádí se problém její dodávky tam, kde v dohledné době nelze přebudovat SCZT na soustavy horkovodně).

*Brož K.:* Přečerpávání tepla z městských odpadních vod (je uvedeno technické řešení realizovaného případu vytápění 132 bytů otopnou soustavou s teplovodním spádem 70/50 °C ve Švédsku).

(B8)

# PŘÍPRAVA TEPLÉ UŽITKOVÉ VODY V PRAŽSKÝCH SÍDLIŠTÍCH (1. ČÁST)

Ing. KAREL BROŽ, CSc.,  
ČVUT — fakulta strojní, Praha

Ing. KAREL KADAVÝ  
PPÚ, Praha

Článek podává přehled o zdrojích pitné vody pro Prahu, dále o vývoji spotřeby vody se zaměřením na teplou vodu užitkovou. Jsou uvedeny výsledky měření spotřeby v Praze z posledních období a jsou porovnány s ČSN a dalšími způsoby výpočtu.

Recenzoval: Vladimír Fridrich, dipl. techn.

## 1 Zdroje vody pro Prahu

### 1.1 Pražský vodovod

Až do roku 1972 měla Praha dva hlavní zdroje vody. Úpravnu vod v Podolí a podzemní vodu s umělou infiltrací v Káraném. Po roce 1972 byl dán do provozu další rozhodující zdroj pitné vody — úpravna na Želivce. Tyto tři rozhodující zásobárny vody tvoří zdroj pro naše hlavní město. Dále jsou informativně uvedeny hlavní principy a parametry těchto tří základních zdrojů.

### 1.2 Úpravna vody v Podolí

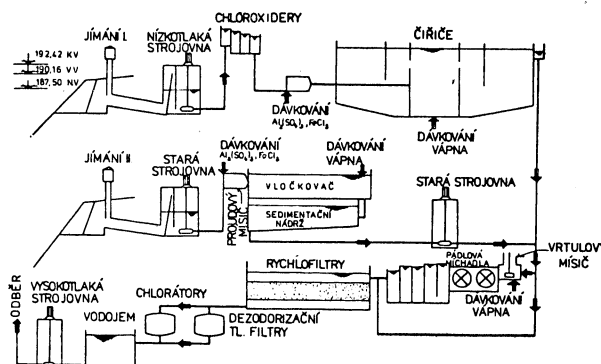
Surová voda se chemicky předčistuje v číři (obr. 1). Čířicí nádrže jsou nádoby ze železového betonu o půdorysné ploše  $16 \times 16$  m (šest jednotek) a  $20 \times 20$  m (tři jednotky). Čířice jsou hluboké 6 m a ve spodní části kónické. Na nich se voda zbavuje všech koloidních nečistot, takže zbývající se stačí zachytit na

otevřených pískových filtrech. Každý z větších čířicích má výkon 333 l/s a menší po 250 l/s.

Voda se dočistuje na otevřených pískových rychlofiltrech. 36 filtrů je ve staré úpravni a čtyři v nové budově. Celková plocha filtrů činí  $3\ 150\ m^2$  a filtrační rychlosť je  $3,6\ m$  za hodinu. Celkový výkon úpravny je  $2\ 200\ l/s$  čisté vody.

Hlavním srážedlem je tekutý chlorid železitý, který se přiváží do úpravny a skladuje v kapalném stavu o koncentraci 36 až 38 % v podzemních nádržích zvaných chloridojemy. Vnitřní stěny železobetonových nádrží jsou opatřeny speciální izolací proti velmi žírovému účinku chloridu železitého. Veškeré potrubí a stroje, které přijdou do styku s touto chemikalií, jsou vyrobeny z odolných materiálů, jako nerezavějící ocel, titan, PVC apod. Občasně se dávkuje síran hlinitý, dovolil-li to některé podmínky, například když je teplejší surová voda.

Do vody, která se už vypouští z čířicích na



Obr. 1. Schéma technologie úpravy vody v Podolí.

pískové filtry, se přidává vápenné mléko, aby nebyla kyselá a nerozrušovala beton a kovové potrubí.

Jeli surová voda mimořádně znečistěna, např. za velkých vod, použtí se z pískových filtrů navíc přes uzavřené filtry naplněné aktivním uhlím, aby se odstranily zápachy.

Když se ve vltavské vodě vyskytnou stopy fenolů, přidává se velmi účinný oxysličující prostředek — kysličník chloričitý, dávkovaný do čisté vody, aby odstranil fenoly a zabránil vzniku zápuče po chlорfenolu. Kysličník chloričitý se vyrábí podle potřeby v úpravně vlastním zařízením. Na konci technologického procesu v úpravně zdravotní předpisy vyžadují dávky chlóru, který ničí zbylé mikroorganismy.

Všechna projektovaná a postavená zařízení se velmi osvědčila, zvláště čířičo, takže bylo možno jejich výkon později dokonce zvětšit, a to přidáváním pomocného srážedla — polyakrylamidu. To umožnilo zvětšit vzestupnou rychlosť vody v čířičích z 1 mm/s na 1,2 mm/s a tím celkový výkon zvýšit z 2 200 l/s na 2 600 l/s.

Dobrý upravovací účinek celkového zařízení ukazuje srovnání rozborů surové vltavské vody a upravené vody. Kvalita upravené vody se vícekrát denně zkouší. Voda čerpaná do městské vodovodní sítě vyhovuje požadavkům na pitnou vodu (tab. I).

Tab. I

	Surová voda	Upravená voda
Teploota ve stupních Celsius	0,5—18,0	1—17
pH	7,00	7,00
Barva mg Pt/dm <sup>3</sup>	40,00	7,00
Zákal mg SiO <sub>2</sub> /dm <sup>3</sup>	20,00	4,00
Alkalita mval/dm <sup>3</sup>	0,97	0,80
Chloridy mg/dm <sup>3</sup>	16,00	40,00
Dusičnany mg/dm <sup>3</sup>	9,00	8,00
Mangan mg/dm <sup>3</sup>	stopy	stopy
Železo mg/dm <sup>3</sup>	0,70	0,20
Hliník	—	0,20
Tvrdoost celková v německých stupních	5,20	7,20
Oksysličitelnost O <sub>2</sub> dm <sup>3</sup>	12,00	2,50

### 1.3 Umělá infiltrace v Káraném

Z Jizerý se odebírá průměrně 1 500 l/s. Voda se upravuje na otevřených pískových rychlofiltrech a 1 200 l/s putuje dále k umělé infiltraci. Uvedený průtok lze na přechodnou dobu zvyšovat, protože v některých obdobích, například za okálů v Jizeré po deštích, se provoz filtrační stanice dočasně přeruší. Předpokládalo se, že z množství surové vody dodaného k umělé infiltraci se podaří jímat průtok o 30 % menší. Přefiltrovaná voda se pře-

čerpává do 15 vsakovacích nádrží o celkové délce 4 660 m včetně čtyř pokusných nádrží v délce 400 m. Šířka nádrží kolísá od 10 do 25 m podle hloubky podloží. Voda se do jednotlivých nádrží rozděluje podle stupně ucpání dna nádrží. Zvětšená výška vody k vsáknutí prozrazuje ucpání dna. Hladina vody v každé nádrži se průběžně sleduje.

Jímací zařízení je 200 m od vsakovacích nádrží. Voda z nádrží teče podzemní do jímacích studní, čož trvá přibližně 30 dní. Podél nádrží je 157 vrtaných jímacích studní. Průměr vrta činí 130 cm, průměr pažnice 35 cm. Kromě toho má jímací zařízení 16 studní o průměru 4 m s horizontálními jímacími drény. Ty vyházejí z pláště studně paprskovitě vodorovně v podzemí do délky 40 až 60 m. Celková délka horizontálních drénů všech těchto studní se blíží k 2 000 m. Z jímacích studní teče voda

Tab. II

	Průměrné hodnoty	
	v Jizeré	v umělé infiltraci
Teplota ve stupních Celsius	0,5—21	9—11
pH	7,20	7,20
Barva mg Pt/l	24,00	2,00
Zákal mg SO <sub>4</sub> /l	15,00	1,00
Alkalita mval/l	2,00	3,10
Chloridy mg/l	16,00	20,00
Dusičnany mg/l	8,00	13,00
Mangan mg/l	0,10	stopy
Železo mg/l	0,50	0,10
Tvrdoost celková v německých stupních	7,70	11,50
Oksysličitelnost O <sub>2</sub> /l	4,00	1,00

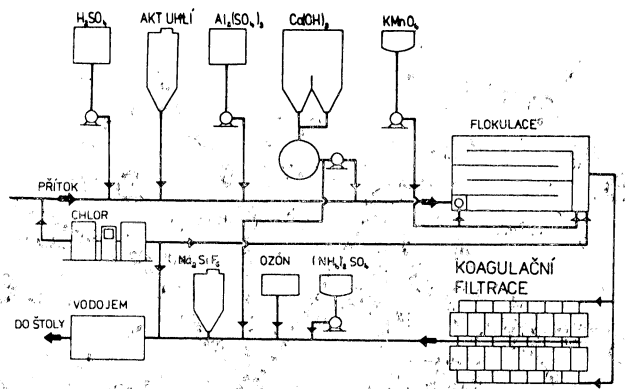
násoskami do sběrných studní a odtud přečerpáním do dvou gravitačních svodných řadů průměru 1 000 a 1 200 mm, které zaústují do sacích jímek hlavní čerpací stanice.

Účinek umělé infiltrace na kvalitu je patrný z porovnání rozborů vody v Jizeré a vody jímané po umělé infiltraci (tab. II).

### 1.4 Vodovod ze Želivky

Želivka je přehrazena sypanou písčitou hrází s těsnícím jádrem. Přeliv a odběr je umístěn v jediném funkčním objektu, který umožní odběr vody z pěti etáží. Kvalita vody v nádrži se sleduje průběžně ve všech etážích. Pro úpravu se odebírá voda z té hloubky, v níž je nejvhodnější. Někdy z vyšších vtokových otvorů, jindy nižších, podle požadavků úpravy.

Projektanti navrhli koagulační filtrace s možností dostavby prvního stupně úpravy — čiření (obr. 2). Hlavním srážedlem tu je síran



Obr. 2. Úpravna vody na Želivce — schéma technologie úpravy vody.

hlinitý. Voda je obohacována o fluor a hygienu zabezpečována ozonizací a chloraminací. Před vypuštěním vody do štoly želivského přivaděče na cestu do Prahy se upravuje pH dávkou vápenné vody. Čerpací stanice je rozšířena na celkový výkon 6 600 l/s.

Štolový přivaděč je dílenzován na konečnou kapacitu 6 000 l/s. Je kruhového tvaru, zbudovaný ze železobetonu. Jen přechody přes Štěpánovský potok, Blanici a Sázavu jsou navíc vyztuženy ocelovým pancéřem tloušťky 10 mm. Celková délka je téměř 51 km. Poslední úsek v délce 600 m je z ocelového potrubí o průměru 1 600 mm, kterým zaúsťuje do vodojemu v Jesenici. V některých úsecích štoly byly porušené horniny chemicky ztuženy a některé úseky štoly jsou vyztuženy ocelovým potrubím.

Průtok štoly je řízen čtyřmi rozstřikovacími ventily ve všech komorách vodojemů Jesenice.

### 1.5 Současný stav

Celkový dnešní objem vodojemů v Praze je 262 000 m<sup>3</sup> (obr. 3). Další vodojemy o celkovém objemu přibližně 160 000 m<sup>3</sup> jsou buď výstavbě nebo projekčně připraveny a čekají na zahájení stavby. Do roku 1985 bude třeba připravit návrhy na další vodojemy o obsahu přibližně 200 000 m<sup>3</sup>. Avšak dalších 95 000 m<sup>3</sup> objemu není možno v zastavěné části města umístit. Po roce 1985 bude mít Praha vodojemy o celkovém obsahu kolem 630 000 m<sup>3</sup> a kromě toho jesenický vodojem o obsahu 200 000 m<sup>3</sup>, který je ovšem pět kilometrů před městem. Bude však velmi důležitý pro rozdělování vody, protože z něho bude možno vypomoci s vodou téměř po celé Praze.

### 1.6 Plánované stavby po roce 1985

Podle směrného územního plánu nastane po roce 1985 snížení počtu obyvatel na území města Prahy z 1,25 milionu na 1,15 milionu v r. 2000 (obr. 4). Část obyvatel přesídlí do nových sídelních celků mimo území Prahy, například do Poberouní, Úvalská, Říčanská, Polabí. Přesto se však nedá očekávat snížení potřeby vody, protože měrná potřeba dosáhne

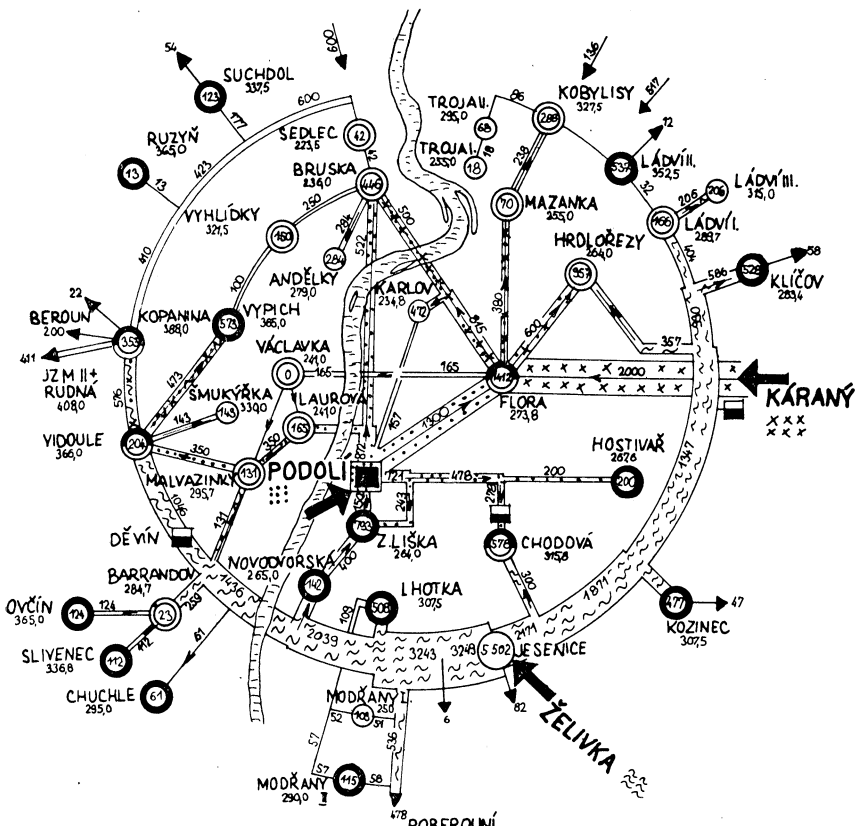
kolem roku 2000 přibližně 700 l/os. den a potroste dále i po roce 2000. Podle přibližných propočtů se dá očekávat, že denní potřeba vzroste v letech od 1985 až 2000 až 2015 vždy o 40 000 až 80 000 m<sup>3</sup>/den každým rokem. Toto množství představuje přibližně 0,50 až 1,00 m<sup>3</sup>/s. (obr. 5).

Po roce 1985 mohou vzniknout potíže v zásobování. V této době bude třeba dát do provozu nový centrální zdroj, který bude sloužit už nejen Praze, ale okolní aglomeraci. Situace v zásobování vodou bude velmi napjatá, obzvláště bude-li výstavba aglomerací celků intenzivně postupovat a nebude včas připraven další zdroj. Zásobení ze Želivky nebude možno rozšířit, protože kapacita tohoto zdroje je omezena vyrovnavacím účinkem nádrže na Želivce.

Už podle studie ke směrnému územnímu plánu nebylo možno umístit potřebné objemy vodojemů v Praze ve výši téměř 100 000 m<sup>3</sup>. Do roku 2000 vzroste tento nedostatek na 300 000 m<sup>3</sup> a do roku 2015 až 2020 vzroste na 500 000 m<sup>3</sup>. Bude nutno uvážit vhodné rozšíření dalších nových vodojemů. V některých případech bude třeba uvažovat i o patrových vodojemech, především tam, kde je už dnes nedostatek stavební plochy a výstavba vodojemu se ukáže nutnou a kde to dovolí geologické poměry.

### 1.7 Výhledové zdroje

Ze zkušeností z velkých vodovodních soustav je známo, že potřeba vody roste ročně průměrně o 1 až 3 %, někdy i více. Růst potřeby zahrnuje dva základní činitele. Jeden z nich je růst měrné potřeby vody, tj. denní potřeby připadající na jednoho obyvatele, druhý činitel je růst počtu zásobených osob. V Praze se projevil roční přírůstek potřeby vody za poslední léta ve výši 100 až 300 l/s. Ve světě je mnoho měst, která mají větší spotřebu vody než Praha, proto se jeví předpokládaná měrná potřeba vody k roku 2000 ve výši 700 l/os. den ze zela reálná. Také počet zásobovaných obyvatel k roku 2000 v počtu kolem 1,6 až 1,8 milionu, jak jej předpokládá



LEGENDA

- [square] ÚPRAVNA VODY
- [black square] ČERPACÍ STANICE
- [circle] VODOJEM MAX POTŘEBA  
V l/s
- [circle] VODOJEM S PŘECERPACÍ ST.  
PRŮTOK V l/s  
SMĚR TOKU
- [circle] VODOJEM S ČERPÁNÍM DO SÍTĚ
- [circle] VODOJEM S PŘECERPACÍ ST.  
A ČERPANÍM DO SÍTĚ
- ODBĚR DO STŘEDOČES.  
OBLASTI

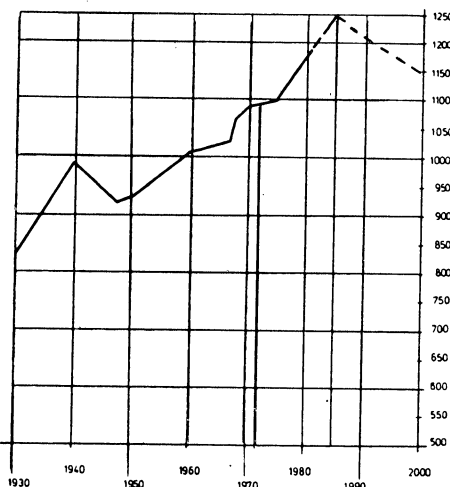
Obr. 3. Schéma rozvodného systému v Praze po r. 1975.

rajonový plán pražské aglomerace, už dnes na území žije. Je jen otázkou času, kdy budou obce a nová aglomeracní města připojena na centrální vodní zdroje. Dnešní zdroje (obr. 6), jejichž výkon je po uvedení první etapy vodovodu ze Želivky do provozu v průměru 7 100 l/s a v maximu 7 600 l/s, nebudou stačit. Druhá etapa vodovodu ze Želivky zvýší sice výkon pražských zdrojů v průměru na 9 100 l/s a v maximu na 10 600 l/s, avšak ani to nebude stačit, protože potřeba k roku 2000 se pro celou aglomeraci odhaduje v průměru na 13 000 až 14 500 l/s a v maximu na 16 000 až 18 000 l/s.

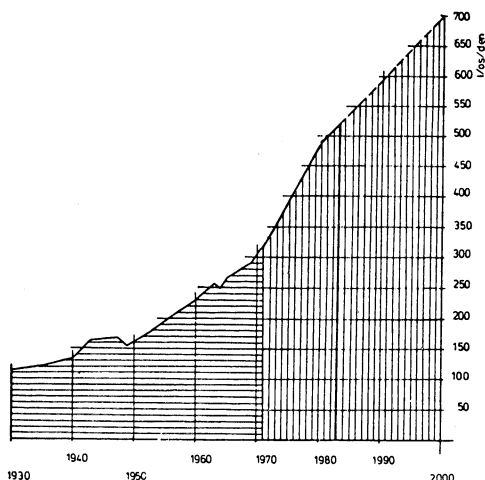
Bude tedy třeba postavit a uvést do provozu před rokem 2000 další velké zdroje vody o výkonu přibližně 6 000 až 8 000 l/s, tedy větší zdroje vody, než představuje Želivka. Předpokládalo se, že po výstavbě vodovodu ze Želivky bude možno zrušit úpravnou vody v Podolí jako zdroj pitné vody. Avšak očekávaná budoucí potřeba vody (obr. 7) to nedovolí. Bude třeba doplňovat technologický proces v úpravně v Podolí podle posledních znalostí, aby byla schopna dodávat dobrou pitnou vodu.

Dnes jsou zpracovány první studie, které objasňují možné další zdroje. Vltava se v nich

opět ukazuje jako možný zdroj. Její průtok, vyrovnaný vltavskou kaskádou na minimální průtok  $50 \text{ m}^3/\text{s}$ , se bude stále vracet do úvah i přes znečistění způsobené 1,6 miliony obyvatel v povodí. Bez povodí Berounky a Sázavy se počet obyvatel v povodí změní na 0,7 milionu,



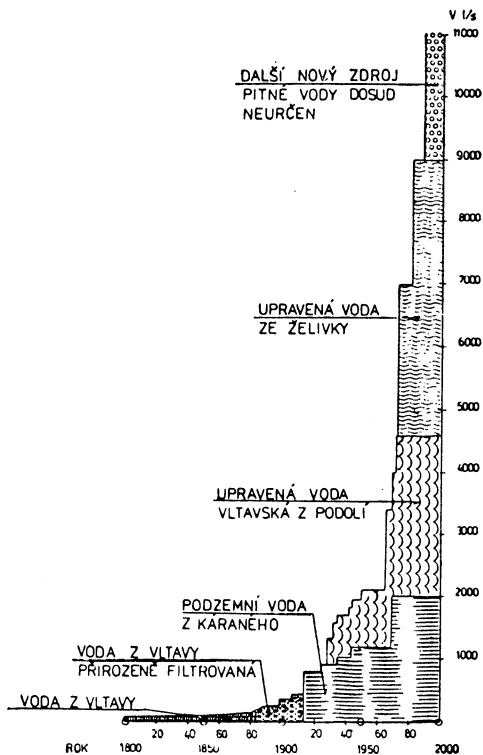
Obr. 4. Vývoj počtu obyvatel v Praze.



Obr. 5. Růst měrné potřeby vody v Praze v letech 1930—2000.

ale i tak zůstávají v povodí velké průmyslové závody. Míra znečistění Vltavy stále odsuzuje při výběru zdrojů až na druhé místo. Teprve možné zlepšení vody ve Vltavě, dané výstavbou čistíren u hlavních zdrojů znečistění a další rozvoj technologie úpravy vody by mohly změnit toto pořadí.

Po stránce hygienické a úpravárenské se jeví dnes podstatně výhodnější Jizera. Uskutečně-



Obr. 6. Nárůst zdrojů vody pro Prahu v letech 1800—2000.

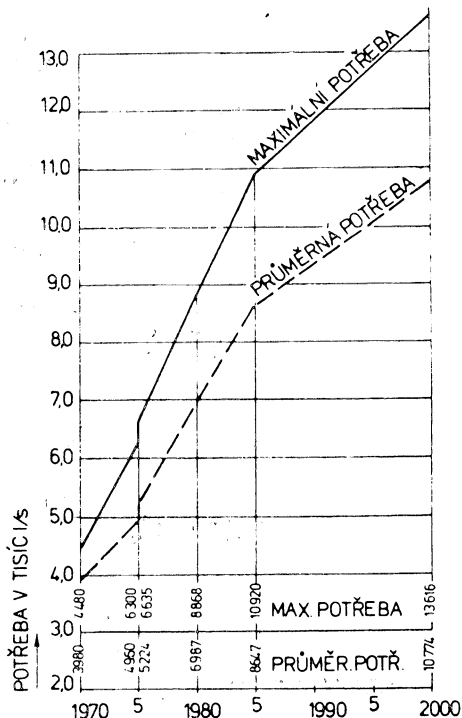
ním asanacích opatření v souvislosti s postavením umělé infiltrace v Káraném se zlepšila voda v Jizerě natolik, že dosahuje čistoty třídy I.b až II. třídy, kterou měla v roce 1910. Jizera má průměrný průtok  $24 \text{ m}^3/\text{s}$ , takže po vyrovnaní průtoku údolními nádržemi na horním toku by se mohlo odebírat dalších 5 000 až 10 000 l/s vedle množství, které se už odebírá pro umělou infiltraci. Než se tedy rozhodne o výstavbě, bude třeba vypracovat další studie, které by připravily podklady pro rozhodnutí o výstavbě nádrží na Jizerě a o novém vodovodu pro Prahu a okolí.

## 2. Teplá užitková voda

### 2.1 Úvod

Teplé sítě z tepláren nebo výtopen se v současné době navrhují tak, aby sloužily nejen pro dodávku tepla k vytápění obytných prostorů, ale i pro přípravu teplé užitkové vody (TUV). Užitková voda se při tom ohřívá v ohřívačích s akumulačním prostorem (boilerech) nebo v průtokových ohřívačích bez akumulačního prostoru.

V současné době, kdy se palivoenergetická situace stává jedním z limitujících faktorů životní úrovně naší společnosti, je třeba se stále důsledněji zabývat racionálním využitím



Obr. 7. Růst potřeby vody v letech 1970 až 2000.

paliv a energií a neopominout jedinou možnost k úsporám.

Zcela jednoznačně však není řešení v oblasti přípravy TUV. Až doposud se příprava TUV v terciální sféře prováděla zpravidla centrálním akumulačním ohřevem. Na základě současných znalostí, ziskaných výzkumně-vývojovými pra-

ceami, ekonomickými rozvahami a měřením se jednoznačně dospělo k názoru o nutnosti ustoupit od této koncepce, kromě zcela specifických případů, vyloženě jednorázového odběru TUV z důvodu velkých tepelných ztrát a neodstranění (pouze posunutí) špiček v náročích na tepelnou energii.

Z současného pohledu jsou rozpracovány dvě koncepce na přípravu TUV

- v centralizovaných systémech rychloohřevem s recirkulací včetně pasivního akumulačního zásobníku a měřením dodávky tepla u jednotlivých spotřebitelů,
- individuální v plynových popř. elektrických ohřívávačích.

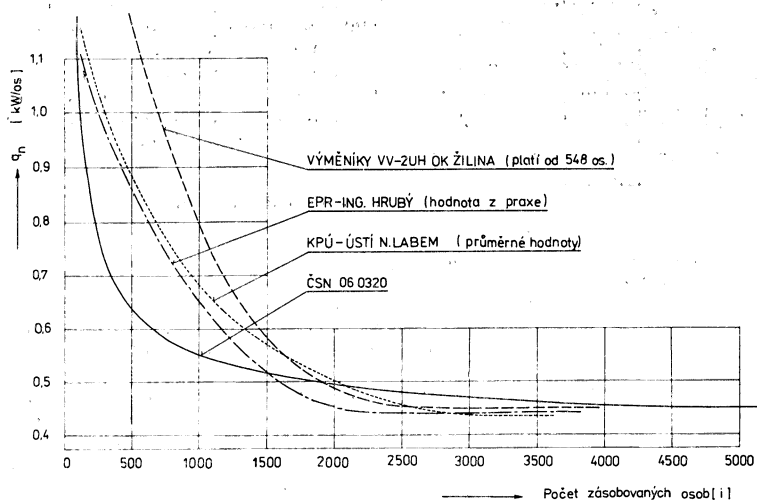
## 2.2 Spotřeba TUV

Odběr TUV je nepravidelný a soustředuje se na několik kratších časových úseků během dne. Kolísá i průměrná denní spotřeba během týdne. Spotřeba v bytech závisí nejen na velikosti bytu a počtu osob, ale i na jejich životní úrovni, věku, namontování měřiče spotřeby TUV, povolání obyvatel, ročním období a jiných okolnostech.

Okamžitý ohřev TUV vyžaduje tepelný příkon, který je několikanásobkem příkonu potřebného pro vytápění. Naproti tomu celková spotřeba tepla za rok pro ohřev TUV je okolo 20 % spotřeby tepla pro vytápění. To je způsobeno tím, že odběr TUV je krátkodobý a poměrně zřídka se vyskytující.

### 2.2.1 Obecný průběh spotřeby TUV

S přihlédnutím k provedeným měřením (ORGREZ Brno 1969) viz [4] a spotřeby TUV na sídlišti Novodvorská 106 a odběr TUV v lokalitě C 2 sídliště Petrovice (Jižní Město) lze konstatovat, že v nově postavených sídlištích se v posledních letech stává dnem špičkové spotřeby TUV sobota a nedělní dopoledne.



Obr. 8. Směrný tepelný příkon pro přípravu TUV — srovnání jednotlivých údajů.

Spotřeba TUV během týdne přibližně odpovídá dosud platné ČSN 06 0320 z r. 1956, a to je 75 l/den, osobu při vodě +60 °C teplé, což odpovídá denní spotřebě tepla 4,38 kWh/os. den. V sobotu a v neděli je spotřeba o 25—40 % vyšší, tedy asi 5,23—6,05 kWh/os. den.

Obozec lze říci, že letní spotřeba je asi o 10 % nižší (odliv obyvatel z měst v době dovolených). V letním období je možno uvažovat (tab. III) asi 4 kWh/os. den (všední dny) a v sobotu a v neděli asi 4,78—5,02 kWh/os. den. Celoroční odběr tepla na ohřev TUV dosahuje asi 1,900 MWh/rok os.

Tab. III. Informativní hodnoty spotřeby tepla v TUV  $n_e$  [kWh/os. den]

Období	Všední dny	Sobota a neděle
zimní	4,38	5,23 až 6,05
letní	4,00	4,78 až 5,02

Průměrná výpočtová spotřeba tepla na přípravu TUV = 5 (kWh/os. den).

Minimální hodnota odběru TUV bývá kolem 14—15. hodiny v neděli. Lze odhadnout, že během 54 hodin ( pátek 14 h.—neděle 20 h.) se odebere asi stejně množství TUV jako celý zbytek týdne, tj. zbyvajících 114 provozních hodin. V hodinách s max. odběrem TUV je dosahováno až 250 % nominálního hodinového výpočtového množství tepla pro ohřev TUV.

*Casové úseky, které se při denním odběru TUV přiblížně opakují v pravidelném 24hodinovém cyklu:*

a) *Noční doba 23,00—5,00*

Odebere se asi 5—10 % celkového denního množství. Odběr TUV zcela neustává.

b) *Ranní doba 5,00—11,00*

Výrazné zvýšení nastává po 5. hodině a vrcholí mezi 7. a 8. hodinou ranní. V sobotu a v neděli při zpoždění špičky o 1—2 hodiny se dosáhne hodnot 2—3násobných. Všední dny 20 % denní spotřeby, sobota a neděle až 35 % denní spotřeby.

c) *Interval odpoledne 11,00—17,00*

Odběr má téměř rovnoramenný charakter. Odebere se 20—25 % denní spotřeby, v sobotu až 30 % denní spotřeby.

d) *Večerní interval 17,00—23,00*

Večerní špička začíná v 17 hodin. Vrchol bývá okolo 18. hodiny s trváním asi 2 hodiny, kdy okamžitý odběr dosahuje 20 až 25 % denního množství, tj.  $q_n = 0,33$  až 0,58 kW/os.

Ve všední dny se odebere od 17—23 hodiny 40—50 % denní spotřeby TUV, v sobotu a v neděli asi 25—30 %.

## 2.2.2 Určování spotřeby tepla pro ohřev TUV

a) Pro určování spotřeby tepla platí dosud ČSN 06 0320 z 1. 4. 1956. Pro dnešní podmínky zcela nevyhovuje. Solidní podklady dává jen pro zařízení z dnešního hlediska malá či střední. Horní mez velikosti zařízení je počet bytů 200. Pro současná zařízení 500—1 000—1 500 bytů napojených na jediné zařízení nejsou v normě podklady.

Dalším hlavním nedostatkem je překonaný termín „n-pokojového bytu“, z něhož byly všechny výpočty ČSN 06 0320 (z r. 1956) odvozeny. V návrhu nové normy se přešlo ke zcela jiné, přesnější jednotce — počet osob, které v napojené zástavbě plánovitě bydlí a obývají příslušnou kategorii bytové jednotky. To je výchozí podklad, který je známý již od prvních urbanistických úvah.

ČSN 06 0320 z r. 1956 stanovila spotřebu TUV podle počtu pokojů (tab. IV).

Tab. IV

Počet pokojů	$Q_d$ [kJ/d]	$Q_d$ [kWh/d]
1 pokojový	52 000	14,44
2 pokojový	63 000	17,50
3 a vícepokojový	73 000	20,50
gars. s vanou	31 500	87,50
gars. se sprchou	21 000	5,82

b) *Nominální spotřeba TUV*

Při centralizované přípravě TUV (bez měření v bytech) podle (5) je spotřeba TUV 240—260 l/den byt (tj. 10—11 l/h), což odpovídá při  $t_s = 10^\circ\text{C}$  a  $t_t = 60^\circ\text{C}$  asi 55 000 kJ/den byt (tj. 15 kWh/den byt, tj. 5 kWh/os. den).

c) *Spotřeba tepla pro ohřev TUV podle [4]*

Nominální (výpočtovou) spotřebu tepla pro ohřev TUV stanovíme:

$$Q_{\text{NOM}}^{\text{TUV}} = \frac{75}{\tau} \frac{\sum n_i \cdot P_i}{n} \cdot n^{0,75} \cdot \varphi \cdot \psi \cdot c_p \cdot \Delta t_{\text{TUV}}$$

v rovnici značí:

$Q_{\text{NOM}}^{\text{TUV}}$  = hodinový (nominální) tepelný příkon pro ohřev TUV v objektech bytového charakteru [W]

$\tau$  = dobu ohřevu TUV (stupeň akumulace) volíme 0,8 až 3,0 podle charakteru ohřevu a počtu bytů [h]

$P_i$  = počet osob, bydlících v příslušné bytové kategorii podle ČSN 73 4301 [os.]

$n_i$  = počet bytů stejné bytové kategorie napojených na společné zařízení na ohřev TUV [—]

$n$  = celkový počet bytů, napojených na (VS) zařízení TUV [—]

- $\frac{\sum n_i \cdot P_i}{n}$  = průměrná hustota obyvatel na  
1 byt. jednotku [obyv./b. j.]  
 $\psi$  = součinitel pohotovosti zdroje  
tepla [ $\text{--}$ ]  
 $\varphi$  = součinitel životní úrovně oby-  
vatel [ $\text{--}$ ]  
 $\varphi = 1,15$  pro místa nad  $0,5 \cdot 10^6$   
obyvatel,  
 $\varphi = 1,05$  pro místa  $10^5 - 0,5 \cdot 10^6$  obyvatel,  
 $\varphi = 1,00$  pro místa  $10^4 - 10^5$  obyvatel,  
 $\varphi = 0,90$  pro místa  $5 \cdot 10^3 - 10^4$  obyvatel,  
 $\varphi = 0,85$  pro místa do  $5 \cdot 10^3$  obyvatel.

$\Delta t_{\text{TUV}}$  = rozdíl teplot studené vody  
a ohřáté na výstupní teplotu ze  
zařízení.

#### Poznámka:

Pro obvyklé poměry po dosazení konstant se rovnice zjednoduší pro  $n \geq 50$  na výraz:

$$Q_{\text{NOM}} = 1256 \cdot \frac{\sum n_i \cdot P_i}{n} \cdot n^{0,75} \cdot \varphi \cdot \psi$$

$n^{0,75}$ , = matematické vyjádření vlivu nesoučasnosti odběru TUV u větších zařízení

#### d) Spotřeba tepla pro ohřev TUV

Podle [6] je nutno zabezpečit u soustav se zásobníky (boilery), aby bylo možno během jedné hodiny se alespoň  $1 \times$  využít ve vanové lázně.

Potřebný příkon: množství pro 1 koupací vanu —  $160 - 170$  l, ohřátí vody z 10 na  $40^{\circ}\text{C}$ , výtok  $0,25$  l/s.

Příkon na okamžitý ohřev je:

$$Q = m \cdot c \cdot \Delta t = 0,25 \cdot 4,2 \cdot 10^3 \cdot (40 - 10) = 31,5 \text{ kW}$$

Spotřeba tepla je  $5,8 \text{ kWh}$ .

Při stoupajícím počtu bytů na jistý úsek se musí projevit časové rozložení odběru užitkové vody. Pro soubor 1 000 bytů (6) činila sobotní (nedělní) špička během letního provozu  $1,16 \text{ kW}$ . Součinitel současnosti pro 1 000 bytových jednotek je tedy  $\beta_{1000} = 0,2$ .

U soustav s průtokovými ohříváky TUV platí, že pro 1 byt je nutno uvažovat mini-

Tab. V. Porovnání boilerů rychloohříváků podle [6] měření HEW (Hamburger Elektrizitätswerke)

	Zásobníky $Q$ [kW/byt]	Rychloohřev $Q$ [kW/byt]
1 byt	5,8	33,5
1 000 bytů	1,16	1,16
$\beta_{1000}$	0,2 %	0,0345 %

mální ohřev  $12 \text{ l/min.}$ , čemuž odpovídá tepelný příkon  $33,5 \text{ kW}$ .

Při určování hodinové spotřeby tepla na ohřev TUV v bytech se podle [6] vychází z počtu van na koupání nebo počtu sprch. Zvyšující se spotřeba TUV na kuchyňské účely, kuchyňský dřez apod. se zanedbává. Rozlišuje se způsob přípravy TUV (zásobníky nebo průtoková soustava).

#### 1. Zásobníky

*Vanová koupel* ( $250 \text{ l}$ ,  $40^{\circ}\text{C}$ , jedna vana za hodinu, 20 % přirážka)  
podle Sandera.  $Q = 9000 \cdot \beta \cdot n \cdot 1,163 \text{ [W]}$   
 $\beta$  = součinitel současnosti  
 $n$  = počet van

*Sprchová koupel* ( $50 \text{ l}$  na sprchu a 2 sprchy za hodinu)

$$Q = 3600 \cdot \beta \cdot n \cdot 1,163 \text{ [W]}$$

#### 2. Průtoková soustava

vany:  $Q = 13900 \cdot \beta \cdot n \cdot 1,163 \text{ [W]}$   
sprchy:  $Q = 5400 \cdot \beta \cdot n \cdot 1,163 \text{ [W]}$

Podle [7] je průměrná denní spotřeba TUV v bytech  $q_n$

		bez měření odběru	s měřením odběru
velká města	1/os. den kWh/os.	50—60 2,9—3,5	40—50 2,3—2,9
malá města	1/os. den kWh/os.	30—40 1,7—2,3	25—33 1,5—1,9

#### e) Dvoustupňový ohřev podle (5)

Výpočtový výkon teplosměnných ploch při dvoustupňovém ohřevu, kdy první stupeň je protiproudý a druhý akumulační ohřívák, závisí na volbě vzájemného poměru tepelných výkonů obou stupňů. Nejpříznivější je stav, kdy není třeba zvyšovat cel-

kový tepelný výkon proti čistě akumulačnímu ohřevu s  $\tau = 2$  až 3 hodiny.

Pro dvoustupňový ohřev TUV řešený na ČVUT, vyhovuje výpočtový výkon teplosměnných ploch vztahu:

$$Q = 11,5 \cdot n^{0,65} \quad [\text{kW}],$$

kde  $n$  je počet připojených bytů jak pro čistou akumulaci, tak pro dvoustupňový ohřev se sníženou akumulací ve 2. stupni.

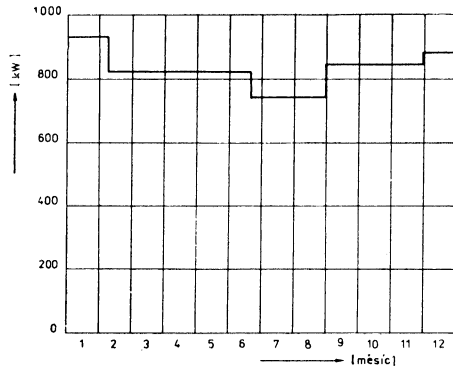
Na závěr je uveden obr. 8, který představuje srovnání údajů pro určení směrného tepelného příkonu pro přípravu TUV.

### 2.3 Měření a vyhodnocení spotřeby TUV v pražských sídlištích

V roce 1982 provedly Pražské teplárny řadu měření spotřeby TUV na části sídlišť Novodvorská a Jižní Město. Obě lokality jsou reprezentativní pro zobecněné vyhodnocení získaných obyvatel (1 056 bytů), ve druhém pak asi o 2 000 obyvatel (580 bytů). Měření v sídlištním okrsku s 1 056 byty probíhalo v jarních a letních měsících, měření pro 580 bytů proběhlo na podzim a v zimě. Rovněž skutečnost, že měření proběhla v těchto odlišných obdobích roku 1982 znamená, že je respektována současná životní úroveň obyvatel.

Z uvedených měření vyplývají tyto závěry:

Roční idealizovaný průběh spotřeby tepla na ohřev TUV, resp. spotřeba TUV (obr. 9)



Obr. 9. Roční idealizovaný průběh spotřeby tepla na ohřev TUV (1 056 b. j.).

potvrzuje, že letní spotřeba (1/2 VI.—VII. a VIII. měsíce) je asi o 10 % nižší, což je způsobeno hromadným odlivem obyvatel z měst v době dovolených. Začátkem září (IX.) je patrný skokový nárůst spotřeby, který si pak vzestupnou tendenci udržuje približně jako v předchozím období. Další výrazný nárůst spotřeby TUV je patrný začátkem prosince (XII.), což je spojeno s pravidelným předvánočním obdobím, kdy nároky na TUV výrazně vzrůstají a tyto typické zimní odběry trvají až do poloviny února.

Zjištěné výsledky umožňují rozlišit dvě typická období v průběhu roční spotřeby TUV:

1. typický letní týden,
2. typický zimní týden.

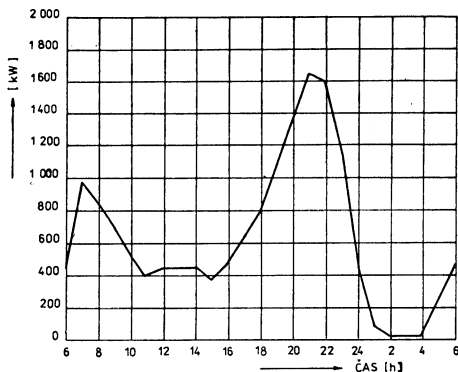
Tyto dva pojmy mají pro Prahu svoji specifiku. Je známo, že se v přechodném a letním období Praha v pátek vylidňuje (s vysokým stupněm motorizace a nejhustší sítí chat

a chalup) a v neděli následuje ve večerních hodinách hromadný návrat, což způsobuje extrémní špičky v odběru TUV. Naproti tomu v zimním období, tj. mimo sezónu, je většina obyvatel v městě a tak sobotní a nedělní odběry dosahují vysokých hodnot a jsou rovnoměrnější.

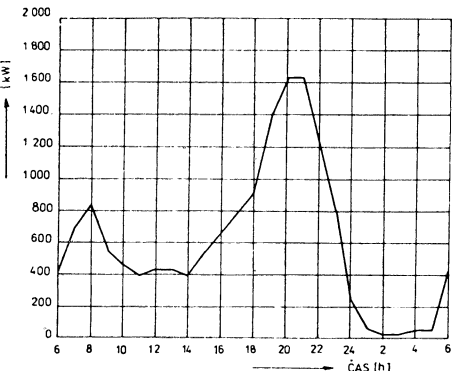
Typický letní týden má tyto charakteristické rysy:

- maximum celodenní spotřeby je ve čtvrtku,
- v pátek je hluboký pokles spotřeby,
- sobotní spotřeba relativně nižší, na úrovni týdenního průměru,
- v neděli špičkový odběr z celého týdne, zejména mezi 17 až 23 hodinou.

Tyto průběhy jsou graficky znázorněny na obr. 10, až obr. 13. Z výsledků je zřejmé, že



Obr. 10. Průběh spotřeby tepla na ohřev TUV pro typický přechodný všední den.



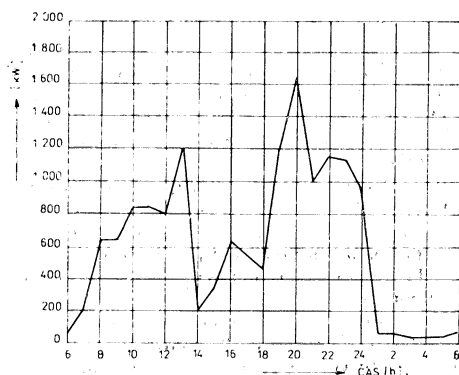
Obr. 11. Průběh spotřeby tepla na ohřev TUV pro typický přechodný den — sobota.

vztah podle nové ČSN 06 0320 pro směrný tepelný příkon

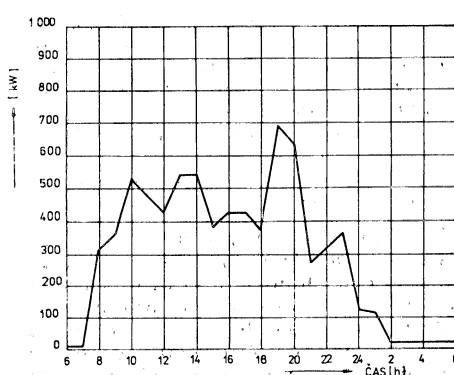
$$q_n = 0,4 + 15i^{-2/3} \quad [\text{kW}/\text{os.}]$$

odpovídá skutečnosti, rovněž tak i výpočet objemu zásobníku

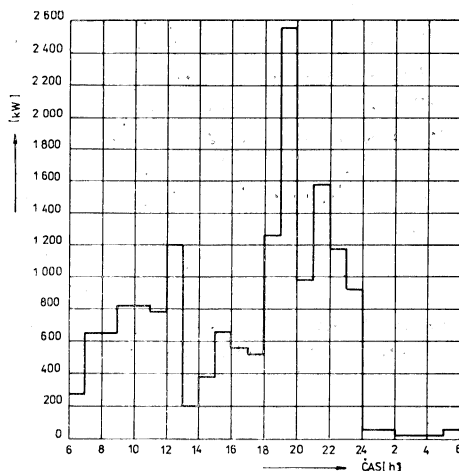
$$V_z = 54i^{3/4} \cdot z \cdot \psi \cdot \varphi. \quad (1)$$



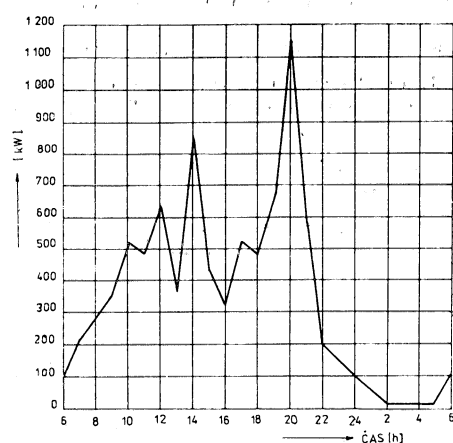
Obr. 12. Průběh spotřeby tepla na ohřev TUV pro typický přechodný den — neděle.



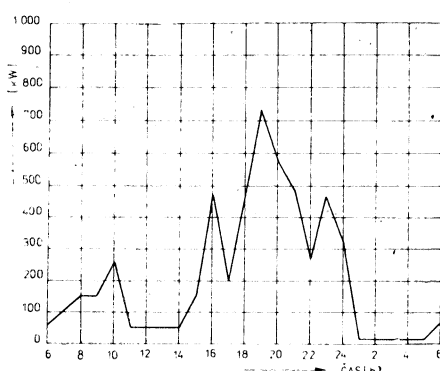
Obr. 15. Průběh spotřeby tepla na ohřev TUV pro typický zimní den — sobota.



Obr. 13. Denní hodinové charakteristické špičky spotřeby tepla na ohřev TUV pro přechodné období (neděle).



Obr. 16. Průběh spotřeby tepla na ohřev TUV pro typický zimní den — neděle.



Obr. 14. Průběh spotřeby tepla na ohřev TUV pro typický zimní všední den.

V typickém zimním období není charakteristický páteční pokles ani relativní sobotní a nedělní dopolední útlum s extrémní špičkou v neděli okolo 20. hodiny. Rovněž tak nedělní minimum okolo 13. hodiny nedosahuje tak nízkých hodnot.

Týdenní spotřeba nemá charakteristickou letní vzestupnou tendenci s vrcholem ve čtvrtku.

Tyto průběhy jsou graficky znázorněny na obr. 14 až obr. 16.

- [1] ČSN 06 0320 — Ohřívání užitkové vody. Navrhování 1. 4. 1956.
- [2] ČSN 06 0320 — Ohřívání užitkové vody. Navrhování 3. návrh přepracované nové normy 1983.
- [3] Buchtík: Pražský vodovod, Hydroprojekt Praha 1973.
- [4] Stříňavka V.: Teplá užitková voda. Pracovní podklady pro obor „Technika prostředí“ ČVTS Praha 1972.

- [5] Brož K.: Zásobování teplem. Skriptum ČVUT 1981.
- [6] Cihlář J.: Soustavy CZT, SNTL Praha 1977.
- [7] Recknagel: Vykurowanie, vetranie, klimatizácia. Alfa Bratislava, 1971.

### Приготовление теплой производственной воды в поселках Праги

*Инж. Карел Броž, к. т. н.  
Инж. Карел Кадавы*

В статье приводится обзор источников питьевой воды для Праги и водопотребления с направлением на теплую производственную воду. Приводятся результаты измерения расхода воды в Праге в последних периодах и сравниваются с ЧСН и другими способами расчета.

### Supply hot water preparation in housing estates of Prague

*Ing. Karel Brož, CSc.  
Ing. Karel Kadavý*

The review of drinking water sources for Prague and trend of water consumption with a view to supply hot water is given in the article. Results of consumption measurements in Prague from the last seasons are discussed

there and they are compared with ČSN and with the other calculation methods.

### Gebrauchswarmwassererzeugung in Prager Wohnsiedlungen

*Ing. Karel Brož, CSc.  
Ing. Karel Kadavý*

Der Artikel bietet eine Übersicht der Trinkwasserquellen für die Stadt Prag und der Wasserverbrauchsentwicklung mit Rücksicht auf das Gebrauchswarmwasser. Man führt die Ergebnisse der Wasserverbrauchsmessung während der letzten Perioden in Prag, die mit einem tschechoslowakischen Standard (ČSN) und mit weiteren Berechnungsmethoden verglichen werden, ein.

### Préparation de l'eau chaude utile dans les agglomérations de Prague

*Ing. Karel Brož, CSc.  
Ing Karel Kadavý*

L'article présente comprend un aperçu des sources d'eau potable pour la ville Prague et du développement de la consommation d'eau par égard à l'eau chaude utile. On présente les résultats de mesure de la consommation d'eau à Prague dans les périodes dernières et on les compare avec un standart tchécoslovaque (ČSN) et avec les autres modes de calcul.

### ● Energeticky úsporné žárovky Sylvania

se vyrábějí v podmínkách zdokonalené technologie (jsou určitou obměnou tzv. kryptonek). Ve výrobním programu jsou tyto zdroje:

Příkon [W]	Spotřeba energie [W]	Úspora [W]	Život [h]	Světelný výkon [lm]	Měrný výkon [lm/W]	Rozměry [ $\varnothing$ /mm]
40	36	4	1 000	415	11,5	50/87
60	54	6	1 000	710	13	50/87
75	69	6	1 000	940	13,6	50/87
100	93	7	1 000	1 340	14,4	60/94

Poznámka: V tabulce uvedené zdroje mají v průměru o 10 % větší světelný výkon, než se obvykle udává u zdrojů čs. výroby

Žárovky jsou světelné zdroje zdánlivě (podle současných názorů) bez rezerv, tj. na konci vývoje. Ukazuje se, že toto není úplná pravda, protože skryté rezervy se objevují — ne často, ale objevují.

Když loni NDR prodloužila život žárovek z 1 000 na 2 500 hodin úpravami výrobní technologie (dokonce i kvality vlákna), přičemž přínosem jsou značné materiálové úspory a letos obdobnými cestami Sylvania spoří energii — je stále ještě něco před námi. Otázka, kterou zatím nikdo nezodpověděl, zůstává, jak se vyrovná poměrně malá energetická úspora u žárovek Sylvania s rozptylem výroby (kvalitativními mezemi). Pro drobné spotřebitele (domácnosti) bude prodloužení života pravděpodobně vítanější než úspora energie (i když i tu lze výhodně propagovat). Naopak pro větší spotřebitele je úspora energie zádější (Licht 4/83).

(LCh)

### ● Prof. Joh. Bernardus de Boer

vědecký pracovník a vedoucí laboratoří pro využití světla fy. Philips Eindhoven (Holandsko, NSR a pro Rakousko), stal se 29. dubna 1983 čestným doktorem věd TU v Berlíně.

Se jménem de Boer spojujeme na straně jedné intenzivní vývoj v oboru osvětlování a na straně druhé rozsáhlou programovou činnost v řadě mezinárodních organizací, především CIE, kde byl 1979 prezidentem. Prof. de Boer je světově proslulým specialistou v umělém osvětlování komunikací (s návazností na vlastní světlo na dopravních prostředcích) a letiště. Je také autorem 3 knih na dané téma, které se staly základními učebnicemi s nepomíjivou hodnotou.

Jeho přednášková činnost je tak rozsáhlá, že ji patrně ani nebude možno kompletně zhodnotit. Sledoval v ní a předkládal vývoj v oboru s mimořádným zaujetím a smyslem pro sdělování progresivních myšlenek. Věděl, které mohou odborníky zaujmout a tak účinně zapůsobit a které stojí za to, aby byly rozvíjeny na široké základně.

Zasloužil se i o vybudování experimentálního úseku vozovky-laboratoře, na které pokusy (realizované v terénních podmírkách) získávaly konkrétní podoby. Má tedy podíl na téměř neomylné aplikaci světelných zdrojů a svítidel na dálnicích i městských vozovkách, které realizovala fa Philips.

(LCh)

### ● SLIMELINE — svítící trubice

jsou dekorativní přímkové (lépe: čárové) světelné zdroje na principech vysokonapěťových trubic. Jsou tvarovatelné a tedy schopné vhodně esteticky sledovat linie architektonických prvků např. konstrukci. Vyrábějí se vždy přímé o  $\varnothing$  30 mm (ale i 26 nebo 28 mm) v délkách 100, 150 a 200 cm (na sklad). Tvarují se podle přání. Luminofor, nanesený na vnitřní povrchu, dává všechny bílé odstíny běžných zářivek. Ukončení trubic (patice) jako u zářivek nebo jako u vysokonapěťových trubic (elektrody za paticí nebo stranou).

Užitečné délky (zpracované) jsou od 50 cm (vzhledem k ekonomickému životu) do 280 cm (vzhledem k možnostem zpracování). Světelné toky závisí na druhu luminoforu, na průměru trubice a velikosti provozního proudu: při průměru 30 mm, 200 mA a barvě světla „bílá“ činí světelný tok 1 150 lm/bm trubice, při „teple bílá“ 1 440 lm/bm. Světelné výkony

jsou v rozmezí 18,3—26,5 lm/W. Povrchové jasy 4 200—5 300 cd/m<sup>2</sup>. Max. svítivost v rovině kolmé na osu trubice a v této rovině je na všechny strany stejná.

Trubice svítí v libovolných polohách a při teplotě okolí jako zářivky (při nízkých teplotách světelný pol klesá). Životnost odpovídá plynné náplni (a tím i délce trubice a jejímu průměru) a četnosti zapínání. Při normálních podmírkách činí 10—12 000 hodin. Stmívání není možné.

Zalamování trubic je možné i komplikované. V podstatě je to osvětlení přímkovým zdrojem, bezestinné a bez svítidel samo o sobě velmi dekorativní. Přerušení plynulosti linie vzhledem k možnosti zapouštění elektrod nenastává (Licht 6/83).

(LCh)

### ● Barevnost prostředí 83/84

Podíl barevnosti podlahové krytiny na celkové barevnosti prostředí je značný (odeznívá tu přírodu), ovšem také specifický: jiný v prostoru málo zastavěném, jiný v prostoru vysokém, jiný podle druhu osvětlení (denní přírodní, umělé).

V roce 1981 nebyly pestré barvy kobercových podlah ve veřejném i soukromém sektoru nikterak významné. V roce 1982 se ukázala odvaha k barvě jako přijímaný zásah do výrazu prostředí. Růst barevnosti se nedotýká dominantního postavení přírodních podnětů (barevných i materiálových) — 65—84 % podle použití. V obytných prostorách zaujímají odstíny béžová-karamelová (písky) 55 % a tím si udržují svoji převahu jako v roce 1981. Hnědá (zemitá) poklesla ze 17 na 14 %. Skupina zelených včetně olivové (trávy) již několik let svoji oblibu nemění a na celkové barevnosti se podílí 12 %. Následují tři skupiny barev s 5 % podílem: červená—rezavá—růžová (1981 — 3%), modrá (1981 — 2%) a šedá—antracitová (bezé zmňový). S 1 % podílem zůstává na konci stále skupina zlatá—žlutá — patrně proto, že v přírode stěží najdeme ekvivalent.

Dolní poloprostor — z hlediska vizuálního spolupůsobení při vytváření prostorových dojmů — někdy podcenujeme a závažnost přisuzujeme hornímu poloprostoru (zvláště při intenzivním umělém osvětlení). Není to správné, neodpovídá to přísnemu informaci a dokonce vlastně odpovídá existenčním potřebám současného člověka. Pozornost barevnosti povrchů podlah (týká se všech krytin) je proto na místě (Raum + Textil 1983/4).

(LCh)

# REGULACE ZAŘÍZENÍ NA VYUŽÍVÁNÍ SLUNEČNÍ ENERGIE PRO OHŘEV UŽITKOVÉ VODY

Ing. JIŘÍ MATĚJČEK

*Inklemo, Praha*

V článku je zdůrazněn význam automatické regulace pro zabezpečení uspokojivé účinnosti solárních zařízení pro ohřev užitkové vody. Dále jsou podrobně popsány regulační systémy vhodné zejména pro naše středoevropské klimatické podmínky, které jsou sestavené především z u nás vyráběných a běžně dostupných prvků.

Recenzoval: Doc. Ing. Dr. J. Cihelka

## 1. Úvod

Nemá-li se zastavit růst životní úrovně, musí se zvětšovat produkce energie. Vlivem spalování fosilních paliv se dostávají do ovzduší jedovaté látky. Kromě tohoto se zvětšuje obsah kysličníku uhličitého v atmosféře a tím se narušuje biologická rovnováha na Zemi.

Ubývání fosilních paliv i povážlivé znečištěování ovzduší vede lidstvo ke hledání obnovitelných zdrojů energie. Nejvydatnějším zdrojem takové energie je Slunce.

S ohledem na ekonomiku zařízení pro využívání sluneční energie se doposud prakticky omezujeme na využívání slunečního záření, transformovaného na teplo. Přímá přeměna slunečního záření na elektrický proud je prozatím příliš nákladná.

Většího rozšíření zaznamenalo pouze zařízení pro využití sluneční energie k ohřevu užitkové vody. Takovéto zařízení se obvykle skládá ze soustavy slunečních kolektorů, výměníku tepla, automatické regulace, oběhového čerpadla, regulačních armatur, zabezpečovacího zařízení proti překročení povoleného tlaku v soustavě a zprostředkovatele přenosu tepla — teplonosného média.

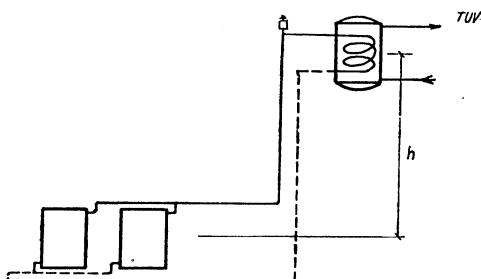
Na zařízení k ohřevu vody sluneční energií je třeba hledět jako na celek, skládající se z funkčně rovnocenných částí. Technická úroveň těchto částí musí být na stejně výši, neboť výsledný efekt určuje nejslabší článek soustavy, tj. část s nejméně dokonalou funkcí. Velká pozornost byla doposud věnována slunečním kolektorům, jakožto prvku zcela novému, zatímco ostatní prvky zůstávaly v pozadí zájmu o jejich technickou a funkční dokonalost.

## 2. Regulační zařízení

Pro nejjednodušší solární systémy není nutné použít regulátor. Takové zařízení před-

podkládá umístit sluneční kolektory niže, než je výměník tepla, popřípadě tepelný akumulátor (obr. 1).

Minimální hodnota převýšení střední výšky výměníku a střední výšky kolektorů je určena



Obr. 1.

hydraulickými poměry v systému. Závisí na tlakových ztrátách v kolektoru, potrubí i výměníku. Přenos tepla teplonosným mediem se uskutečňuje prouděním na základě jeho rozdílných hustot při různých teplotách. Zařízení je jednoduché, zajišťuje odvod tepla z kolektorů do výměníku a zamezuje zpětnému chodu.

Automatická regulace je třeba užít tam, kde sluneční kolektory jsou umístěny ve stejné výši jako výměník tepla, nebo jsou-li kolektory výše než výměník. To je nejčastější případ. Automatický regulátor má za úkol zajistit přenos tepla z kolektorů k jeho dalšímu využití ve výměníku, akumulátoru, bazénu, tepelném čerpadlu apod.

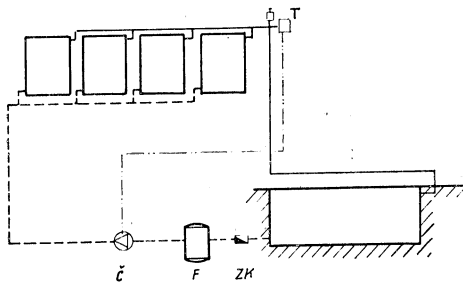
Dalším úkolem regulátoru je zamezit zpětnému proudění teplonosné kapaliny ze zásobníku a tím i jeho ochlazování. Přesnou funkcí zajišťuje regulátor maximální účinnost celého zařízení. Podmínkou dobré účinnosti zařízení je, aby kolektory pracovaly s co

nejmenší střední teplotou, neboť při větším rozdílu střední teploty kolektoru a teploty okolí dochází k vyšším tepelným ztrátám. Zajištění tohoto požadavku předpokládá dobré přestupy tepla ve slunečních kolektorech, tj. z absorbéra do teplonosného média, dobré přestupy tepla ve výměníku, tj. z teplonosného média do teplosměnné plochy, dobrou tepelovodivost teplosměnných ploch i dobrý přestup tepla z vnější teplosměnné plochy do ohřívaného média. Intenzitu přestupu tepla na teplosměnných plochách do značné míry závisí na rychlosti proudění kapaliny podél teplosměnných ploch.

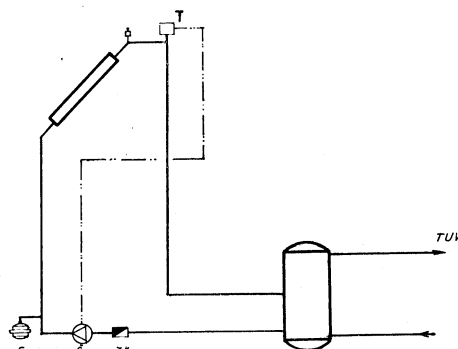
Automatická regulace se v některých případech omezuje pouze na ovládání chodu oběhového čerpadla.

Jedním z nejjednodušších způsobů ovládání oběhového čerpadla je ovládání termostatem. Tento způsob regulace lze použít pouze pro regulační zařízení se zásobníkem s poměrně stálou teplotou, např. pro regulaci solárních systémů pro ohřev vody v bazénu. Termostat se nastavuje na teplotu o 2–3 K vyšší, než je teplota vody v bazénu. Schéma zařízení je na obr. 2.

Na obr. 3. je znázorněno totéž regulační zařízení při aplikaci pro ohřev užitkové vody. Pro regulaci zařízení s akumulátorem s proměnlivou teplotou je tento způsob regulace méně vhodný, neboť termostat je třeba nastavovat na teplotu vyšší než je maximální provozní teplota v zásobníku, a tím je zne-



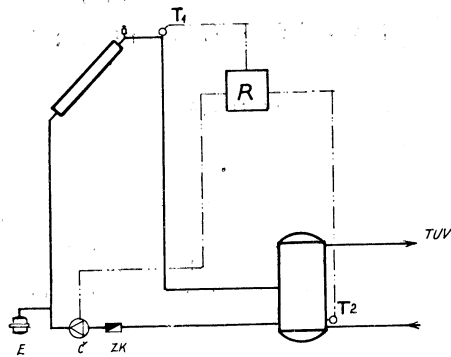
Obr. 2.



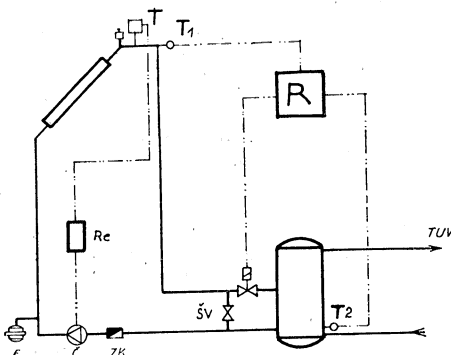
Obr. 3.

možněno využívání tepla o nižších teplotách. Provoz takového zařízení je v tomto případě nehospodárný.

Jiný způsob regulace zařízení pro ohřev užitkové vody sluneční energií je znázorněn ve schématu na obr. 4. Chod oběhového čerpadla je ovládán pomocí regulátoru, který



Obr. 4.

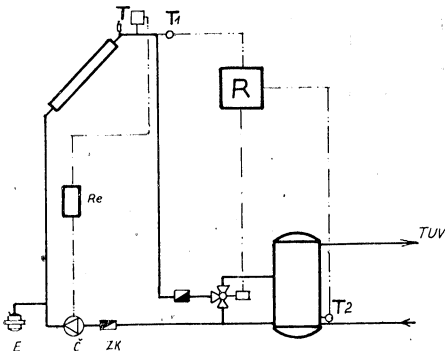


Obr. 5.

snímá teplotu teplonosného média ve výstupním potrubí z kolektorů a teplotu užitkové vody v akumulačním výměníku tepla. Regulátor tyto teploty neustále porovnává. Oběhové čerpadlo je uvedeno do chodu tehdy, je-li teplota média na výstupu z kolektoru vyšší o předem nastavenou hodnotu než je teplota vody ve výměníku. Je-li teplotní rozdíl menší než předem nastavený, oběhové čerpadlo se zastaví. Tento způsob regulace je nenáročný na investice a provoz. Bude využovovat tam, kde je v systému použit výměník běžné konstrukce a kolektory průměrné kvality.

U větších solárních systémů a tam, kde jsou použity speciální výměníky tepla, které mají velké výkony i při malých teplotních rozdílech, se používá regulační zařízení se dvěma potrubními okruhy na straně slunečních kolektorů — zkrácený a vyhřívací okruh. Existuje několik způsobů regulace dvouokruhových solárních systémů.

- a) Dvoukruhový solární systém s použitím termostatu, termoelektronventilu a škrticího ventilu ve zkráceném okruhu. Schéma zařízení je na obr. 5. Zařízení pracuje tak, že oběhové čerpadlo ve zkráceném okruhu je uvedeno do chodu při dosažení teploty na výstupu z kolektoru, která je nastavena na termostatu (obvykle 40 °C). Čerpadlo je ovládáno prostřednictvím silnoproudého relé. Při chodu oběhového čerpadla proudí teplonosné médium zkráceným okruhem přes sluneční kolektory a škrticí ventil, který je nepevně nastaven. Při dosažení teplotního rozdílu, nastaveného na regulátoru mezi teplotou média na výstupu z kolektoru a teplotou užitkové vody ve výměníku, se začne otevírat termoelektrický ventil. Při tomto způsobu regulace záleží na správném seřízení škrticího ventilu ve zkráceném okruhu.
- b) Dvoukruhový solární systém s použitím termostatu a třícestného ventilu. Schéma regulačního zařízení je znázorněno na obr. 6.



Obr. 6.

#### Popis funkce:

Regulátor  $R$  snímá a porovnává teplotu teplonosného média na výstupu z kolektoru a teplotu užitkové vody v akumulačním výměníku. Termostat po dosažení nastavené teploty (40 °C) přes silnoproudé relé uvádí do chodu oběhové čerpadlo. Třícestný ventil umožňuje stálou cirkulaci teplonosného média zkráceným okruhem. Teprve po dosažení vyšší teploty média na výstupu z kolektoru, než je teplota užitkové vody ve výměníku, servopohon přestaví třícestný ventil tak, aby teplonosné médium proudilo přes výměník tepla.

- c) V BLR se používají dvoukruhové solární systémy, kde oběhové čerpadlo ve zkráceném okruhu uvádí do chodu časový spínač. Teplonosné médium proudí zkráceným okruhem v denních hodinách bez ohledu na klimatické podmínky. Ohřívací okruh je v činnosti po dosažení určité teploty.
- d) V některých západních zemích je chod oběhového čerpadla ve zkráceném okruhu ovládán fotobuňkou. Otevření ventilu

v ohřívacím okruhu zajišťuje diferenční termostat.

Popsaná zařízení jsou sice jednoduchá, ale nevyužívají optimálně tepelnou energii zachycenou v kolektorech, neboť nedochází k zapnutí oběhového čerpadla v optimálním okamžiku. Oběhové čerpadlo je v chodu i tehdy, když nedochází k ohřevu teplonosného média; např. když je nízká teplota okolního prostředí při slunečním svitu, tepelné ztráty v kolektoru a potrubním rozvodu jsou vyšší než tepelný zisk.

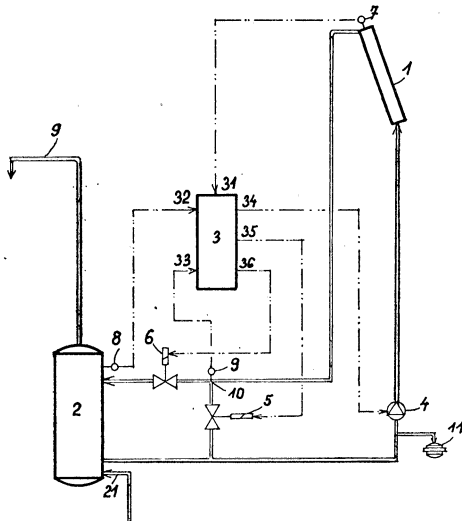
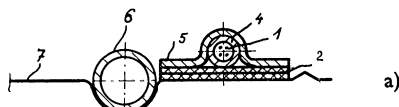
Zařízení, která mají pouze jeden okruh na straně slunečních kolektorů (obr. 4.) jsou nevýhodná tím, že v přívodním potrubí od slunečního kolektoru k akumulačnímu výměníku tepla je při počátku slunečního svitu studené teplonosné médium. Při slunečním svitu se médium v kolektoru zahřívá a signálem z teploměrného čidla se uvede oběhové čerpadlo do chodu. Chladné médium v potrubí před výměníkem výměník ochlazuje. Další nevýhodou je, že teplotní čidlo, které je umístěno v kolektoru, snímá teplotu ve výstupním potrubí z kolektorů. Nerespektuje tepelné ztráty teplonosného média v potrubním systému. Proto může docházet k ochlazování akumulátoru následkem velkých tepelných ztrát v potrubí, přestože teplotní čidlo signalizuje, že v horní části kolektoru je dostatečně vysoká teplota, nutná pro uvedení oběhového čerpadla do chodu. Aby se tomu zabránilo, nastavuje se větší teplotní rozdíl mezi teplotou média na výstupu z kolektoru a teplotou užitkové vody v akumulačním výměníku, nutný pro uvedení oběhového čerpadla do chodu. Tím dochází k energetickým ztrátám. K dosažení lepší funkce regulátoru by bylo zapotřebí regulovat otáčky oběhového čerpadla v závislosti na intenzitě slunečního svitu.

U dvoukruhových systémů, ve kterých je oběhové čerpadlo uváděno do chodu pomocí signálu od termostatu, není při počátku cirkulace média zkráceným okruhem respektována teplota užitkové vody ve výměníku. Využívá se pouze teplota nad hodnotou, která je nastavena na určitou mez. Obdobně fotobuňka reaguje pouze na intenzitu slunečního svitu bez ohledu na tepelné ztráty v kolektorech, potrubí i teplotu ve výměníku. Tím opět vznikají ztráty energie potřebné k pohonu oběhových čerpadel, která jsou v chodu, aniž by existovala reálná možnost ohřevu užitkové vody.

Uvedené nevýhody nemá zařízení pro regulaci oběhu teplonosného média v solárním systému, které je uvedeno na obr. 7.

- e) Dvoukruhový solární systém, ve kterém jsou smíšány tři teploty a jsou ovládány dva elektromagnetické ventily a chod oběhového čerpadla. Potrubní systém má dva okruhy na straně slunečních kolektorů. Oba okruhy jsou opatřeny solenoidovými ventily nebo jedním třícestným ventilem se servopohnem. Regulátor má tři teplotní vstupy a tři ovládací výstupy. Teplotní čidlo  $T_1$  je umístěno v potrubním rozdělovacím uzlu 10. Teplotní čidlo  $T_2$  je umístěno

ve výměníku tepla (akumulátoru) 2. Teplotní čidlo T3 je umístěno na výstupu média z kolektorů. Je výhodné, může-li být teplotní čidlo T3 umístěno přímo v kolektoru v úložné trubce, která je vodivě spojená s částí teplosměnné plochy. Čidlo s částí



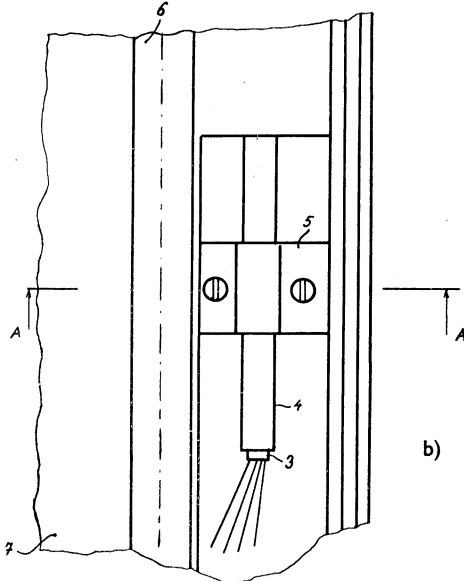
Obr. 7. Značení ve schématu.

1. Sluneční kolektor.
2. Akumulační výměník tepla.
3. Elektronický regulátor solárních systémů ER-01 (31. teplotní vstup od kolektoru teplotního čidla, 32. teplotní vstup od výměníkového čidla, 33. teplotní vstup od uzlového čidla, 34. Ovládací čerpadlový výstup, 35. ovládací ventilový výstup ventilu 5, 36. ovládací ventilový výstup ventilu 6.)
4. Oběhové čerpadlo.
5. Elektromagnetický ventil zkráceného okruhu.
6. Elektromagnetický ventil ohřívacího okruhu.
7. Kolektorové teplotní čidlo.
8. Výměníkové teplotní čidlo.
9. Odvod teplé užitkové vody.
10. Rozdělovací uzel.
11. Tlaková expazní nádoba.

teplosměnné plochy je uchyceno na tepelně izolační podložce na povrchu absorbérů referenčního kolektoru. Výhodou takto uloženého čidla je, že snímá teplotu povrchu absorbérů, která není přímo ovlivněna teplotou teplonošného média. Zároveň jsou respektovány tepelné ztráty kolektoru do okolního prostředí vedením, prouděním i sáláním i s ohledem na tepelnou setrvačnost kolektoru. Čidlo potom snímá intenzitu výsledného tepelného toku.

Příklad uložení čidla v kolektoru je na obr. 8a, 8b.

Zařízení pracuje takto: Kolektorové teplotní čidlo 7 snímá teplotu v kolektoru. Snímá



Obr. 8. Značení na obr. 8a, 8b:

1. Elektrické výstupy kolektoru teplotního čidla.
2. Tepelně-izolační podložka.
3. Kolektorové teplotní čidlo.
4. Úložní trubka.
5. Třmen.
6. Trubka teplonošné kapaliny.
7. Povrch absorbérů.

se bud teplota teplonošné kapaliny na výstupu z kolektoru, nebo se snímá teplota povrchu absorbérů referenčního kolektoru. Teplotní čidlo výměníku 8 snímá teplotu užitkové vody. Uzlové teplotní čidlo 9 snímá teplotu proudicího teplonošného média v rozdělovacím uzlu 10. Všechny informace o snímaných teplotách v jednotlivých uvedených místech se porovnávají a vyhodnocují v regulátoru 3.

Jestliže je teplota v kolektoru 1, nižší než je teplota užitkové vody ve výměníku 2 a zároveň je teplota teplonošné kapaliny v rozdělovacím uzlu 10 nižší, než je teplota vody ve výměníku, vyhodnotí regulátor tento stav a nevydává přes své ovládací výstupy 34, 35, 36 žádné povely, takže oba elektromagnetické ventily 5 a 6 jsou uzavřeny a oběhové čerpadlo je v klidu. Tento stav nastává obvykle při nedostatečném slunečním svitu. Vlivem slunečního záření stoupá teplota v kolektoru. Když teplota v kolektoru překročí o určitou nastavenou hodnotu teplotu ohřívané kapaliny ve výměníku 2 a je-li současně teplota teplonošného média v rozdělovacím uzlu 10 nižší, než je teplota ohřívané kapaliny ve výměníku, potom vyšle regulátor 3 přes svůj ovládací

výstup 34 povel ke spuštění oběhového čerpadla 4. Současně vyšle regulátor 3 přes svůj ventilový ovládaci výstup 35 povel k otevření prvního elektromagnetického ventilu 5. Teplonosné médium proudí zkráceným okruhem přes kolektory 1, rozdělovacím uzlem 10 přes otevřený první elektromagnetický ventil 5 a oběhové čerpadlo 4 zpět do kolektoru 1, promíchává se v celém zkráceném okruhu, a tím se teploty v kolektorech a rozdělovacím uzlu vyrovnávají.

Jestliže regulátor 3 vyhodnotí, že teplota teplonosné kapaliny v rozdělovacím uzlu 10 je vyšší o určitou nastavenou hodnotu, než je teplota ohřívané užitkové vody ve výměníku 2, potom vyšle přes svůj ventilový ovládací výstup 35 povel k uzavření prvního elektromagnetického ventilu 5 a současně vyšle přes svůj ventilový ovládaci výstup 36 povel k otevření druhého elektromagnetického ventilu 6. Oběhové čerpadlo 4 je v chodu a teplonosná kapalina proudí přes rozdělovací uzel 10 otevřeným druhým elektromagnetickým ventilem 6 přes výměník 2, kde ohřívá užitkovou vodu. Tento stav trvá tak dlouho, pokud je teplota teplonosného média v rozdělovacím uzlu 10 vyšší o nastavenou hodnotu než teplota užitkové vody ve výměníku 2. Toto je nejčastější stav, kdy dochází k vlastnímu ohřevu. Sleduje se přitom jen teplota užitkové vody ve výměníku 2 a teplota teplonosné kapaliny v rozdělovacím uzlu 10 a využívá se tak veškerá energie, která je akumulovaná v teplonosné kapalině, bez ohledu na teplotu v kolektoru 1.

#### *Popis regulátoru:*

Výměník tepla, sluneční kolektor a regulační obvod tvoří cílový systém s kombinačním chováním. Jádrem regulátoru je porovnávací obvod, tvořený dvěma operačními zesilovači. Zisk a frekvenční charakteristika zesilovačů jsou nastaveny tak, aby se získala optimální stabilita a odolnost proti rušení technickými kmitočty. Prvky ve zpětné vazbě umožňují nastavení teplotní hysterézy s ohledem na časovou konstantu regulované soustavy. Výstupní signál porovnávacích členů je upraven na TTL úroveň v pozitivní logice. Chování celého regulátoru je dáno kombinačním logic kým obvodem se třemi vstupy (porovnávací obvody) a třemi výstupy (ovládání chodu motoru oběhového čerpadla a dvou elektromagnetických ventilů). Kombinační obvod je sestaven z obvodů MH 4 a jeho logická funkce je navržena s ohledem na optimální činnost obou teplelných okruhů.

Výkonové členy jsou připínány přes relé ovládaná tranzistory. Reléové členy byly zvoleny z cenových důvodů a hlavně pro dokonalé galvanické oddělení. Jako čidla teploty jsou použity platinové měřicí odpory PT 100, které vyhovují stabilitou a průběhem závislosti odporu na teplotě. Jejich teplelná setrvačnost je zanedbatelná oproti setrvačnosti řízené soustavy. Napájení regulátoru je ze sítě 220 V. V bloku napájení je stabilizováno napětí  $2 \times \pm 15$  V pro operační

zesilovače a +5 V pro TTL logiku. Celková spotřeba regulátoru je menší než 10 W.

Regulátor má označení ER-01. Elektronický regulátor ER-01 lze použít jednak k regulaci solárních systémů k ohřevu užitkové vody v zemědělství, průmyslu a v rodinných domech, jednak při regulaci kapalinových okruhů pro zpětné získávání tepla ze zdrojů s proměnlivou teplotou. Regulátor ER-01 vyrábí VD Elko Nový Knín.

#### **3. Regulace solárních systémů pro využívání sluneční energie k ohřevu médií o dvou teplotních hladinách**

Jedním z hlavních problémů při využívání sluneční energie jsou výkyvy v intenzitě dopadajícího záření v letním období, kdy je obvykle tepla nadbytek, a v průběhu ostatních částí roku, kdy sluneční svit stačí pouze k příhřívání užitkové vody.

Proto je výhodné využívat sluneční záření v letním období přednostně k ohřevu užitkové vody a přebytečné teplo získané v kolektorech využít například k ohřevu vody v bazénu.

Předpokládá se, že po zvládnutí dlouhodobé akumulace tepla bude možno regulátor pracující na dvou teplotních hladinách použít pro kombinovaný ohřev užitkové vody s ohřevem akumulátoru tepla pro dlouhodobou akumulaci. Teplota akumulovaná v dlouhodobém akumulátoru bude využívána například jako zdroj tepla pro tepelná čerpadla. Zařízení je znázorněno na obr. 9.

#### *Popis zařízení:*

Potrubní systém má tři okruhy na straně slunečních kolektorů. Každý z těchto okruhů je opatřen elektromagnetickým ventilem. Regulátor má čtyři teplotní vstupy a čtyři ovládaci výstupy.

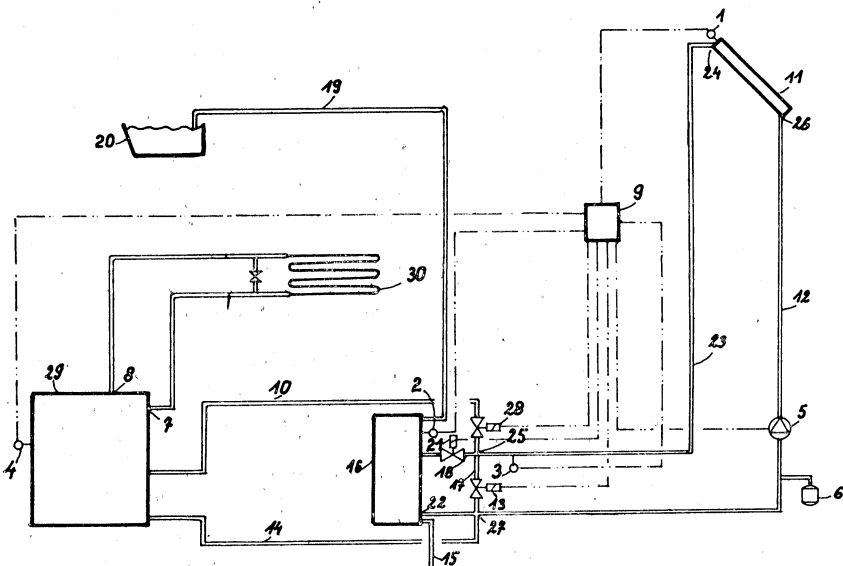
- Teplotní čidlo T1 je umístěno na výstupu z kolektorů.
- Teplotní čidlo T2 je umístěno ve výměníku tepla.
- Teplotní čidlo T3 je umístěno před rozdělovacím uzlem.
- Teplotní čidlo T4 je umístěno v dlouhodobém akumulátoru tepla.

Dlouhodobým akumulátorem tepla může být například bazén, velkoobjemové zásobníky na teplou užitkovou vodu, akumulátor na využívání latentního tepla apod.

#### *Popis funkce:*

- Teplotní čidlo 1 snímá teplotu v kolektoru 11.
- Teplotní čidlo 2 výměníku 16 snímá teplotu užitkové vody.
- Teplotní čidlo 3 snímá teplotu proudící teplonosné kapaliny před rozdělovacím uzlem 25.
- Teplotní čidlo 4 snímá teplotu v dlouhodobém akumulátoru 29.

Všechny informace o snímaných teplotách v jednotlivých místech se porovnávají a vyhodnocují v regulátoru 9. Jestliže je teplota



Obr. 9. Značení ve schématu.

(1. Kolektorové teplotní čidlo — 2. Výměníkové teplotní čidlo — 3. Uzlové teplotní čidlo — 4. Akumulátorové teplotní čidlo — 5. Oběhové čerpadlo — 6. Tlaková expazní nádoba — 7. Kapalinový vstup do akumulátoru — 8. Kapalinový výstup z akumulátoru — 9. Elektronický regulátor solárních systémů ER-02 — 10. Přívodní potrubní větev teplonosné kapaliny do akumulátoru — 11. Sluneční kolektor — 12. Přívodní potrubní větev ke kolektoru — 13. První elektromagnetický ventil — 14. Odvodní potrubní větev teplonosné kapaliny z akumulátoru — 15. Přívod studené vody — 16. Akumulační výměník tepla — 17. Příčná potrubní větev zkráceného okruhu — 18. Přívodní potrubní větev teplonosné kapaliny do výměníku — 19. Odvod teplé užitkové vody — 20. Místo spotřeby teplé užitkové vody — 21. Druhý elektromagnetický ventil — 22. Kapalinový výstup teplonosné kapaliny z výměníku — 23. Odvodní potrubní větev teplonosné kapaliny z kolektoru — 24. Kapalinový výstup z kolektoru — 25. Kapalinový rozdělovací uzel — 26. Kapalinový vstup do kolektoru — 27. Sběrací uzel — 28. Třetí elektromagnetický ventil — 29. Dlouhodobý akumulátor tepla — 30. Nízkoteplotní vytápění).

v kolektoru 11 nižší, než je teplota užitkové vody ve výměníku 16, teplota užitkové vody je nižší, než je požadovaná teplota nastavená na regulátoru (například 40 °C) a zároveň je teplota teplonosného média před rozdělovacím uzlem 25 nižší, než je teplota užitkové vody ve výměníku 16, nevydává regulátor 9 žádné povely, takže všechny tři elektromagnetické ventily jsou uzavřeny a oběhové čerpadlo je v klidu.

Vlivem slunečního záření stoupá teplota v kolektoru. Když teplota v kolektoru překročí o určitou nastavenou hodnotu teplotu užitkové vody ve výměníku 16, teplota užitkové vody je nižší, než je požadovaná hodnota nastavená na regulátoru, a je-li současně teplota teplonosné kapaliny v rozdělovacím uzlu 25 nižší, než je teplota užitkové vody ve výměníku, potom vyšle regulátor 9 povel ke spuštění oběhového čerpadla 5 a zároveň vyšle povел k otevření prvního elektromagnetického ventilu 13. Teplonosné médium proudí zkráceným okruhem přes kolektory 11, rozdělovacím uzlem 25 přes otevřený elektromagnetický ventil 13, sběrací uzel 27 a oběhové čerpadlo 5 zpět do kolektoru 11. Přitom se teplonosná kapalina v celém zkráceném okruhu promí-

chává a teploty v kolektoru a rozdělovacím uzlu se vyrovnávají.

Jestliže regulátor 9 vyhodnotí, že teplota teplonosné kapaliny před rozdělovacím uzlem 25 je vyšší než teplota užitkové vody ve výměníku 16 a zároveň je teplota užitkové vody menší než je požadovaná teplota nastavená na regulátoru, potom regulátor 9 vyšle povel k uzavření prvního elektromagnetického ventilu 13 a současně vyšle povel k otevření druhého elektromagnetického ventilu 21.

Oběhové čerpadlo 5 je v chodu a teplonosné médium proudí přes rozdělovací uzel 25 druhým elektromagnetickým ventilem 21 přes výměník 16, kde ohřívá užitkovou vodu. Tento stav trvá tak dlouho, pokud je teplota teplonosné kapaliny před rozdělovacím uzlem 25 vyšší o nastavenou hodnotu, než je teplota užitkové vody ve výměníku, a teplota užitkové vody zároveň neprekročí požadovanou hodnotu. Sleduje se přitom jen teplota užitkové vody ve výměníku 16 a teplota teplonosného média v rozdělovacím uzlu 25, bez ohledu na teplotu v kolektoru.

Dosáhne-li teplota užitkové vody ve výměníku 16 požadovanou hodnotu, která je nastavena na regulátoru (např. 40 °C) a je-li

teplota v kolektoru 11 nižší, než je teplota v dlouhodobém akumulátoru tepla 29, a zároveň je teplota teplonosného média v rozdělovacím uzlu 25 nižší než teplota v dlouhodobém akumulátoru 29, jsou všechny tři elektromagnetické ventily uzavřeny a oběhové čerpadlo je v klidu.

Překročí-li teplota v kolektoru 11 vlivem slunečního záření o určitou hodnotu teplotu v akumulátoru 29, teplota užitkové vody ve výměníku 16 je vyšší, než je požadovaná hodnota nastavená na regulátoru, a je-li současně teplota teplonosné kapaliny před rozdělovacím uzlem 25 nižší než teplota v akumulátoru 29, potom vyšle regulátor povel ke spuštění oběhového čerpadla 5 a zároveň vyšle povel k otevření prvního elektromagnetického ventilu 13. Teplonosné médium proudí zkráceným okruhem tak dlouho, dokud jeho teplota před rozdělovacím uzlem 25 není vyšší než teplota v akumulátoru 29.

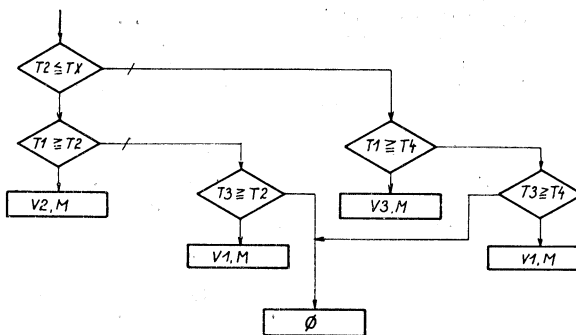
Jestliže regulátor vyhodnotí, že teplota teplonosného média před rozdělovacím uzlem je vyšší než teplota v akumulátoru a zároveň je teplota užitkové vody ve výměníku vyšší, než je požadovaná hodnota nastavená na regulátoru, potom regulátor vyšle povel k uzávření prvního elektromagnetického ventilu a současně vyšle povel k otevření třetího

elektromagnetického ventilu 28. Oběhové čerpadlo 5 je v chodu a teplonosná kapalina proudí od kolektoru 11 přes rozdělovací uzel 25 otevřeným třetím elektromagnetickým ventilem 28 přes akumulátor 29, sběrací uzel 27, oběhové čerpadlo 5, zpět do kolektoru 1. Tento stav trvá tak dlouho, dokud je teplota média před rozdělovacím uzlem vyšší než teplota akumulátoru 29 a teplota užitkové vody ve výměníku 16 neklesne pod stanovenou hodnotu. Sleduje se přitom jen teplota teplonosné kapaliny před rozdělovacím uzlem 25 a teplota v akumulátoru 29, bez ohledu na teplotu v kolektoru.

Při poklesu teploty užitkové vody ve výměníku 16 pod předem nastavenou hodnotu (např. o 2–5 °C), zajišťuje regulátor opět ohřev užitkové vody.

#### Popis regulátoru:

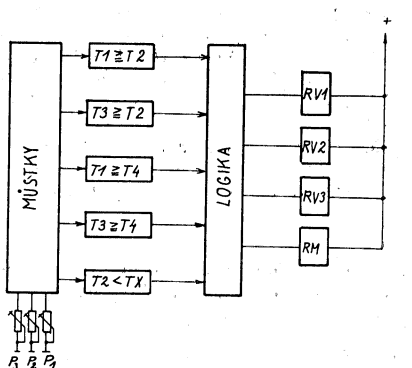
Tepelná soustava podle obr. 9 představuje systém s konečným počtem stavů. Chování regulátoru lze popsat tabulkou, zachycující relace mezi vstupními proměnnými teplotami ( $T_1, T_2, T_3, T_4$ ) a výstupy (stav ventilu  $V_1, V_2, V_3$ ) a motoru čerpadla. Je výhodné uspořádat funkční tabulku do vývojového diagramu na obr. 10.



Obr. 10.

První rozhodovací blok porovnává teplotu čidla  $T_2$  s předvolenou hodnotou  $T_X$ . Obě větve chování jsou podobné tím, že místo teploty  $T_2$  pro pozitivní výstup rozhodovacího bloku jsou v negativní větvi porovnávány teploty  $T_1, T_3$  s teplotami  $T_4$ .

Jeví se tedy výhodné porovnávat teploty z rozhodovacích bloků (diagram na obr. 10) komparátory, vytvořenými z operačních zesilovačů typu MAA 500. Upravené výstupní signály komparátorů jsou zpracovány komparační logikou tvořenou Invertory (MH 7004), dvouvstupovými (MH 7400) a třívstupovými (MH 7410) hradly. Spínací tranzistory s relé v kolektorech řídí polohu elektromagnetických ventilů a chod oběhového čerpadla. Tranzistory jsou buzeny signálem z výstupu součtových členů, které jsou s ohledem na jednoduchost zapojení tvořeny diodovou logikou.



Obr. 11.

Komparátory mají úpravou zpětné vazby zavedenou hysterézi asi  $2^{\circ}\text{C}$  pro rychlejší průchod rozhodovací úrovni.

Výstupní signál komparátoru ( $\pm 15 \text{ V}$ ) je upraven na TTL úroveň upínacími diodami. Potřebné výkonové zatížitelnosti pro buzení TTL obvodů je dosaženo emitorovými sledovači. Omezení rušení na indukovanými sledovači  $50 \text{ Hz}$  do přívodu čidel je dosahování blokováním přívodů, jakož i hysterézí komparátorů.

Čidla teploty jsou s ohledem na stabilitu a linearitu tvořeny platinovými teploměry Pt 100. Linearizováním polovodičových či termistorových teploměrů by se jen velmi obtížně docíloval potřebný souběh čtyř čidel v uvažovaném teplotním rozsahu při žádoucí stabilitě. Zapojením teploměrů do příslušných větví můstku jsou získány signály pro vstupy komparátorů. Trimry  $P_1$ ,  $P_2$ ,  $P_3$  slouží k nastavování výchozího stavu regulátoru. Spotřeba regulátoru je asi  $20 \text{ W}$ . Regulátor má označení ER-02 a připravuje jej do výroby VD Elko Nový Knín.

#### 4. Závěr

Solární systémy sloužící k ohřevu užitkové vody se budou dále vyvíjet a zdokonalovat. Ke zlepšení jejich účinnosti mohou ve značné míře přispět i regulátory typu ER 01 a ER 02. Uvedené příklady jejich použití slouží k pochopení jejich funkce. Mohou ovládat jakékoliv tepelně energetické soustavy s proměnlivou intenzitou zdroje tepla (např. regulátor ER 01 může snímat a vzájemně porovnávat dvě až tři teploty a na základě získaných údajů může ovládat jeden až tři prvky, jako jsou oběhová čerpadla, elektroventily, servopohon, vzduchotechnické klapky apod.).

#### Literatura

- [1] Matějček J.: Komponenty pro solární okruhy. Sborník přednášek 7 — Využití sluneční energie — Hradec Králové 1980.
- [2] Laboutka K.: Automatická regulace zařízení na využití sluneční energie. Sborník přednášek z 10. národní konference v Karlových Varech 1981.
- [3] Matějček J.—Němc J.: Přihláška vynálezu PV 1733-79 — Zapojení pro regulaci oběhu teplonosné kapaliny v kapalinovém okruhu.
- [4] Matějček J.—Němc J.: Přihláška vynálezu 2386-81 — Regulační zapojení sítě solárního kolektoru s tepelným akumulátorem.

#### Регуляция оборудования использующего солнечной энергии для обогрева производственной воды

Инж. Йиржи Матейчек

В статье подчеркивается значение автоматической регуляции для обеспечения

удовлетворительной эффективности солнечных оборудований для обогрева производственной воды. Дальше подробно описываются системы регуляции, подходящие главным образом для наших среднеевропейских климатических величин и составленные прежде всего из в Чехословакии выпускаемых и обычно доступных элементов.

#### Control of an equipment using solar energy for supply water heating-up

Ing. Jiří Matějček

Importance of an automatic control for assurance of satisfactory efficiency of solar equipments for supply water heating-up is pointed out in the article. Control systems suitable especially for climatic conditions of Central Europe and assembled above all from elements, produced in Czechoslovakia and which are usually procurable there, are in detail described in the article.

#### Regelung der Sonnenenergieausnutzungsanlage für die Nutzwassererwärmung

Ing. Jiří Matějček

Im Artikel hebt man die Bedeutung der automatischen Regelung für die befriedigte Effektivitätssicherung der Sonnenanlagen für die Nutzwassererwärmung hervor. Weiter beschreibt man ausführlich die besonders für unsere mitteleuropäischen klimatischen Bedingungen geeigneten und besonders aus den in der Tschechoslowakei erzeugten und laufend zugänglichen Elementen zusammengesetzten Regelungssysteme.

#### Régulation de l'installation d'utilisation de l'énergie solaire pour le réchauffage de l'eau utile

Ing. Jiří Matějček

Dans l'article présenté, on souligne l'importance de la régulation automatique pour l'assurance de l'efficacité satisfaisante des installations solaires pour le réchauffage de l'eau utile. Plus loin, on décrit en détail les systèmes de réglage convenables pour nos conditions climatiques de l'Europe Centrale surtout et ceux construits des éléments produits en Tchécoslovaquie avant tout et accessibles couramment.

# REALIZÁCIA A VÝSLEDKY PROTIHLUKOVÝCH OPATRENÍ V PLYNOVÝCH KOTOLNIACH

ING. PETER TOMAŠOVIČ, CSc.

*Stavebná fakulta SVŠT, Bratislava*

Autor zdôvodňuje význam akustických měření, uvádí metodiku měření a příklady technického řešení snížení hluku v plynových kotelnách v městském sektoru Bratislava-Petržalka.

Recenzoval: Ing. Dr. Jaroslav Némec, CSc.

Plynové kotolne, ktoré sú zdrojom trvalého hluku v sídelných útvaroch, svojou prevádzkou narúšajú akustickú pohodu v širokom územnom pásme. Preto bolo potrebné navrhnuť a realizovať protihlukové opatrenia smerujúce k zlepšeniu danej situácie.

Pri návrhu týchto opatrení vzájomne úzko spolupracovali viacere organizácie či už zo sféry projekčnej (Stavoprojekt Bratislava), investorskej (Výstavba hl. mesta SSR Bratislav), akustické merania a návrh protihlukových opatrení (Katedra stavebnej fyziky, SvF SVŠT Bratislava) a realizačnej (Pozemné stavby Bratislava).

Vzhľadom k realizácii protihlukových opatrení vo vybraných kotolniach je možné v súčasnosti hovoriť o pozitívnych výsledkoch pri tvorbe a ochrane životného prostredia, docielených uvedenou spoluprácou.

## Akustické merania a projekčná prax

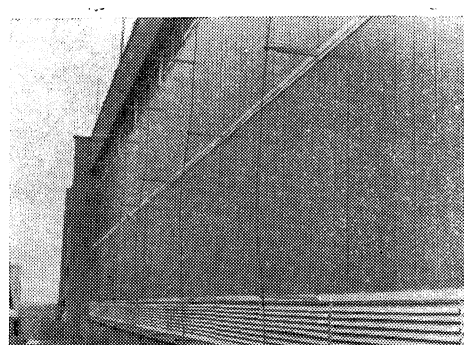
Návrh protihlukových opatrení musí vychádzať z objektívnych skutočností, a to hlavne v tom prípade, keď konkrétny objekt je už realizovaný. Definovaním hlukových pomerov teoretickým výpočtom, v konštrukčnom a technologickom interieri plynovej kotolne, nedostávame uspokojivé a hlavne dostatočne preukazné výsledky. Na jednej strane je spoločenská nutnosť kotolní a na druhej ich negatívne pôsobenie na životné prostredie.

Hladina hluku v interieri meraných kotolní je v rozsahu od 82 dB (A)—95 dB (A). Hluk sa šíri do exteriéru hlavne cez vetracie žaluzie, je vyžarovaný obvodovými konštrukciami (výtane stropu) a oceľovou konštrukciou komínového telesa, ktorá sa dostáva do rezonancie.

Plynová kotolňa predstavuje pri svojich rozmeroch (napr.  $s = 12\ 660\ mm$ ,  $d = 28\ 800\ mm$ ,  $v_s = 6050\ mm$ ) plošný zdroj hluku. Návrh a realizácia protihlukových

opatrení bola preto orientovaná hlavne na jednotlivé zdroje hluku, ktoré sú obklopené obvodovými konštrukciami.

Plná časť obvodovej konštrukcie je z pôrobetónu a výfukové časti sú riešené ako výplň z copillitových sklenených tvárníc s vetracími



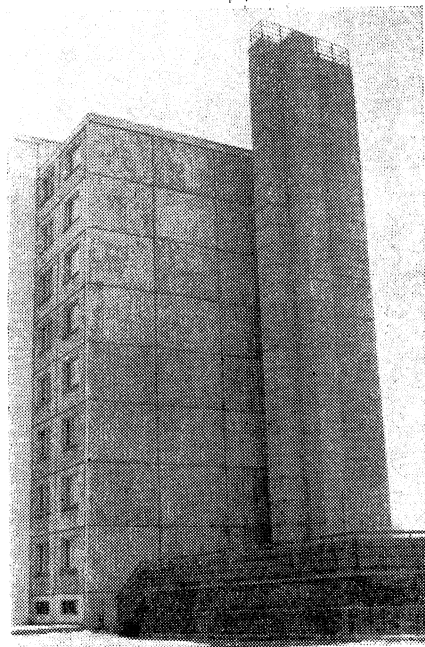
Obr. 1. Pohľad na obvodovú stenu plynovej kotolne z copillitu s vetracími žaluziami bez tlmičov.

žaluziami (v minolosti bez tlmičov), ktoré sú na obr. 1.

Návrh protihlukových opatrení predchádzali viaceré akustické merania v interieri a exteriéri kotolní, ako aj v bytoch situovaných v ich blízkosti [1], [2] atď.... Praktické výsledky ukázali, že aj sebelepšie protihlukové opatrenia sa môžu minúť svojho cieľa, keď kotolňa je situovaná v tesnej blízkosti obývanej budovy [3] (obr. 2). Napríklad: komínové teleso je kotvené do štítovej steny, základy niesu oddilatované od obytnej budovy a pod.). Z toho teda vyplýva, že výhodzím faktorom pri návrhu protihlukových opatrení je „reálne“ situovanie kotolne v komplexe obytných budov (pozn.:

reálne zohľadniť vzdialenosť tepelných rozvodov k budovám, rozvod plynu, vody, poloha dopravy vzhľadom ku kotolni a budovám atď., ale aj útlm hluku vzdialenosťou a vplyv zelere).

Vzhľadom k tomu, že protihlukové opatrenia sú a budú realizované na jestvujúcich kotolniach, návrh opatrení bol zameraný na stavebnú a technologickú časť kotolne.



Obr. 2. Pohľad na komínove teleso (so špecialných tvaroviek), ktoré je v tesnej blízkosti štitovej steny. Kotolňa je častočne situovaná pod terénom, čo zlepšuje hlukové pomery v jej okolí

#### Normativne požiadavky a hygienické kritériá

Podla Vestníka MZ SSR č. 14/77 [4] je maximálna prípustná hladina hluku vo vnútri obytnnej budovy cez noc  $L_{A\max} = 30 \text{ dB(A)}$  a pre deň  $40 \text{ dB(A)}$ . Pre vonkajšie prostredie platia hodnoty o  $10 \text{ dB(A)}$  vyššie, tj. cez noc  $40 \text{ dB(A)}$  a cez deň  $50 \text{ dB(A)}$  ( $2 \text{ m}$  od priečelia obytnej budovy). Pri hodnotení nameraných výsledkov musí byť splnená nerovnosť  $L_{A\maxp} > L_{A\max}$ . Len v danom prípade budú splnené požiadavky podľa hygienických kritérií [4].

#### Metodika akustických meraní a meracie prístroje

Metodika akustických meraní bola zvolená v súlade s požiadavkami ČSN 01 1603 [5] a ČSN 35 6870. K meraniu boli použité prí-

stroje Brüel a Kjaer (Dánsko), a to zvukomer 2204, oktaový filter 1613 a vo vymedzenejch prípadoch aj hladinový zapisovač 2305.

Merania boli robené za prevádzky kotolne v jej interieri a v bytoch pri vonkajšej teplote  $t_e = -8$  až  $-10^\circ\text{C}$ .

#### Zdroje hluku

Akustické merania boli robené za prevádzky troch kotlov typ OW-300 ČKD-Buderus-sche Eisenwerke, pričom v kotolni ich je celkovo šesť. Tepelný výkon kotla je  $3,5 \text{ MW}$ . Horáky APH-40-PZ s menovitým výkonom pre kotol asi  $4,09 \text{ MW}$  majú tlak plynu  $20 \text{ kPa} \pm 5\%$  na hrdle horáka.

V miestnosti čerpadiel sú obvykle v prevádzke dve čerpadlá Sigma Závadka typ 200 NHP 365/335-1 LN.

Merania boli robené vo viacerých bodoch  $1 \text{ m}$  od obrysu zdroja hluku, pričom sa merala hladina hluku  $L_A [\text{dB(A)}]$  a hladina akustického tlaku  $L [\text{dB}]$ .

Analýzou teoretických a praktických poznatkov je možné identifikovať hlavné zdroje hluku a príčiny jeho vzniku. Sú to: horáková sústava s ventilátorm, prúdenie plynu z dýz a spaľovací proces v kotloch, únik spalín z kotla do komínového telesa, cirkulačné čerpadlá, kompresory, solenoidové a bezpečnostné ventily atď. O jednotlivých zdrojoch hluku pojednávajú viaceré publikácie a vedecké články [5], [6]. Dôležité je však poznať ich hlukové charakteristiky priamo v prevádzke a tak navrhnuť a realizovať protihlukové opatrenia.

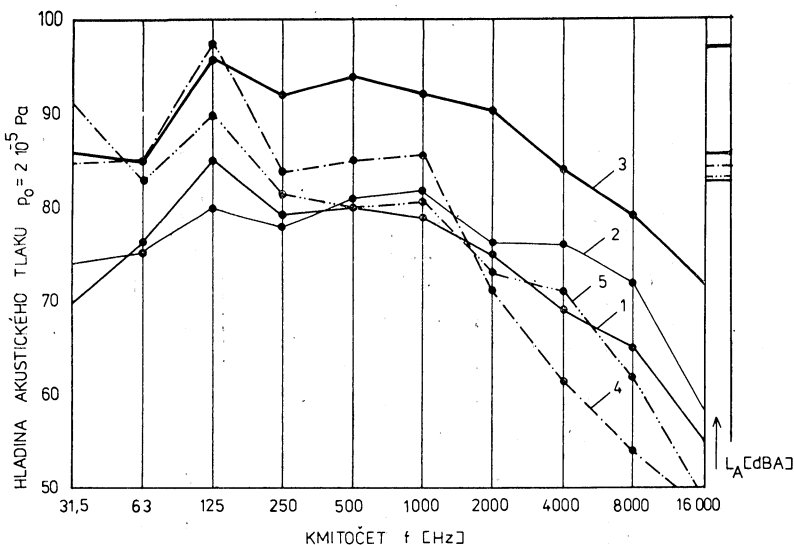
#### Návrh a realizácia protihlukových opatrení

Protihlukové opatrenia boli orientované do troch hlavných oblastí:

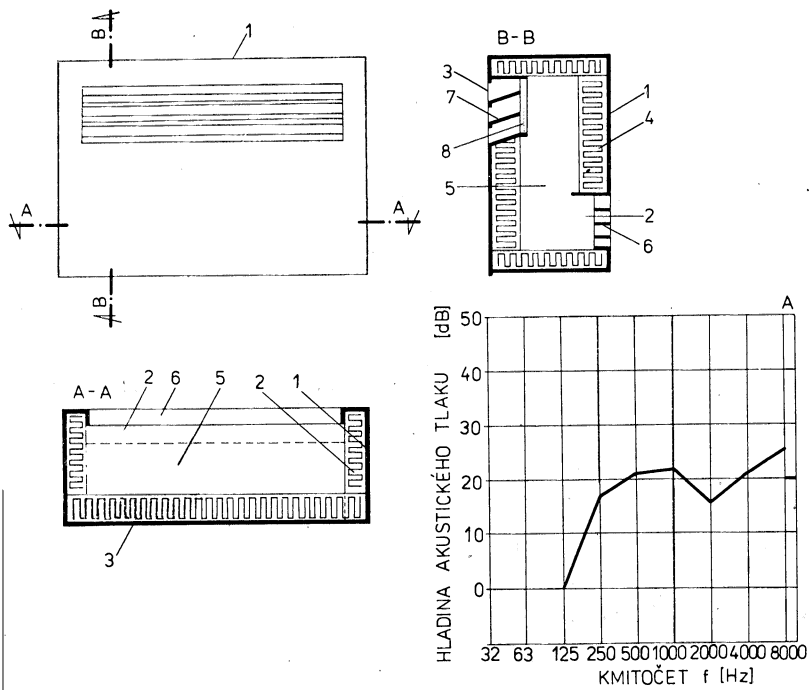
1. Zvýšenie zvukoizolačných vlastností obvodových konštrukcií a zvýšenie celkovej pohltivosti  $A [\text{m}^2]$  vnútorných povrchov.
2. Zniženie hlučnosti technologických zariadení aplikovaním krytov a tlmičov, ale aj správnym osadením týchto zdrojov na základy.
3. Urbanisticko-architektonické situovanie objektu plynovej kotolne ako celku v obytnom rajóne.

Situovanie kotolne vzhľadom k obytným budovám musí zohľadňovať polohu hlavných zdrojov hluku v interieri kotolne (monoblok horáka, ventilátor atď.) a vetracích žaluzií ako aj ďalších otvorov (dvere, montážne otvory, okná atď.), kde je výrazné šírenie hluku do exteriéru (obr. 3).

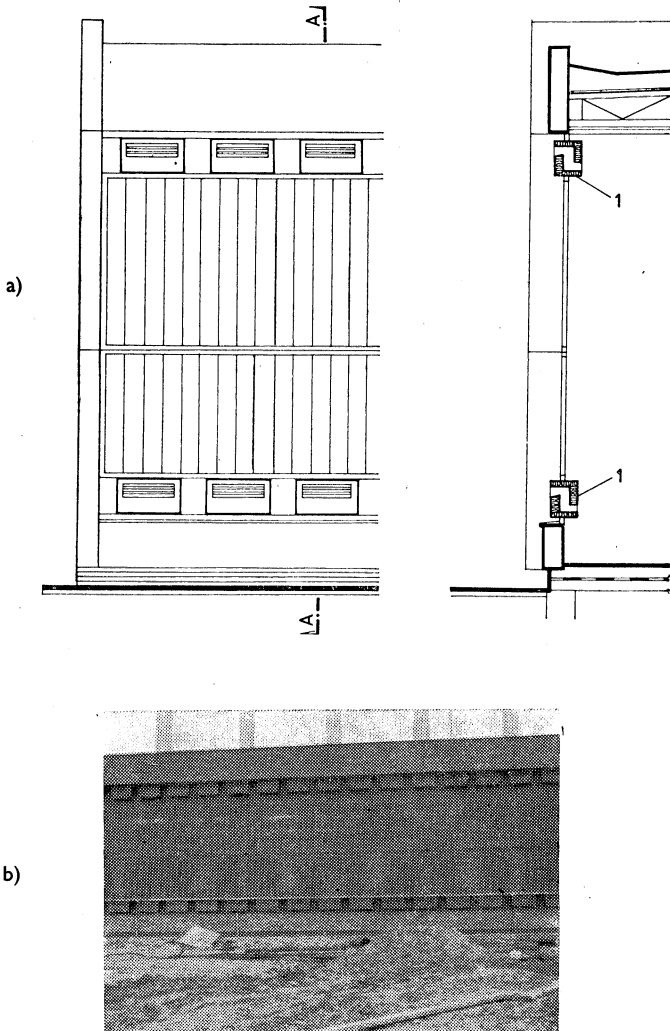
Obvodové steny sú z akustického hladiská riešené ako akustický zložené — pórobetón + copillit. Podla [7] majú byť výfukové steny dimenzované tak, aby na  $1 \text{ m}^3$  kotolne pripadlo  $0,07 \text{ m}^2$  obvodovej steny. V konkrétnom prípade kotolní s objemom  $V = 3840 \text{ m}^3$  je to  $S_s = 270 \text{ m}^2$ . V realizovaných kotolniach je skutočnosť taká, že plocha  $J_s = 1070 \text{ m}^2 \gg 270 \text{ m}^2$ . Z tejto krátkej



Obr. 3. Spektrogram hladín akustického tlaku zistený meraním v priestore kotolne: 1—2 — miestnosť čerpadiel, 3 — monoblok (horák + ventilátor) meraný 1 m od obrysú, 4 — meranie hluku horáka IBZKG typ APH 40 PZ, 5 — ventilátor je za kotlom ČKD Dukla typ OW 300 (1 m od horáka).



Obr. 4. Tlmič nasávania vzduchu so spektrálnym priebehom vložného útlmu: 1 — oceľový plech, 2 — vstupný otvor, 3 — výstupný otvor, 4 — zvukopohltivý materiál, 5 — zvuk — pohlcujúci kanál, 6 — oceľové lamely, 7 — protidaždové pevné lamely, 8 — sietka proti hmyzu a vtákom.



Obr. 5. Copillitová stena s tlmičom nasávania vzduchu: a — pohľad a rez stenou, b — celkový pohľad na realizovanú stenu s tlmičmi.

analýzy vyplýva, že je dôležité presne vyšpecifikovať a funkčne určiť výfukové steny a predurčiť ich orientáciu vzhľadom k obytným budovám (strecha + dlhšia stena postačuje).

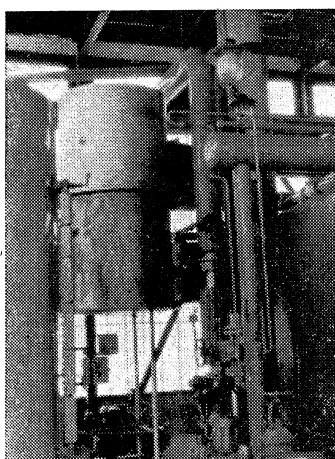
K zlepšeniu zvukoizolačných vlastností copillitovej steny prispieva navrhovaný a realizovaný tlmič nasávania vzduchu (autori: Ing. P. Tomášovič, CSc. a Ing. K. Ružek, Stavoprojekt Bratislava), ktorého konštrukčná skladba a vložný útlm je na obr. 4, obr. 5.

Vizuálny kontakt obsluhy kotolne s jej pre-vádzkou je zabezpečený oknom 1200/1200 mm s trojitém zasklením. Potom hladina hluku

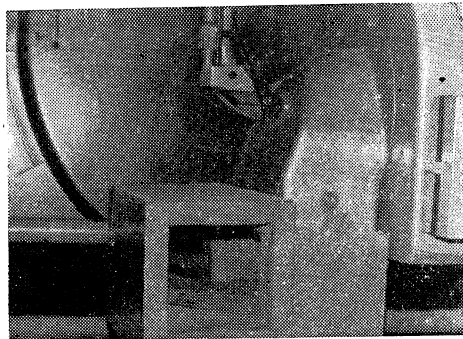
vo velíne je  $L_A = 53 \text{ dBA} < L_{A\max p}$  podľa [4].

Hluk, ktorý sa šíri do priestoru kotolne z telesa kotla a horáka má v spektri výrazné nízkofrekvenčné zložky hladín akustického tlaku (maximum v kmitočte  $f = 125 \text{ Hz}$ ). Komínové teleso, ktoré vplyvom prúdenia spalín (vysoká teplota a rýchlosť) rezonuje, vyžaruje zvukovú energiu opäť s výraznými nízkofrekvenčnými zložkami. V dôsledku toho boli aplikované tlmiče: spalín (osadený za kotol a pred komínové teleso podľa obr. 6) a tlmič nasávania vzduchu do horáka, ktorý je na obr. 7.

Vzhľadom k zvýšeniu celkovej pohltivosti uzavretého priestoru bol strop doplnený akustickým podhladom Akumín (úprava „rybí vzor“).



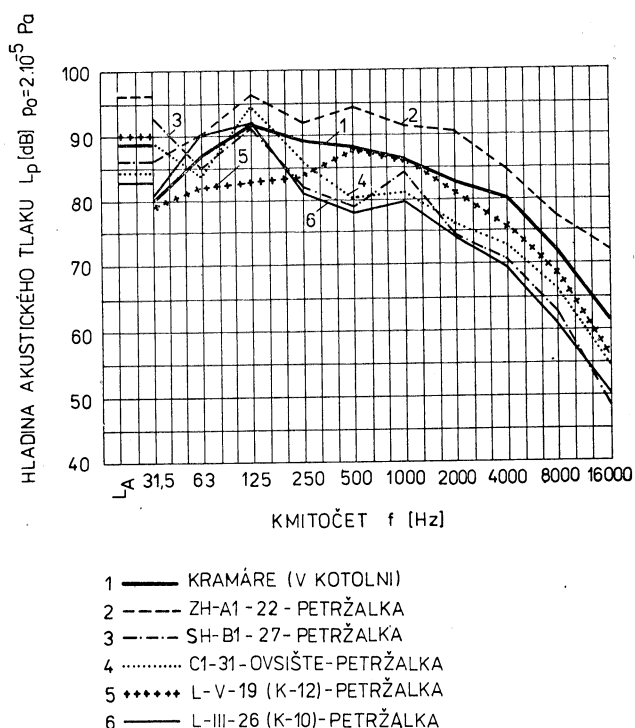
Obr. 6. Tlmič spalín.



Obr. 7. Tlmič nasávania vzduchu do horáka.

### Záver

Akustické merania v plynových kotolniach s protihukovými opatreniami sú dôkazom správnosti riešenia. Pozitívne sa prejavil ich vplyv na zníženie hlukovej záťaže na priečelia obytných budov. Pri aplikácii uvedených tlmičov v prevádzke kotolne nastáva pokles hladiny hluku o  $L_A = 3-10 \text{ dB(A)}$ , čo sa prejavilo



Obr. 8. Spektrogram hladín akustického tlaku v interiéri kotolní (pri rovnakých polohách merania)

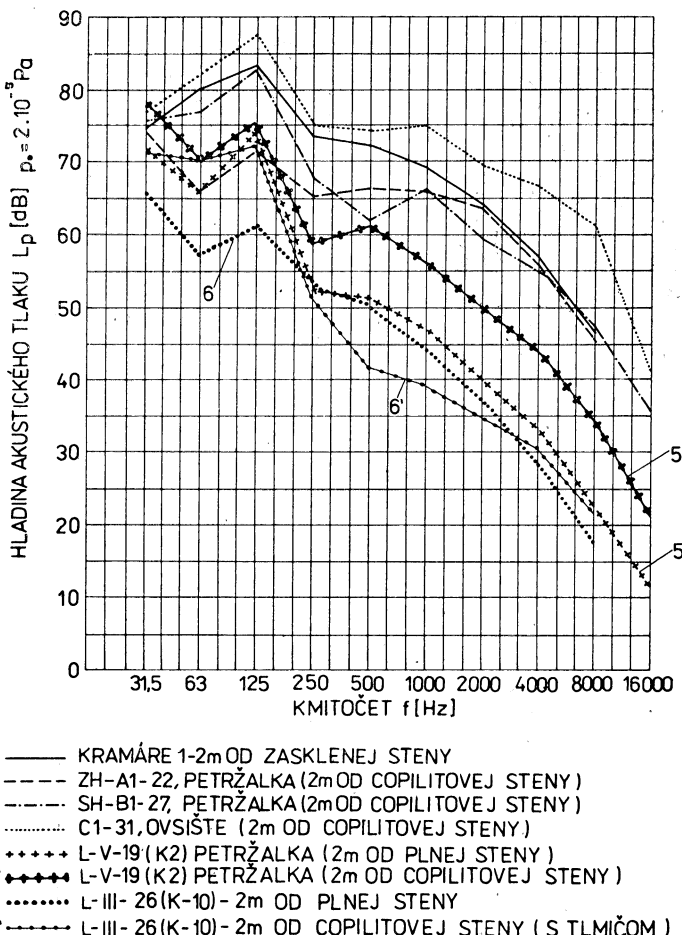
aj v spektri hladín akustického tlaku. Dokumentuje to priebeh na obr. 8.

Výrazný je aj pokles hladiny hluku v charakteristickom bode exterieru kotolne — meranie 2 m od copillitovej steny. Spektrálny priebeh L z viacerých kotolní je na obr. 9.

Ked v danom prípade uvážime aj vplyv

vzdialenosť na útlme hluku  $L$  v dB, potom je nesporný pozitívny dopad daného komplexného riešenia.

V konečnej fáze bol teda realizovaný „projekt“ viacerých odborníkov (aj organizácií), v širokom profesionálnom zastúpení, s cieľom zabezpečiť vhodné životné prostredie.



Obr. 9. Spektrogram hladín akustického tlaku v exterieri jednotlivých kotolní.

## Literatúra

- [1] Halahyja a kol.: Meranie a hodnotenie hluku plynových kotolní v MS — Petrzalka. ES SVŠT, Bratislava 1978, str. 99.
- [2] Halahyja a kol.: Tepelnotechnické hodnotenie objektu BA NKS — I/1 a hlukové pomery kotolní PS a TR — MSP Bratislava. SvF SVŠT Bratislava 1982, str. 63.
- [3] Halahyja a kol.: Posúdenie tepelnotechnických vlastností panelov pri dilatačnej škáre a účinnosť dodatočného zateplenia objektu BA NKS-S. Posúdenie hlučnosti plynových kotolní E-4 (Dubravka), č. 037 (Rača-Záhumenice). ES SVŠT Bratislava 1981, str. 74.
- [4] Vestník MZ SSR č. 14/77 o ochrane zdravia pred nepríaznivými účinkami hluku a vibrácií.
- [5] Némec, J.—Ranendorf, J.—Šnédrl, M.: Hluk a jeho snížování v technickej praxi. SNTL, Praha 1970.
- [6] Heckl, M.—Müller, H. A.: Taschenbuch der Technischen Akustik. Springer Ver. Berlin 1975.
- [7] Zbierka zákonov SSR 36/76, § 5 odsek 4.

## Реализация и результаты противошумовых мероприятий в газовых котельных

Инж. Петер Томашович, к. т. н.

Автор обосновывает значение акустических измерений, приводит методику измерения и результаты технического решения снижения шума в газовых котельных в городском секторе Братислава-Петржалка.

## Realization and results of anti-noise measures in gas boiler houses

Ing. Peter Tomašovič, CSc.

The author explains importance of acoustical measurements, he presents methodology of measurements and examples of a technical solution of noise decrease in gas boiler houses in the town sector Bratislava-Petržalka.

## Realisierung und Ergebnisse der Lärmbekämpfungsmaßnahmen in den Gaskesselanlagen

Ing. Peter Tomašovič, CSc.

Der Autor begründet die Bedeutung der akustischen Messung, gibt die Messmethodik und die Beispiele der technischen Lösung der Lärmverminderung in den Gaskesselanlagen im Stadtviertel Bratislava-Petržalka an.

## Réalisation et les résultats des mesures de sécurité contre le bruit dans les chaufferies à gaz

Ing. Peter Tomašovič, CSc.

L'auteur explique l'importance des mesures acoustiques, il présente la méthode de mesure et les exemples de la solution technique de la diminution de bruit dans les chaufferies à gaz dans le secteur de ville Bratislava-Petržalka.

### ● Dvojsklo DITERM

s dalším sklem v konstrukci (trojsklo) má vytvořit ideální ocelohliníková okna s přerušeným tepelným mostem (od 1973 vyrábí VD Mechanika Prostějov). Nová skla jsou údajně pevná a snadno se udržují. Okna mají samostatné vnější a vnitřní rámy a ty jsou spojené profilem z plastické hmoty, který narušuje tepelný most. Koefficient prostupu tepla zasklení plochy je nižší asi o  $10 \text{ W/m}^2 \text{ K}$ .

Ovšem co bude s denním přírodním světlem? Nepropadneme se do začarovaného kruhu, tj. nebudeme nuteni zvětšovat účinnou okenní plochu a tedy zvětšovat ztráty, budeme-li chtít denní přírodní osvětlení prostoru zachovat v míře potřebné, normované? Světlé ztráty (podle ČSN 36 0035) ve skle se zvětší z 0,85 u dvojitého zasklení na 0,78 u trojitěho (témař o 10 %) a při zašpinění v přízivních podmínkách z 0,76 na 0,70 anebo v nepřízivních podmínkách z 0,47 na 0,42 (vždy o 10 %).

Z toho všechno vyplývá: trojsklo ano, ale s rozvahou! Např. tam, kde lze něco obětovat, kde denní přírodní osvětlení není hlavním nebo kde ztráty či kolísání není na škodu. Ale byty — ty třeba joště uvážit — stejně jako všechna místa, kde nelze zaručit údržbu.

(LCh)

### ● Japonské klimatizační jednotky ovládané mikropočítači

Japonské firmy Mitsubishi a Toshiba nabízejí kompaktní klimatizační jednotky s mikroelektronickou regulací pro kanceláře a obchody. Důvodem k zabudování mikroelektrického ovládání byla úspora energie, zvýšení provozní spolehlivosti, zvýšení komfortu (Mitsubishi) a snížení objemu (Toshiba).

Jednotky Mitsubishi jsou vybaveny těmito regulačními funkcemi:

- dvoustupňovým rychlovýtápěcím systémem,
- energeticky úsporným chlazením,
- automatickou regulací otáček ventilátoru,
- automatickým zapínáním a vypínáním včetně blokování,
- „hypotetickým“ provozem,
- ochranou regulátorů klimatických podmínek.

Snaha výrobce je nyní soustředěna na vývoj levných senzorů teploty, tlaku a vlhkosti s lineární charakteristikou a rychlou reakcí.

Firma Toshiba se zaměřila u svých jednotek, určených především pro malé obchody, zejména na zjednodušení ovládání a na zlepšení funkcí regulátorů větrání. Jednotky jsou nabízeny v šesti typech. Mohou splnit 8 různých provozních podmínek, mezi jiným např. zamezení současného spuštění elektromotoru ventilátoru a elektrického ohříváče.

## ● Počítače nastupují

Jak ukázala výstava ASHRAE v Atlantic City v r. 1983, velcí výrobci vytápění, větrání a klimatizace začleňují počítače do svých výrobků. A tak se očekává, že trh je bude brzy požadovat jako standard.

Tak např. fa CARRIER dodává ke svým výrobkům ovládaným počítačem karty s programem pro různé provozní režimy.

Fa. TRANE pokročila dále. Nabízí zákazníkům přímé napojení na svůj ústřední počítač. Zákazník dostane terminál, s nímž může sám pracovat. Chybějící data si vyzádá z ústředny. Přednosti tohoto způsobu jsou nasadě — starost o data a programy je centralizována.

Počítače začínají také ovládat technologická zařízení. Jako příklad lze uvést stroje fy LOCKFORMER a COMPUDUCT s computerizovanými „autoplotry“, přičemž Lockformer používá na vyřezávání dílů tvarovek svářecí techniku, zatím co Compuduet využívá paprsku laseru.

CCI 4/83

(Ku)

## ● Závazek výrobců klimatizace v NSR

Odborná skupina pro vzduchotechniku při VDMA (Spolek německých strojírenských výrobců) předložila oficiálně spolkovému ministerstvu výstavby závazek výrobců klimatizačních zařízení, který zní:

1. Výrobců klimatizačních zařízení se zavazují stavět klimatizační zařízení s plným respektováním hospodárnosti na základě nejnovějších vědeckých poznatků — tedy hospodárné systémy se zpětným ziskáváním tepla a s potřebnou regulací.

2. Výrobců klimatizačních zařízení se zavazují, že budou podnikat opatření k celkové optimalizaci zařízení z hlediska energie ve vztahu ke stavbě, technickému vybavení i užívání objektu.

3. Výrobců klimatizačních zařízení se zavazují, že připraví potřebné podklady k výpočtu celkové roční spotřeby energie a zdůrazňují, že při rozhodování o nákupu klimatizačního zařízení musí být respektována i spotřeba energie.

4. Výrobců klimatizačních zařízení se zavazují, že ke každému zařízení dodají návod k obsluze a údržbě, který umožní uživateli hospodárný provoz zařízení na základě pravidelné kontroly a údržby.

5. Výrobců klimatizačních zařízení se zavazují, že budou podporovat výzkumné práce na:  
— dalším zlepšení technologie klimatizační techniky,  
— snížení spotřeby energie u klimatizačních zařízení,  
— zvýšení účinnosti komponentů zařízení,  
— optimalizaci systémů, jakož i nasazení regulačních a řídících přístrojů.

6. Výrobců klimatizačních zařízení se zavazují, že provedou příslušná opatření ke zvýšení vědomí odpovědnosti uživatelů zařízení, např. vhodným vysvětlováním v tisku, při obchodních jednáních a v rámci spolupráce s projektanty.

Za účelem konkretizace svých závazků připravili výrobci klimatizačních zařízení plán na snižování spotřeby energie v administrativních budovách v letech 1970—1990 takto:

v r. 1970	spotřeba energie na 1 m <sup>2</sup> užitkové plochy	465 kWh
v r. 1980		295 kWh
v r. 1990		150 kWh

V roce 1990 má tedy být spotřeba energie klimatizované budovy použitím techniky šetřící a zpětně získávající energii na nižší hodnotě než spotřeba energie budovy vytápěné a větrané okny.

CCI 4/83

(Ku)

## BUĎME DOBÝMI HOSPODÁŘI!

Ing. Jiří Frýba

Mnohemu z nás je tato scéna povědomá. Snad jsme ji viděli v televizi, ve filmu, či snad v divadle? Skupina lidí, převážně mužů, sedí v místnosti přeplněné šanony s písí, po zemi a na skříních se vrší stohy složených listů papíru, svázaných do balíků. Stál je pokryt listy popsaných i čistých archů a nesčetnými šálky s kávou, mnohokrát již znovu přinesenou. Ve vzduchu se vleaje oblaka cigaretového kouře. Stranou sedí u svého stolku s psacím strojem vyčerpaná písářka.

Napětí roste. Rozeznáváme dva nepřátelské tábory. Argumenty létají sem a tam. Hlasy se zvyšují, občas dopadne na stůl rozezlená pěst. Odbíhá se k telefonům, přivolávají se posily. Středem pozornosti se stává jakýsi dokument, neustále přisouvaný k někomu, kdo jej odstrkuje od sebe a brání se jej podepsat. O co to jenom vlastně jde? Snad velitel poražené armády nechce přijmout vitézovy podmínky? Nebo snad ten, kdo způsobil škodu nechce potvrdit že ji odčiní?

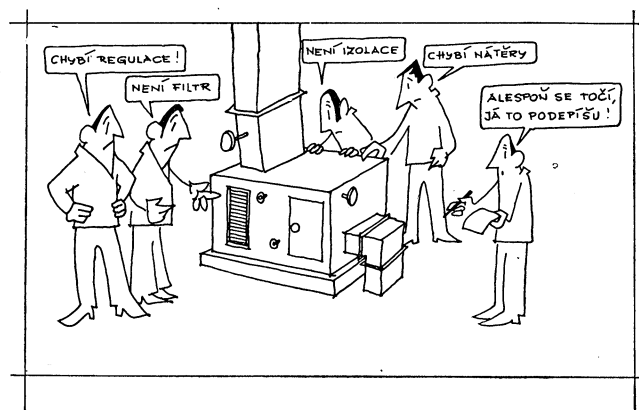
Ale nikoliv, vážení odborní čtenáři. Vždyť i Vý jste možná někdy hráli svou úlohu v této hře, která se nazývá přejímka vzduchotechnických zařízení či zařízení techniky prostředí. Okamžitě je nám vše jasné. Muž, posunující předávací protokol je zástupce dodavatele a ten, který předstírá, že zapomněl vlastní podpis, reprezentuje investora či uživatele, tedy socialistickou organizaci, která vyčlenila své finanční prostředky na pořízení více či méně složitého technického zařízení. A teď se tito dva partneři, kteří se přece po celou dobu výstavby shodovali v názoru, že oběma leží na srdci jen jediný cíl, totiž aby investované prostředky byly vynaloženy co nejúčelněji, aby zařízení fungovalo jako seřízené hodinky, aby co nejlépe sloužilo lidem či výrobě, tito partneři najednou ztratili společnou řeč a dokazují jeden druhému, že špatně vidí.

Že přece klimatizační zařízení bez fungujícího zdroje chladu či s nenamontovanou regulační technikou je hotové a schopné plného provozu či naopak že obsluha, která hledá dveře od strojoven, tāpe mezi ovlaďači, nedostatečnou dodávkou vzduchu, způsobenou ucpaným filtrem dává zcela bezstarostně za vinu třeba projektantovi, brillantně zvládá zálužnosti provozu.

Dlouho se již hraje tato hra. Dost dlouho na to, abychom se přesvědčili o její škodlivosti pro obě sporné strany, pro národní hospodářství, pro celou společnost.

V úvodu tohoto článku si autor dovolil jistou nadšázkou, aby upoutal čtenářskou pozornost. Samozřejmě, že není zdaleka každé přejímaci zařízení či závér zkoušek smontovaného zařízení takto dramatický. Ale nebojme se otevřeně poukázat na příčiny mnohdy neuspokojivého výsledku provozu vzduchotechniky či celého zařízení techniky prostředí právě ze zorného úhlu dokončování výstavby, přejimek a zahajování provozu. Vždyť jde o odstraňování nedostatků, tedy o zájem, prospěšný z hlediska celého národního hospodářství.

Pomněme tedy možné chyby projektu a předpokládejme, že je zdařilý. Výstavba objektu je zahájena a investor její průběh bedlivě sleduje svým stavebním dozorem, tak, jak je jeho povinností. Začíná se montovat vzduchotechnika či komplexní zařízení techniky prostředí. Je i v této etapě investorův dozor stále ještě rovnocenným partnerem montážním organizacím? Rozpozná včas potenciální zdroje budoucích obtíží při provozu kotelny? A chladící soustavy? Zná systémy měření a regulace a dokáže včas upozornit zástupce dodavatele na nesprávné umístěný pohon ovlaďacího členu? Všiml si, že víko zvlhlkovacího dílu klimatizační jednotky nebude možné sejmout, protože je v těsné blízkosti vedeno vodní potrubí? Mnoho otázek, mnoho možných odpovědí, mnoho možných námitek. Jedna z nich, která je nasnadě zejména u investorů netechnické-



ho zaměření zní: objednali jsme zařízení tzv. „na klíč“, a proto mu nemusíme a ani nechceme rozumět. Povinnosti dodavatele je, aby se všech chyb vyvaroval. Ano, poslední věta je v pořádku. Ale co je platné investorovi její připomínání, když náprava chyb stojí čas a další vynaložené prostředky. Není však v pořádku citované prohlášení investortoře či uživatelskou. Vždyť jak hodlá pečovat o provoz drahého zařízení jako řádný hospodář, když mu nerozumí. Může být potom hospodářem řádným?

Prozkoumejme ještě obě alternativy, které na investora čekají po skončení výstavby a převzetí zařízení.

Bud toto zařízení předá jinému uživateli a „jde dál“, tedy je investorem z profes. V druhém případě po přejímce toto zařízení dále provozuje a jeho investorská úloha tedy byla dočasná a dalo by se říci, že byla vyvolána okolnostmi a nutnosti.

Na první pohled je zřejmé, že druhá alternativa je pro vše samotnou lepší. Není přece trapnější situace při závěru stavby, než když se dostane do rozporu profesionální investor s budoucím uživatelem o kvalitu dodávky. Náhle pozorujeme podivuhodnou oscilaci investora kolem pomyslné hranice mezi dodavatelem a uživatelem, když se příklání hned na tu, hned na onu stranu podle okolnosti, robustnosti nervové soustavy, a pevnosti svých zásad. Závěrečná poloha investorova je však předurčena závazným termínem dokončení, což platí zejména u důležitých staveb, jejichž skluz není přípustný, a stojí tu nakonec uživatel jakožto konečný odberatel a provozovatel sám, často „proti všem“. Podpis protokolu, hra končí, opět prohrau.

Kdo prohrál? Zájmy společnosti. S kým? O co se hrálo?

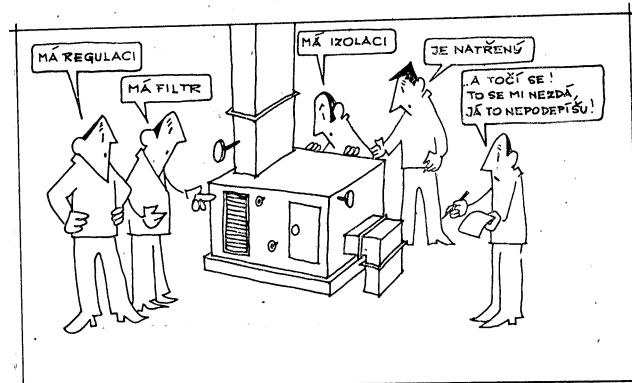
Tedy předeším se vyrovnejme s druhou otázkou. Ve hře byly, jak jsme si již řekli, zájmy společnosti. Nesprávně fungující zařízení techniky prostředí či obecně vzato jakékoliv jiné vadné dílo je trvalým zdrojem škod. Kumuluje se škody hospodářské, škody na zdraví lidí, poškozuje se životní prostředí ve svém celém komplexu, vznikají konec konců i škody politické. Není snad nutné zdůrazňovat, že jde o mnoho. Stojí jistě každému z nás za to angažovat se takovým směrem, aby rozsah této škod byl omezen, nebo, aby byly, pokud možno, zcela vyloučeny.

Kdo však byl vítězem v tomto fiktivním střetnutí? Nikdo. Zdánlivě ten, kdo si odnesl podepsaný protokol, nechal si zaplatit mzdu a její další pohyblivé složky a nabyl mylného dojmu, že svou věc dělá správně. Poté třeba přišel domů a vypravil své dítě do školy v přírodě, aby nabyla opět dobrého zdraví, nyní ohroženého znečištěným ovzduším (prý v blízkosti nefunguje v průmyslových závodech odlučovací zařízení). A telefonem se dověděl, že zdravotní stav jeho matky, která se zotavuje v nemocnici po úspěšné operaci se náhle zkomplikoval (prý tam byly nějaké problémy s klimatizací operačního sálu). Snad vytane na mysl, že i v těchto případech někdo vítězně zamával podepsaným předávacím protokolem. Fantazie může vykonstruovat bezpočet takovýchto modelových situací. My bychom je však měli ze života vymýtit.

Nejjednodušší bylo použítí univerzální metody: odstraníme příčinu, nevznikne následek. Jenže v tomto případě tento mechanismus tak snadno nefunguje. Mezi příčinami nacházíme předeším lidský faktor, který odstranit nemůžeme. Rozhodující je samozřejmě úroveň řízení, ale také další okolnosti: kvalifikace, dále pak kvality morální: odpovědnost, poctivost, sebekritičnost. Takže se nabízí metoda zpětné vazby: zařídit to tak, aby se prostoře nevyplatilo být neodpovědný, nepoctivý, nešikovný, aby se pokus o obejít plnění povinnosti obrátil proti experimentátorovi samotnému.

Což tedy zorganizovat proces tvorby projektu, výroby, montáži, investorské činnosti ale i provozování tak, aby konečný efekt celého tohoto složitého řetězce přímo ovlivňoval všechny jeho články?

Utopická vize: má se postavit nemocnice. Její části budou klimatizované. Investor celé stavby objedná zaručené parametry mikroklimatu (nikoliv zařízení techniky prostředí) u příslušného dodavatele. Ten příslušné zařízení vyprojektuje, vyrobí, smontuje, v průběhu montáže bude dbát na její bezchybný průběh, uvede zařízení do provozu a bude je nadále provozovat a udržovat. A bude pravidelně připisovat na svůj bankovní účet příslušnou sumu za tyto služby. Budou perfektní. Zařízení bude dokonale znát, bude disponovat odborným týmem projektantů, výrobních pracovníků i montážníků. Nepodaří-li se dílo, bude v rámu celé této organizace chybou napravit. Eventuálně pozastavená platba na zmiňovaný



*účet musí v každém případě ztenčit něči výplatní sátek. Konec vize.*

Autor článku nemá za zlé čtenářům, kteří ho nyní považují za fantanstu či se domnívají, že tento článek napsal v přestávce mezi poskytováním zvláštního ošetření. Je nyní rozšířeným zvykem ptát se „je to možné?“ tehdy, víme-li že to možné je. Ptejme se tedy. Neargumentujeme tím, že v současné době byla úspěšně smontována řada zařízení, která jsou velmi dobré úrovně a mají všechny předpoklady plnit dobře svou funkci. Ano, zařízení techniky prostředí, namontované do rekonstruovaného Národního divadla a do dostavby jeho okolí je nesporné jedno z nejlepších a vlastně nejlepší, které

autor z tuzemských dodávek viděl. Ale ani jeho montáž se nevyhnula jistým pohnutým okamžikům, které připomínají vymyšlenou scénu v úvodu. A budeme-li dále adresní, stavba stojící svým významem nesporně ve stínu této vizitky dobré práce, kulturní dům v Praze 8 Ďáblicích, se mezikrát prodírá opět džunglí potíží, sklužů, nesplněných slibů, všechno toho, co už se toleruje opakovalo. Ostatně, na toto téma by mohl zasvěcené hovořit i uživatel donu GŘ ČKD, který stojí na dolní straně Václavského náměstí.

Ríká se, že jedním ze znaků intelligence je schopnost poučit se z vlastních chyb a neopakovat je. Budeme proto inteligentní, abychom byli dobrými hospodáři.

### • Svítidla a světelné zdroje v NSR

Tak, jak výroba světelních zdrojů trvale plynule mírně stoupá (okolo 10 % ročně), tak výroba svítidel mírně klesá. U výroby zdrojů se zvolna projevuje vliv využití nových generací nízkotlakých výbojových zdrojů aj. Z kmenového sortimentu stoupala více poptávka po žárovkách (3/5), méně po výbojkách (2/5). U svítidel setrvává výroba bytových a venkovních svítidel (více se obnovují anebo se více ničí), u průmyslových svítidel se více šetří (udržuje).

Předpovědi jsou však zdánlivě jasné: na trhu se udrží svítidla otevřená, zrcadlené hlubokozáříče (pro těžký průmysl) a svítidla s mřížkami. Zvláště to budou výbojková svítidla pro menší příkony zdrojů (splňují požadavky ekonomie provozu), pro nízkonapěto-

vé halogenové žárovky (italská výroba), svítidla pro pracoviště s displeji a také trubicové (přímkové) soustavy pracovního i dekorativního charakteru, kombinované s bodovými svítidly; ty splňují požadavky modernosti (Licht 6/84).

V této souvislosti je zajímavé zjištění hlavního poradenského střediska pro využití energií v NSR: z celkové spotřeby elektrické energie v domácnostech připadá na osvětlení 8 %, na chlazení 9,6 %, na televizi 6,4 %, na praní 8,5 %, na elektrické sporáky 15,1 %, na mrazničky 13 %, na myčky nádobí 7,7 % a na výrobu horké vody (ohřev) asi 25 %.

Osmiprocentní spotřeba elektrické energie na světlo není malá a spolu se svítidly je určitým měřítkem životní úrovně.

Möbel Kultur 7/83

(LCh)

## NOVÉ CHLADICÍ JEDNOTKY ČKD CHOCEŇ

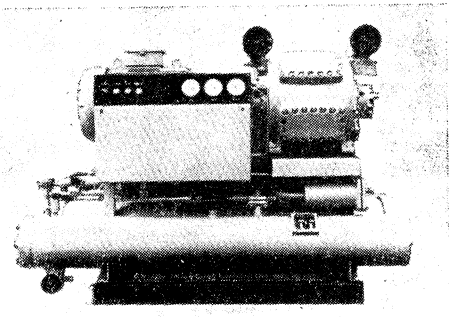
*Ing. Zdeněk Čejka, OSc.*

Od roku 1982 se realizuje v závodě ČKD Choceň inovace výrobního programu freonových chladicích jednotek. Zkončila výroba úplných chladicích jednotek pro chlazení kapalin BWW a kondenzačních jednotek KWF s vodou chlazeným kondenzátorem a začala výroba nových typů s větším počtem členů typových řad a s větším výkonovým rozmezím. Byl rozšířen i sortiment o výparníkové jednotky pro chlazení kapalin určených pro připojení ke vzduchem chlazenému kondenzátoru a jednotky pro chlazení kapalin, jejichž součástí je jak vzduchový, tak vodní kondenzátor, které mohou být umístěny ve venkovním prostředí.

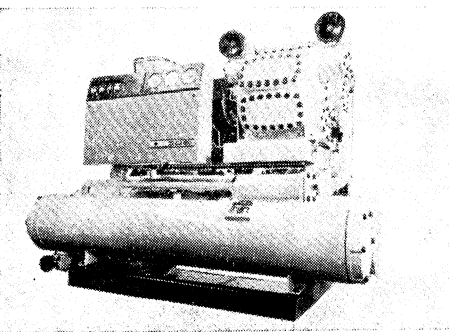
*Úplné chladicí jednotky pro chlazení vody řady CJ*

Přímou náhradou za jednotky BWW jsou jednotky CJ. Používají ucpávkový čtyř a osmiválcový kompresor UB, nebo dva bezucpávkové osmiválcové kompresory BB, kotlový kondenzátor s trubkami z barevných kovů, kotlový výparník s měděnými trubkami a další prvky pro ovládání a jištění chodu zařízení. Jednotky pracují s chladivý R 12 nebo R 22. Pracovní rozsah jednotek s R 12 zahrnuje kondenzační teploty až do 70 °C, což umožňuje použít jednotky ve funkci teplných čerpadel s výstupní teplotou ohřívané kapaliny asi do 65 °C. S chladivem R 12 pracují jednotky 12 CJ 50; 12 CJ 100 a CJ 200.

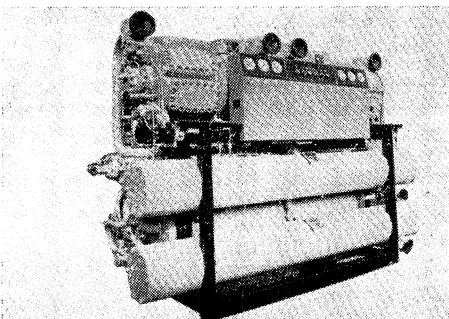
S chladivem R 22 jednotky 22 CJ 75; 22 CJ 150 a CJ 300. Jednotky jsou vybaveny ruční regulací výkonu ve stupních podle typů až od 12,5 % do 100 %. Automatickou regulací je možno jednotky vybavit po dohodě s výrobcem. Použití jiné kapaliny než vody je také možné, změní se však výkonové parametry a je nutno brát ohled na možnost korozivního napadení materiálu výměníků tepla teplonosnou látkou.



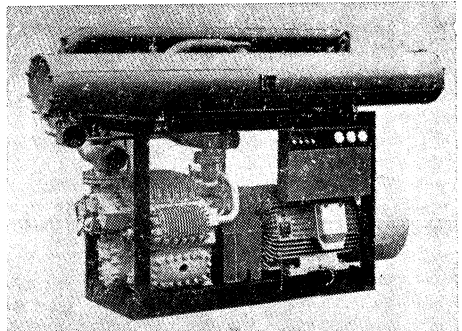
Obr. 1. Úplná chladicí jednotka 12 CJ 50.



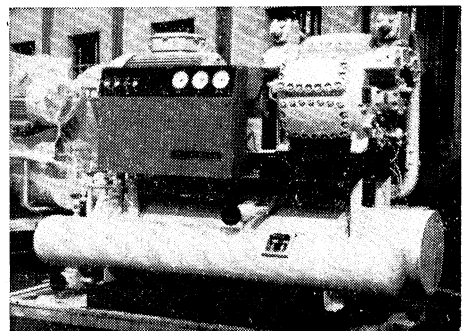
Obr. 2. Úplná chladicí jednotka 22 CJ 150



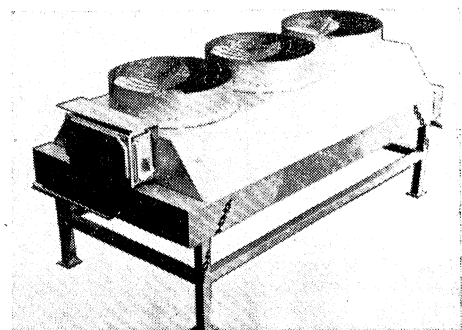
Obr. 3. Úplná chladicí jednotka CJ 300.



Obr. 4. Úplná chladicí jednotka 22 UN 355.



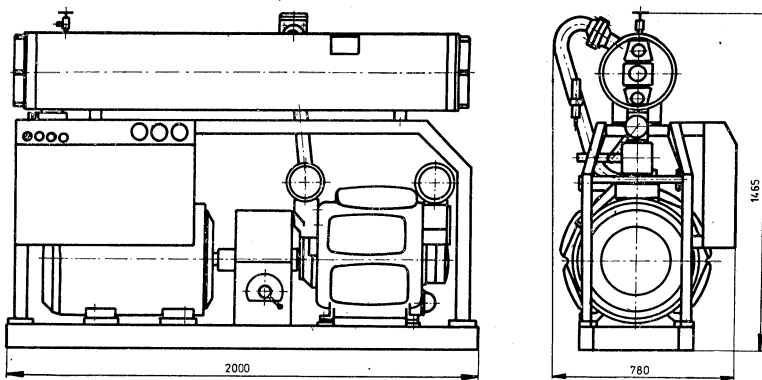
Obr. 5. Výparníková jednotka 12 VJ 100.



Obr. 6. Vzduchem chlazený kondenzátor CA 40

#### *Úplné chladicí jednotky pro chlazení vody UN*

Na jednotky CJ navazují výkonově jednotky UN, které se vyrábějí ve dvou typech — 12 UN 250 s chladivem R 12 a 22 UN 355 s chladivem R 22. Jednotky používají osmivalcový kompresor NF 811, který má vzhledem k nižším pracovním otáčkám (960 ot/min) vyšší životnost asi o 50 % než kompresory používané v jednotkách CJ. Jednotky UN



Obr. 7. Kondenzační jednotka 12 KJ 100.

jsou přímou náhradou za zařízení KBP, které bylo vyráběno závodem ČKD Komprezory. Koncepčně jsou jednotky UN podobné CJ, pouze v prostorovém uspořádání se na první pohled liší umístěním výměníků tepla nad kompresorem. Jednotky jsou vybaveny stupňovitou regulací výkonu od 25 % standardně dodávanou regulací ruční. Vzhledem k pevnostnímu dimenzování aparátů je možno jednotky UN použít i ve funkci tepelného čerpadla s max. výstupní teplotou vody asi 65 °C (s chladivem R 12). Výkony úplných chladicích jednotek jsou v tabulce udávány při chlazení vody z 10 °C na 5 °C při kondenzační teplotě 40 °C a vstupní teplotě chladicí vody 23 °C.

#### Výparníkové jednotky VJ

Výparníkové jednotky VJ jsou odvozeny od jednokompressorových jednotek CJ, u kterých je vodní kondenzátor nahrazen sběračem kapalného chladiva a jednotka se připojuje ke vzduchem chlazenému kondenzátoru. Ve výrobním programu závodu je freonový kondenzátor CA 40, který byl vyvinut pro jednotky VJ. Podle provozních podmínek se k dané výparníkové jednotce volí potřebný počet kondenzátorů CA 40. Řada jednotek VJ obsahuje čtyři typy — dva s chladivem R 12 (12 VJ 50 a 12 VJ 100) a dva s chladivem R 22 (22 VJ 75 a 22 VJ 150). Jeden kondenzátor CA 40 je vhodný pro nejmenší typ jednotek — tj. 12 VJ 50. Největší jednotce je možno pro celoroční provoz přiřadit tři kondenzátory CA 40. Výparníkové jednotky jsou určeny pro chlazení kapalin do provozů s nedostatkem vody, přičemž vzduchový kondenzátor nahrazuje okruh chladicí vody s mikrověží, který by bylo nutno použít při kondenzaci ve vodním kondenzátoru. Chladicí výkony výparníkových jednotek jsou udávány při chlazení vody z 10 °C na 5 °C při kondenzační teplotě 40 °C a podchlazení kapalného chladiva z kondenzátoru o 10 K.

#### Kondenzační jednotky KJ

Tento druh jednotek je také odvozen od jednotek CJ a je určen pro přímé chlazení

vzduchu nebo jiných plynů. Kondenzační jednotka obsahuje kompresorové soustrojí UB s elektromotorem nakrátko, vodní kondenzátor a příslušné ovládací a jisticí prvky. Jednotky jsou konstruovány pro chladiva R 12 i R 22 a podle provozních podmínek

Tab. 1.

Typové označení jednotky	Chladicí výkon [kW]	Příkon elektromotoru [kW]	Hmotnost [kg]
12 CJ 50	50	15	1 170
22 CJ 75	79	22,2	1 250
12 CJ 100	100	30,8	1 600
22 CJ 150	150	42,2	1 730
CJ 200	194	60	2 933
CJ 300	300	85	2 933
12 UN 250	240	64	4 300
22 UN 355	379	100	4 700
12 VJ 50	48	14,3	1 125
22 VJ 75	77	22,1	1 200
12 VJ 100	96	28,5	1 380
22 VJ 150	144	44,2	1 500
12 KJ 47	31	12,3	875
22 KJ 71	53	19,7	950
12 KJ 95	62	24,5	1 220
22 KJ 140	105	38,4	1 340
CJA 50 Z	47,5	14,2	1 600
CJA 75 Z	77	22,1	2 000
CJA 100 Z	95	28,5	2 100
CJA 150 Z	144	44	3 000

tvoří řadu se čtrnácti typy, které se liší pracovním rozsahem. Rozsah vypařovacích teplot od  $-25^{\circ}\text{C}$  do  $+10^{\circ}\text{C}$  a kondenzačních od 20 do 70 °C umožňuje typovou řadou zabezpečit jak chlazení vzduchu, tak také použití ve funkci tepelného čerpadla pro ohřev vody. Kondenzační jednotky se připojují k některému typu chladiče vzduchu — z výroby ČKD

Choceň jsou to chladiče ACF. V tabulce jsou uvedeny jmenovité výkony kondenzačních jednotek při vypařovací teplotě  $-10^{\circ}\text{C}$  a kondenzační  $+40^{\circ}\text{C}$ . Jsou uvedeny jen ty jednotky, které jsou pro dané podmínky určeny.

#### *Úplné chladicí jednotky pro chlazení kapalin i vytápění CJA Z*

Jednotky CJA Z jsou určeny pro chlazení kapalin v celoročním provozu v místech s nedostatkem vody, přičemž je kondenzační teplo odváděno do vzduchu ve vzduchovém kondenzátoru, který je součástí jednotky.

V případě potřeby teplé užitkové vody pro vytápění nebo jiné technologické účely je jednotka vybavena i vodním kondenzátorem, který pak přejímá funkci vzduchového kondenzátoru. Jednotky jsou vybaveny ovládáním i silovým rozvaděčem a je s nimi uvažováno i do volného prostoru — např. na střechu budovy. Řadu jednotek tvoří čtyři typy — dva s chladivem R 12 a dva s chladivem R 22. Od roku 1984 je zatím vyráběn nejvýkonnéjší typ — CJA 150 Z, který pracuje s chladivem R 22. Chladicí výkony jednotek uváděné v tabulce jsou udávány při chlazení vody z  $10^{\circ}\text{C}$  na  $5^{\circ}\text{C}$  při teplotě vzduchu  $25^{\circ}\text{C}$ .

## ROZDĚLENÍ VZDUCHU V MÍSTNOSTECH ŠETŘÍ ENERGIÍ

*Dr. Ing. György Makara*, vedoucí výzkumu klimatizace fy. Fütbör zveřejnil v časopise CCI č. 3/83 zajímavý článek, z něhož vyjímáme:

Na základě známé zkušenosti, že ve vytápěných místnostech stoupá teplý vzduch vzhůru, provedli u fy. Fütbör v Budapešti za vedení autora článku více než 100 modelových pokusů, za účelem dosažení co nejrovnorovnoměrnějšího rozdělení teploty vzduchu po celé výšce místnosti, protože tím současně je možno dosáhnout úspor na teple.

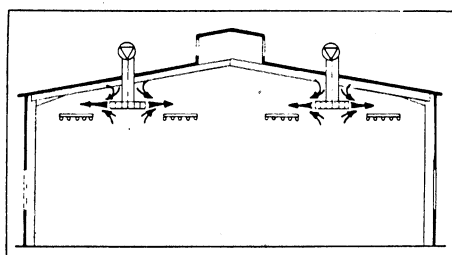
Theoretické výzkumy ukázaly, že je možné ve vytápění místnosti vytvořit inverzní vrstvení vzduchu s negativním teplotním gradientem a že to není v rozporu s fyzikálními zákony. Přitom je třeba si uvědomit, že se jedná o dynamický, kvazistacionární rovnovážný stav, kdy v oblasti pobytu je přiváděna přiměřeně rozdělená tepelná energie, zatímco horní část místnosti je trvale ochlazována. V takovémto případě, jsou-li zdroje tepla dole a nahore prvky na odvod tepla, potom vedle transportu tepla zdola nahoru bude dole v oblasti tepelných zdrojů tepleji a nahore v oblasti odvodu tepla chladněji. Přitom se může v důsledku stoupajících teplých proudů a klesajících chladných proudů vzduchu vytvořit inverzní dynamický rovnovážný stav. Při použití této velmi jednoduchých poznatků může být nalezeno řešení, jak ke zlepšení provozu stávajících, tak i u nově navrhovaných vytápěcích a větracích zařízení, které bude oproti jiným, běžným zařízením ekonomičtější.

Budeme se nejprve zabývat prvky pro odvod tepla:

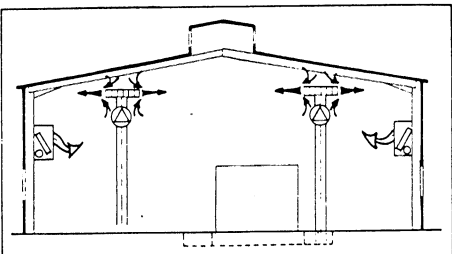
- transmise horních omezujících prvků — strupů, stěn apod. představují přirozené prostředky odvodu tepla, jimiž se za příslušného rovnoramenného rozdělení tepelných zdrojů dá docílit inverzní vrstvení vzduchu,
- vzduch určený pro mechanické větrání místnosti je k dispozici, aby v zimě odváděl teplo zpod stupně, přičemž je třeba zajistit, aby se studený vzduch v horní části dobré promísil a tak nezpůsoboval průvany v oblasti pobytu (obr. 1),
- vzduch pronikající otvory (okny) a netěsnostmi po obvodě místnosti může být pomocí ventilátorů nasměrován nahoru,

což přispěje i k potlačení chladných průvanů v pásmu pobytu (obr. 2),

- může být i nasávání chladný vzduch při venkovních stěnách, který by jinak ochlazoval oblast pobytu a pomocí ventilátorů nasměrován vzhůru.



Obr. 1. Větrání v horní části prostoru (v zimním období).



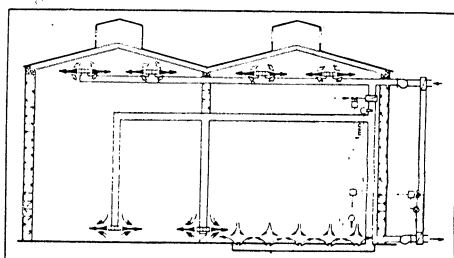
Obr. 2. Vyrovnaní teplot spodním přívodem do horní části haly.

Vytápění spodní části místnosti může být řešeno rovněž několika způsoby:

- sálavým vytápěním oblasti pobytu,
- podlahovým vytápěním,
- vháněním teplého vzduchu s dobrým promísením,
- otopnými tělesy.

Z uvedených možností lze nalézt kombinace, které jsou výhodné z hlediska úspor energie

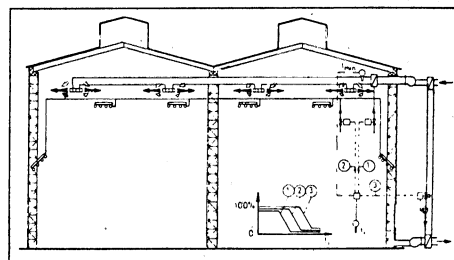
při zachování pohody prostředí v oblasti pobytu. Jedno z řešení, patentované v mnoha zemích spočívá v tom, že v zimě je do spodní části prostoru vháněn teplý vzduch s vyšší teplotou než je požadovaná teplota v místnosti a do horní části chladný vzduch pomocí



Obr. 3. Větrání chladným vzduchem v horní části a teplým vzduchem ve spodní části prostoru (pracovní oblasti).

speciálních vyústek s vysokou indukcí — s vířivým výtokem (obr. 3). Tento systém byl zkoušen ve Výzkumném ústavu stavebnictví v Budapešti na modelu 1 : 10 při variaci řady parametrů. Přitom byl teplý vzduch vháněn do pásmu pobytu, zatímco odvod tepla z horní části místnosti se děl jen transmisemi. Negativního tepelného gradientu bylo dosaženo prakticky při všech variantách a ve srovnání s tradičním vytápěním teplým vzduchem se i za relativně nepříznivých podmínek ušetří 5 až 9 % energie při zachování pohody prostředí.

U vysokých hal je možno dosáhnout až 25 % úspory energie jiným systémem (patentovaným autorem článku), který tvoří kombinace sálavého a teplovzdušného vytápění (obr. 4). Podstata spočívá v tom, že prostor je vytápěn sálavým vytápěním, zatímco přiváděný vzduch v zimě je veden přes vyústky s vysokou indukcí do horní části prostoru o nižší teplotě, než je teplota oblasti pobytu. Výkon teplovzdušného a sálavého vytápění jsou sekvenčně regulovány, aby se využilo předností obou systémů. V důsledku nižší potřebné



Obr. 4. Sálavé vytápění kombinované se sekvenčně regulovaným ohřevem vzduchu přiváděného do horní části prostoru.

teploty místností a příznivého rozdělení teplot při sálavém vytápění jsou nejen nižší transmisní ztráty, ale i množství energie potřebné k ohřátí vzduchu. Tento systém je výhodný u hal s vysokými výměnami vzduchu.

Kubiček



## • Veletrhy svítidel

Pohled do dílen designérů a výrobců zprostředkují především veletrhy — a lze tam vidět mnoho zajímavého: někdy zásadního z hlediska vývoje, jindy současně „nového“ a ovšem i výrobky s kratičkým životem.

Salon International du Luminaire (Paříž, leden 1983 — Licht 4/83) umožnil současný pohled do francouzských, italských a západoněmeckých dílen. K nejzajímavější patřila nabídka svítidel pro novou generaci malých zářivek. Zdroje PL Philips používají již stovky modelů zvláště pro místní osvětlení pracovních míst. Zdroje SL Philips a Cireloux Osram si také našly své designéry a s nimi nové tvary krycích skel přírodních i umělých. Italské konstrukce stále ještě bohatě využívají nízkonapěťových halogenových žárovek ve svítidlech s vlastním transformátorem. Zatím se nenašel výrobce, který by vyrobil svítidla výrazně nepřímá. Barevně převládají pastelové tóny, neodbytně se však hlásí období základních barev (jako směr trendu).

20. skandinávský veletrh osvětlení (Göteborg, leden 1983) navazuje na Paříž a je veden střízlivě v duchu severského stylu. Je výrazně orientován na nabídku ze skandinávských zemí. Specialitou tohoto veletrhu byla nabídka svítidel pro pracoviště s displeji — jinak nevybočila z obvyklých mezi v rámci bytu a ztvárnění jeho prostorů. Mnoho svítidel má téměř strohý design, zato bohatství materiálů: silně je zastoupeno proutí, ale i len aj., potom kovy. Na stínidlech převládají textilie, barevnost stále ještě světlá, pastelová. Postupně se zvětšuje účinnost i dekorativních svítidel a takto získané energetické úspory se považují za významné.

(LCh)

## • Vysokotlaké sodíkové výbojky

jsou moderní světelné zdroje: jsou výkonné a účinné (proto žádoucí), ale ještě zřejmě delší dobu se s nimi budeme zabývat — správněji s jejich barvou světla, a to více, než výrobci předpokládali a některí dokonce jsou ochotni připustit.

V zahraničí se vysokotlaké sodíkové výbojky dosud neprosadily tak, že by převládly (LD & A USA, 1982/8). Důvodem je značný pokles energeticky-ekonomického tlaku, když energetická krize byla prakticky brzy zvládnuta, resp. když cesty úspor byly nasnímrovány do správných oblastí. Trvající námitky proti barvě světla při dostatku „bílých“ zdrojů nelze pominout. Jedním z pokusů prorazit bariéru nezájmu jsou dvouzdrojová svítidla, osazovaná halogenidovou a sodíkovou výbojkou. Přitom bílého světla se přimíchává menší množství — kolik, kolik je skutečně třeba. In-

stalace jsou ve stadiu zkoušek v praxi. Vedle barevného podání se mnoho pozornosti věnuje světelné účinnosti a tedy ekonomii provozu.

Jinou cestou postupují ti, kteří chtějí vysokotlaké sodíkové výbojky používat v prostředí barevně upraveném pro tento zdroj. Zkoumá se (LD & A USA, 1983/1) vliv barevnosti na optickou teplostu (prostředí barevně teplé nebo studené), hledají vhodné činitele odrazu pro jeden a pro více zdrojů — to vše cestou experimentů a paralelně pomocí počítače.

Praktické výsledky obecné platnosti dosud neexistují.

(LCh)

## • ON 12 0045 Odprašování při dopravě a úpravě surovin v provozech hutnické železa. Směrnice pro projektování a navrhování

S účinností od 1. 4. 1984 byla vydána nová čs. státní norma, která platí pro navrhování odprašovacího zařízení zdrojů prachu při dopravě a úpravě surovin v provozech hutnické železa. Platí v nově budovaných i rekonstruovaných hutních provozech, a to zejména v provozech aglomerací, vysokých pecí, koksoven, oceláren, energetiky, výroby feroslitin a vápenek.

Text obsahlé 40stránkové normy, zpracované Hutním projektem Praha, je rozdělen do sedmi kapitol: I. Názvosloví, II. Zdroje prachu, vlastnosti surovin a odsávaného prachu, III. Způsoby snižování prašnosti (vlhčení surovin, smácení prachového oblaku, odsávání od zdrojů prachu), IV. Provedení odsávacích zákyrtů (presypy pásových dopravníků, třídiče, mlýny, zásobníky, podávače, korečkové výtahy, polouzavřený prostor), V. Zásady navrhování odprašovacího zařízení (navrhování potrubní sítě a odlučovače prachu, zásadní kritéria pro volbu odlučovacího zařízení, legislativní a technická hlediska, lepivost odsávaného prachu, vliv granulometrického složení prachu, navrhování ventilátorů a elektromotorů a stanovení jejich parametrů, hlučnost a vibrace ventilátoru aj.), VI. Vznětlivost a výbušnost prachu a VII. Požadavky na obsluhu a údržbu odprašovacího zařízení.

(tes)

## ASHRAE Journal 25 (1983), č. 11

- Energy simulation in the building design process (Simulace spotřeby energie v procesu projektování budovy) — *Nall D. H., Crowley D. B.*, 28—32.
- Perspective: Occupant motivated energy management (Perspektiva: Individuální měření spotřeby energie) — *Laube H. L.*, 33—35.
- The application flexibility of the EMCS-DDC combination (Pružnost použití kombinace systému regulace spotřeby energie — přímá digitální regulace) — *Mills S. J.*, 36—38.
- Determination of residential energy conservation cost effectiveness (Stanovení spotřeby energie pro domácnosti a náklady na energii) — *Englund J. S., Flechsig A. J., Cook F. W.*, 42—47.
- ASHRAE cooling load calculation methods (Metody ASHRAE pro výpočet chladicí zátěže) — *Shah D. J.*, 50—56.
- Chiller optimization by energy management control systems (Optimalizace chladiče systémy řízení spotřeby energie) — *Thielman D. E.*, 60—62.

## ASHRAE Journal 25 (1983), č. 12

- Passive cooling strategies (Strategie pasivního chlazení) — *Novell B. J.*, 23—28.
- Passive solar floors (Stropní konstrukce s pasivním využitím solární energie) — *Hager N. E.*, 29—32.
- Solar systems maintenance (Údržba solárních systémů) — *Dubin F. S., Roman K.*, 33—37.
- The tight building syndrome (Syndrom neprodyšné budovy) — *Carlton-Foss J. A.*, 38—41.
- Sensor errors — their effect on building energy consumption (Vliv chyb sensorů na energetickou spotřebu budovy) — *Kao J. Y., Pierce E. T.*, 42—45.
- ASHRAE winter meeting, Jan. 29 — Febr. 1, 1984, Atlanta, Georgia (Zimní zasedání ASHRAE, 29. 1.—1. 2. 1984, Atlanta, Georgia. Program, abstrakta referátů) — 53—56, 58, 60—64, 66, 68, 70, 72—76.

## Haustechnik Bauphysik Umwelttechnik (Gesundheits-Ingenieur) 104 (1983), č. 6

- Ergonomische Gestaltung von Ausbildungswerkstätten für metallverarbeitende Berufe (Ergonomické utváření dílen pro výchovu kádru k pracovním povoláním v kovoprůmyslu) — *Hahne H.*, 269—276.
- Vereinfachte Ermittlung von Mindestfenstergrößen für Wohnräume (Zjednodušené zjištění nejménších velikostí oken pro obytné místnosti) — *Brandt H. J.*, 276.
- Chlordioxid — Eine Alternative zur Chlorung bei der Wasseraufbereitung (Kysličník

chloričtý — alternativa k chlorování při úpravě vody) — *Rupp H.*, 278, 351—353.

— Ableitung luftfremder und radioaktiver Stoffe aus thermischen Kraftwerken in die Atmosphäre unter Berücksichtigung emissionsmindernder Massnahmen — Kraftwerke mit fossilen Brennstoffen (Odvádění škodlivých a radioaktivních látek z tepelných elektráren do atmosféry se zřetelem na opatření ke snížení emisí — elektrárny na fosilní paliva) — *Lützke K.*, S4/282—S12/290.

— Ableitung radioaktiver Stoffe aus Kernkraftwerken in die Atmosphäre unter Berücksichtigung emissionsmindernder Massnahmen (Odvádění radioaktivních látek z jaderných elektráren do atmosféry se zřetelem na opatření ke snížení emisí) — *Zech J. B.*, S13/191—S19/297.

— Ermittlung der Auswirkungen der Ableitungen radioaktiver Stoffe aus Kernkraftwerken (Zjištování účinků odvádění radioaktivních látek z jaderných elektráren) — *Grassl P.*, S19/297—S22/300.

— Emission luftfremder Stoffe aus Kühlturnen (Emise škodlivých látek z chladicích věží) — *Aurand K., Fischer M.*, S22/300—S27/305.

— Einleitung von Abwässern aus kerntechnischen Anlagen in Vorfluter (Zavedení odpadních vod z jaderných zařízení do hlavního toku kanalizace) — *Rof M.*, S27/305—S32/310, S33/319—S34/320.

— Möglichkeiten der messtechnischen Erfassung von Schadstoffen aus kerntechnischen Anlagen (Možnosti zjištování škodlivin z jaderných zařízení měřicí technikou) — *Winkelmann I.*, S35/321—S44/330.

— Schallemissionen von Kernkraftwerken (Emise zvuku jaderných elektráren) — *Müller H. M.*, S44/330—S51/337.

— Stand der nuklearen Entsorgung in der Bundesrepublik Deutschland und zu erwartende Emissionen bei der in Bayern geplanten Wiederaufarbeitungsanlage (Stav likvidace nukleárních odpadů v NSR a očekávající se emise u zařízení pro zásobování provozu jaderné elektrárny, které se plánuje v Bavorsku) — *Specht S.*, S52/338—S57/343.

— Verbrennung von radioaktiven Stoffen — Verfahrenstechnik und emissionsmindernde Massnahmen (Spalování radioaktivních látek — technika postupu a opatření ke snižování emise) — *Laser M.*, S58/344—S64/350.

## Heating, piping, air conditioning 55 (1983), č. 11

— Heat recovery from industrial refrigeration systems (Zpětné získávání tepla z průmyslových chladicích systémů) — *Cole R. A.*, 39—44, 91—98.

— Fundamentals of flow in domestic water systems (Hydraulika systémů zásobování

domácností vodou) — *Steele A.*, 47—50.  
— Geothermal heating (Vytápění pomocí geotermální energie) — *Austin J. C., Fettkether L. M.*, 58—62.  
— Atmospheric cooling retrofit (Chlazení vzduchu) — *Winger P.*, 64—65.  
— Ventilation air control in HVAC systems (Regulace spotřeby vzduchu u systému vytápění, větrání a klimatizace) — *Nordeen H.*, 71—74, 79—80.  
Energy management in a nuclear physics laboratory (Spotřeba energie v laboratoři jaderné fyziky) — *Millman H.*, 85—86, 88.  
— Alkalinity control (Regulace alkalinity vody) — *Haines R. W.*, 109, 111.

#### Heizung und Lüftung — Chauffage et ventilation 50 (1983), č. 4

— SIA-Empfehlung 384/2 — Wärmeleistungsbedarf von Gebäuden. Berechnung der Lüftungsverluste für den Raum und das Gebäude (Doporučení SIA č. 384/2 — Tepelný příkon budov. Výpočet ztrát v důsledku přirozeného větrání pro místnost a budovu) — *Rickenbach B.*, 9—13.  
— Heizflächendimensionierung für teilweise eingeschränkten Betrieb bei Wohn- und Ferienhäusern (Stanovení velikosti výhrevních ploch pro částečně omezený provoz u obytných a prázdninových domů) — *Esdorn H.*, 14—24.  
— Puissance thermique nécessaire dans les bâtiments (Potrebný tepelný příkon v budovách) — *Rickenbach B.*, 25—28.  
— Erste Betriebsfahrungen mit einer alternativen Teilklimaanlage und einfacherem Luftwechsel in Büroräumen (První provozní zkušenosti s alternativním dílcem klimatizačním zařízením a jednoduchou výměnnou vzduchu v kancelářských místnostech) — *Stadler A.*, 28—30.

#### Heizung und Lüftung — Chauffage et ventilation 50 (1983), č. 5

— Réflexions sur le calcul de prix (Úvahy k výpočtu nákladů) — *Venezia D.*, 11—14.  
— Der Jahresmessenfehler von Wärmezählern, Vorschlag eines Prüfverfahrens (Chyba v ročním měření počítadel tepla; návrh zkušební metody) — *Ehrbar M.*, 15—17.  
— Heizkostenverteiler nach dem Raumtemperaturverfahren (Zařízení na rozdělení nákladů za vytápění podle teploty v místnosti) — *Becker H. H.*, 18—23.  
— Auswirkung der Druckänderungen an Ansaug- und Ausblasstellen von Lüftungsanlagen mit Über- oder Unterdruckhaltung in den Räumen (Účinek změn tlaku v místech nasávání a výtlaku u větracích zařízení při udržování v místnostech přetlaku nebo podtlaku) — *Hegedüs T.*, 24—27.

#### Heizung und Lüftung — Chauffage et ventilation 50 (1983), č. 6

— Luftbelastung 1982 (Znečištění vzduchu v r. 1982) — 9—12.  
— SIA-Empfehlung 384/2 — Wärmeleistungsbedarf von Gebäuden (Doporučení SIA č. 384/2 — Tepelný příkon budov) — *Rickenbach B.*, 15—19.  
— Die Heizung als Geräuschquelle? (Vytápění jako zdroj hluku?) — *Zeugin H.*, 19—22.  
— Technische Klimadaten für die Schweiz (Technické klimatické údaje pro Švýcarsko) — 23.  
— Klimaregionen der Schweiz (Klimatické oblasti Švýcarska) — 24—28.

#### Die Kälte und Klimatechnik 36 (1983), č. 11

— Einsatz von programmierbaren Taschenrechnern zur Auslegung von Gegenstromkühltürmen (Použití kapesních počítačů s programy k dimenzování protiproudových chladicích věží) — *Dirkse R. J. A.*, 524, 526—528.  
— Dachventilatoren (Střešní ventilátory) — *Lexis J.*, 530, 532, 534, 536.  
— Leipziger Messe — 4. bis 10. September 1983 (Lipský veletrh ve dnech 4.—10. září 1983) — 538, 540.  
— Was ist ein Diffusor — wie wirkt er — wo wendet man ihn an? (Co je difuzor — jak působí — kde se používá?) — *Pielke R.*, 542, 544.

#### Die Kälte und Klimatechnik 36 (1983), č. 12

— Jahrestagung des Deutschen Kälte- und Klimatechnischen Vereins, 5. bis 8. Oktober 1983 in Flensburg (Výroční zasedání německého Svazu chladicí a klimatizační techniky; 5.—8. října 1983 ve Flensburgu) — *Wiesner H.*, 578, 580.  
— IKK 83 — 4. Internationale Fachausstellung Kälte-Klimatechnik, Essen, 20.—22. Oktober 1983 (IKK 83 — 4. mezinárodní výstava chladicí a klimatizační techniky v Essenu, pořádaná ve dnech 20.—22. října 1983) — *Pielke R.*, 582, 584, 586.

#### Sanitär- und Heizungstechnik 48 (1983), č. 9

— Weniger Chancen für Installationsfähler (Provoz oběhových čerpadel oddělujících vzduch) — *Nielsen F.*, 718—720.  
— Gefordert: Mehr Mensch und weniger Maschine (Provoz nemocnice v Düsseldorfu zajišťuje více lidí a méně strojů) — *Philippen D. P.*, 721, 723.  
— Heizungs-Know-how für Serienhäuser (Vytápění budoucnosti v typových rodinných domech) — 724.  
— Ein neues Niveau geschaffen (Prof. Kira o designu současných koupelnových zařízení) — 725—733.  
— Die Kunst der Fuge... (Spáry na pravých místech) — *Drum G.*, 734—739.  
— Behandeln wie das alte Eternit-Rohr (Pro-

- blematika eternitových instalačních trub) — *Bockstette J.*, 740—747.  
 — Das Stieffkind anerkennen (Návrh a instalace tlakových větrání) — 748—750.  
 — Anerkannte Regeln der Technik beachten (Dodržujme uznávaná technická pravidla) — *Stohmann F. W.*, 751—752.  
 — Elektrotechnik — Elektronik 19. Teil (Elektrotechnika — elektronika, díl 19) — *Schrawang H.*, 755—758 pokrač.  
 — Hoechst: Technischer Kunststoff für den Gaszählerbau (Firem. sdělení: Umělé hmoty pro plynometry) — 776, 777, 780.  
 — Haas + Sohn: Heizungskomputer für individuelle Regelungsaufgaben (Firem. sdělení: Individualizace tepelného klima) — 782.  
 — DAL: Massstäbe im spültechnischen Sektor gesetzt (Firem. sdělení: Automatizace v armaturách) — 784.  
 — Küchentechnik No. 5 (Příloha „Technika v kuchyni“ č. 5) — K 180—K 224  
 — Das Forum für den Küchenspezialisten in der Küchentechnik (Navrhování kuchyní) — SK 137—SK 143.

#### **Sanitär- und Heizungstechnik 48 (1983), č. 10**

- Vereinfachte Berechnung des Kreisprozesses bei Kompressionswärmepumpen (Zjednodušený výpočet oběhu u tlakových tepelných čerpadel) — *Pöschl J.*, 809—812.  
 — Korrosion in Kalt- und Warmwasserleitungen: Neue Erkenntnisse (SHT — zvláštní sešit: Koro — 4 příspěvky) — 813—828.  
 — Wer bietet was? (Kdo co nabízí? — náhrady ve zdravotní technice) — 831—834.  
 — Schätzahlen für das Modernisierungs-Volumen (Životnost konstrukcí a zařízení pro modernizaci staveb) — 835—837.  
 — Wärmepumpen, Energieverbund und Mehrfachnutzung des Badewassers (Tepelná čerpadla, spotřeba energie a vícenásobné použití koupací vody) — *Saunus Ch.*, pokrač., 838—842.  
 — Sinterit/Laufen: Massgeschneidert für den verkaufenden Sanitärinstallateur (Firem. sdělení: Exklusivní vybavení koupelen) — 858.  
 — Gebhan: Auf Marktbelebunkurs (Firem. sdělení: Textilie do koupelen) — 861.  
 — Hansa: Auch spezielle Problemlösungen (Firem. sdělení: Inovace v armaturách — zdobných) — 864—865.  
 — Sulzer: Erfolgreiche Abwärmenutzungskonzepte (Firem. sdělení: Využívání odpadového tepla) — 868—869.

#### **Stadt- und Gebäudetechnik 37 (1983), č. 8**

- Ein Beitrag zur optimalen Gestaltung von Wohngebietswärmnetzen (Průspěvek k optimalizaci výstavby tepelných sítí v obytných okrscích) — *Meischner R.*, 226—230.  
 — Gestalterische Probleme bei Primäreleitung der Warmeversorgung (I) (Problém výstavby u primárních rozvodů v zásobování teplem — díl 1.) — *Graffunder H., Bärthel H.*, 230—232.

- Bemessung von Sicherheitsventilen für Wasser mit Austrittstemperaturen  $t > 130^{\circ}\text{C}$  (Měření na bezpečnostních ventilech na rozvodech vody s výstupní teplotou  $t > 130^{\circ}\text{C}$ ) — *Glück B., Seidel K.*, 233—234.  
 — Einsatz von Kugelhähnen in Sekundär-Wärmenetzen (Použití kulových ventilů na sekundárních tepelných sítích) — *Lindner L.*, 235—236.  
 — Qualitätsanforderungen an Heizwasser — mögliche Korrosionsreaktionen in Wassergeheizungen (Kvalitativní požadavky na vodu — možné korozivní reakce v rozvodech) — *Mörbe K.*, 237—240.  
 — Wärmebilanz einer Schwimmhalle (Teil 1). (Tepelná bilance kryté plovárny — díl 1.) — *Jessen H. J., Neumann E., Kliem P.*, 240—244.  
 — Zur Wechselwirkung zwischen Fugenlüftung und Transmissionswärmeverlusten von Fenstern (Teil 3) (Působení výměny při větrání spárami a tepelnými ztrátami transmisí u oken — díl 3) — *Petzold K.*, 245—248 dokonč.  
 — Zu den Perspektiven der Produktionstechnologie (K perspektivální produktivní technologie) — *Draeger W.*, 249—252.  
 — Deutung von Gefügeveränderungen bei der Ermittlung technischer Ursachen von Schäden an warmgehenden Anlagen (Výklad změn složení hmot při zjišťování technických příčin škod na teplovodních zařízeních) — *Köhler K.*, 252—253.

#### **Stadt- und Gebäudetechnik 37 (1983), č. 9**

- Schwerpunkte der wissenschaftlich-technischen Politik des Industriezweigs TGA (Těžiště vědecko-technické politiky v oboru TZB) — *Walther H.*, 258—260.  
 — Aufgaben des Industriezweigs TGA bei der weiteren Durchsetzung des energieökonomisch vorteilhaften Bauens (Úkoly oboru TZB při dalším prosazování přednosti výstavby z hlediska ekonomie energie) — *Stocklöw W.*, 260—264.  
 — Wärmeversorgung im innerstädtischen Bauen unter Beibehaltung des Plattenbauweise (Zásobování teplem objektů uvnitř městské zástavby při použití panelových konstrukcí) — *Strobel B.*, 264—267.  
 — Wärmeversorgung grosser Versorgungsgebiete bei Anwendung der direkten Einspeisung (Zásobování velkých oblastí teplem přímým napájením) — *Meyer J.*, 267—270.  
 — Wärmeübertragerstations-Baugruppen aus dem Fertigungsprogramm des VEB Technische Gebäudeausrüstung Wittenberg (Prefabrikované výměníkové stanice z VEB TGA W.) — *Hampel W., Effmert J.*, 271—275.  
 — Entwicklungstendenzen bei Kohlekesseln (Vývojové směry u uhelných kotlů) — *Škorpiol J.*, 275—280.  
 — Weiterentwicklung des Warmwasserinstalation im VEB Kombinat TGA (Vývoj u teplovodních instalací ve VEB Kombinat TGA) — *Erber M.*, 280—284.  
 — Rechentechnische Simulation von Gebrauchswarmwasserbereitungsanlagen mit Solarenergie (Početní simulace pro zařízení na výro-

bu teplé užitkové vody pomocí sluneční energie) — *Weichelt G.*, 284—287.

— Informationen zum Katalog- und EDV-System TGA — Inhalt und Umfang der laufenden Aktualisierungs- und Ergänzungsdienste (Informace ke katalogovému a programovému systému TZB — Obsah a rozsah běžných aktualizačních a doplňkových služeb.) — *Kiese L.*, 287—288, pokrač.

### **Stadt- und Gebäudetechnik 37 (1983), č. 10**

— Zur Durchsetzung staatlicher Richtlinien beim Einsatz fester Brennstoffe in Kesselanlagen (Prosazujeme státní směrnici o použití pevných paliv v kotelnách) — *Bus E. B., Hess R.*, 289—291.

— Vereinfachte Beschreibung des statischen und dynamischen Übertragungsverhaltens von Wärmeübertragern Heisswasser — Warmwasser (Jednoduchý popis statického a dynamického chování tepelných médií horká/teplá voda) — *Schlott S.*, 291—295, pokrač.

— Wärmebilanz einer Schwimmhalle (Teil 2) (Tepelná bilance plavecké haly — díl 2) — *Jessen H. J., Neumann E., Kliem P.*, 295—298.

— Neue Projektierungsgrundsätze für Treppenhäuser des zentralbeheizten mehrgeschosigen Wohnungsbaus (Nové projektové podklady pro navrhování schodišť v ústředně vytápěných vícepodlažních obytných stavbách) — 298—299.

— Neue Armaturen für Heizungs- und Sanitäranlagen (Nové armatury pro vytápění a sanitární instalace) — 300—301.

— Weiterbildung für Ingenieure der Technischen Gebäudeausrüstung (Další vzdělávání inženýrů v oboru TZB) — *Brandt G.*, 303.

### **Stadt- und Gebäudetechnik 37 (1983), č. 11**

— Die Wechselbeziehungen zwischen Thermostatventilen und Heizungsanlagen (Vzájemné závislosti termostatického ventilu a otopené soustavy) — *Blažek D., Valenta V., Macošková L.*, 305—308.

— Vereinfachte Beschreibung des statischen und dynamischen Übertragungsverhaltens von Wärmeübertragern Heisswasser — Warmwasser (Teil II) (Jednoduchý popis statického a dynamického chování tepelných médií horká/teplá voda — díl II) — *Schlott S.*, 308—311.

— Füllstation — ein neues industriell gefertigtes Erzeugnis des Kombinats Technische Gebäudeausrüstung (Čerpací stanice — nový výrobek průmyslově vyrobený v Kombinátě TGA) — *Horway R., Looks J.*, 311—312.

— Wärmebilanz einer Schwimmhalle (Schluss) (Tepelná bilance plavecké haly — dokonč.) — *Jessen H. J., Neumann E., Kliem P.*, 313—315.

— Nichtbegehbarer Abzweigbauwerke für Wärmeleitungen (Nepochůzné prefabrikované odbočky na podzemních tepelných rozvodech) — *Lindner L.*, 316—317.

— Informationen zum Katalog- und EDV-

System TGA — Inhalt und Umfang der laufenden Aktualisierungs- und Ergänzungsdienste (Informace ke katalogovému a programovému systému TZB — Obsah a rozsah běžných aktualizačních a doplňkových služeb — pokrač.) — *Kiese L.*, 318.

— Ordnungsgemäßes Instandhalten der sicherheitstechnischen Ausrüstung von Kesselanlagen (Předpisové dodržování bezpečnostní technické vybavení kotelních zařízení) — *Müller G.*, 319.

— Verschmutzung in Dampferzeugern (Zašpičení vyvječů páry) — *Rudolph U.*, 319—320.

### **Staub Reinhaltung der Luft 43 (1983), č. 9**

— Messtechnische Überwachung gefährlicher Arbeitsstoffe als Grundlage für Entscheidungen über Schutzmassnahmen (Kontrola škodlivých pracovních látek měřicí technikou jako základ pro rozhodnutí o ochranných opatřeních) — 349.

— Rechtsgrundlagen für die messtechnische Überwachung gefährlicher Arbeitsstoffe (Právní základy pro kontrolu škodlivých pracovních látek měřicí technikou) — *Weinmann W.*, 350—352.

— Grundlagen für die Durchführung betrieblicher Messungen sowie die Analyse und Beurteilung gefährlicher Arbeitsstoffe (Základy pro provádění provozních měření jakož analýzy a posouzení škodlivých pracovních látek) — *Wolf D.*, 353—357.

— Kontinuierliche Mess- und Überwachungsverfahren für gefährliche Arbeitsstoffe als Grundlage für Entscheidungen über Schutzmassnahmen (Kontinuální měřicí a kontrolní metody škodlivých pracovních látek jako základ pro rozhodnutí o ochranných opatřeních) — *Guse W.*, 358—362.

— Analytische Bestimmung von metallischen Elementen in Arbeitsplatzstäuben (Analytické stanovení kovových prvků v prachu na pracovištích) — *Fieguth P., Hermann P.*, 362—366.

— Konzentrationen polycyklických aromatischer Kohlenwasserstoffe (PAH) bei Herstellung und Verwendung von Pyrolyseprodukten aus organischem Material (Koncentrace polycyklických aromatických uhlovodíků při výrobě a použití pyrolyzních produktů z organického materiálu) — *Blome H., Baus K.*, 367—372.

— Belastung durch Beryllium beim Bearbeiten berylliumhaltiger Legierungen (Znečištění beryliem při opracovávání slitin, obsahujících berylium) — *Auffarth J.*, 373—374.

— Belastung durch Nickel beim Schleifen und Polieren von Nickellegierungen mit Nickelgehalten unter 80 % (Znečištění niklem při broušení a leštění niklových slitin s obsahem niklu menším než 80 %) — *Heidermann G., Wolf D., Hoffmann E.*, 374—378.

— Acrylnitril-Situation an Arbeitsplätzen bei der Weiterverarbeitung von Polymerisaten (Stav akrylnitrilu na pracovištích při dalším zpracovávání polymeru) — *Wolf D., Buchwald K. E., Ernst W.*, 376—379.

— Gasförmige Schadstoffe bei der thermischen

Verarbeitung von Kunststoffen (Plynne škodliviny při tepelném zpracování plastických hmot) — *Lichtenstein N., Quellmalz K.*, 379—382.

### **Staub Reinhaltung der Luft 43 (1983), č. 10**

— Die Betriebssicherheit von Entstaubungsanlagen beim verstärkten Einsatz fester Brennstoffe (Provozní bezpečnost odprašovacích zařízení při větším použití tuhých paliv) — *Nindelt G., Lukas W., Metzner H.*, 387—391.

— Inertisierung von Staub/Luft-Gemischen mit Inhibitoren (Hašení směsi prach/vzduch inhibitory) — *Szkred T.*, 392—397.

— Massnahmen zum Schutz vor Brand und Staubbexplosionen bei der industriellen Pulverbeschichtung (Opatření na ochranu proti požáru a výbuchům prachu u průmyslových zařízení povrchové úpravy — nanášení nátěrů rozprašováním) — *Liere H.*, 398—402.

— Einfluss der Grossfeuerungsanlagen-Verordnung auf die Emissionen in der Bundesrepublik Deutschland (Vliv uspořádání velkých topenišť na emise v NSR) — *Fluck F. W.*, 402—404.

— Emmissionsmessungen von Kohlenwasserstoffen in den Belastungsgebieten Rhein-Ruhr (Měření imisí uhlovodíků ve znečištěných oblastech Rhein-Ruhr) — *Bruckmann P., Beier R., Krautscheid S.*, 404—410.

— Welche Abgasfahnen-Überhöhungsgleichung erreicht die grösste Wirklichkeitsnähe? (Která rovnice k zjištění vzestupu vleček odpadních plynů se nejvíce přiblíží skutečnosti?) — *Giebel J.*, 411—415.

— Cadmium-Belastung und Prävalenz von Nierenfunktionsstörungen — ist ein kausaler Zusammenhang wirklich erwiesen? (Znečištění kadmiem a většina poruch funkce ledvin — skutečně se prokázala souvislost?) — *Krämer U., Ewers U.*, 415—417.

— VDI-Kolloquium „Sauere Niederschläge. Ursachen und Wirkungen“ (Kolokvium VDI „Kyselé srážky. Příčiny a účinky“) — *Löbel J., Thiel W. R.*, 417—422.

— Betriebswohnung im Industriegebiet (Podnikové byty v průmyslové oblasti) — *Franz O.*, 422—423.

### **Staub Reinhaltung der Luft 43 (1983), č. 11**

— Prüfung der Schadstoffemission technischer Arbeitsmittel (Kontrola emise škodlivých látek z technických pracovních prostředků) — *Kühnen G., Heimann M.*, 429—433.

— Asbestbelastete Innenräume — Analyse und Bewertung des Gefahrenpotentials (Asbestem znečištěné vnitřní prostory — analýza a hodnocení potenciálu nebezpečí) — *Lohrer W.*, 434—438.

— Vergleichsmessungen an optischen Partikelzählern (Srovnávací měření, prováděná na optických počítacích částic) — *Gebhart J., Blanckenberg P., Bormann S., Roth Ch.*, 439 až 447.

— BML-Waldschadenserhebung 1983 — Kausalanalyse ohne Differentialdiagnose? (Zvýšení poškození lesů — analýza příčiny bez diferenciální diagnózy?) — *Ballach H. J., Brandt C. J.*, 448—452.

### **Staub Reinhaltung der Luft 43 (1983), č. 12**

— Untersuchungen über die Belastung von Kokereiarbeitern durch 2-Naphthylamin (Studium záťaze koksárenských pracovníků 2-nafthalénem) — *Blome H., Thielen R. G., Henning M.*, 459—461.

— Daten zur Nahfeldausbreitung von Abgasen aus hohen Quellen (Údaje o šíření odpadních plynů z vysokých zdrojů v blízkém poli) — *Müller M., Schatzmann M.*, 462.

— Langzeit-Äquidensitenstrukturen von Russfahnen zur Ermittlung von Ausbreitungsparametern und Stoffaustauschgrößen (Dlouhodobé ekvidensimetrické struktury sazových praporců ke zjištění parametrů šíření a velikosti výměny hmoty) — *Brötz W., Schönbuscher A., Scheller V.*, 463—469.

— Ermittlung von Emissionen geruchsrelevanter Stoffe im Abgas von Zuckerrübenschmitzelrohrungsanlagen (Zjištování emisí zapáchajících látek v odpadním plynu ze sušicích zařízení rízků cukrové řepy) — *Eidkoff W., Quedke Ch.*, 470—477.

— Olfaktometrische Messungen bei Intensivtierhaltungen — Abschätzung der Verbesserungseffekte nach Einbau von Filteranlagen (Olfaktometrická měření při intenzivní živočišné výrobě — Odhad účinku zlepšení po vestavbě filtračních zařízení) — *Bröker G., Gliwa H.*, 478—481.

— Mikroskopische Routineuntersuchungen des Staubniederschlages (Mikroskopická rutinní šetření spadu prachu) — *Schultz E.*, 482—489.

— Einsatzmöglichkeiten direktanzeigender Messgeräte bei Staubmessungen (Možnosti použití přímých indikačních měřicích přístrojů při měření prachu) — *Arndt R., Fröhlich N., Lehmann E., Schecker H. G.*, 490—494.

### **Svetotechnika 52 (1983), č. 7**

— Issledovanije slepašćej bleskosti avtomobilnyx far (Výzkum oslnujícího jasu automobilových reflektorů) — *Levitin K. M., Ljubarščuk A. V.*, 1—3.

— Analitičeskij metod opredelenija svetopropuskanija okonnoego bloka (Analytická metoda určování světelné propustnosti okna) — *Kirejev N. N.*, 3—4.

— Svetovaja architektura novogo občestvennogo zdanija v Leningrade (Světelná architektura veřejné budovy s universálním sálem v L.) — *Veržickij Ž. M., Paškovskij R. I.*, 4—7.

— O mechanizme vlijanija na adaptaciju svetjašćich poverchnostej boljih rezmerov (Mechanismus liva na adaptaci na světlosť velkorozměrných povrchů) — *Tereškevič S. G.*, 7—8.

— Sniženije respiratornoj zabolеваемости

s pomočju ultrafioletovogo oblučenija (Snižování respiračních onemocnění pomocí UV záření) — *Beljajev I. I., Borodinova A. A., Mamontova N. V.*, 9—10.

— O jedinou sítového obespečení radiacioného režimu sooruzenij dla vyraščivaniya rastenij (Jednotný systém zabezpečování radiace v objektech pro pěstování rostlin) — *Šarupič V. P., Šipilov A. P.*, 10—11.

— Ob ispolzovanii galogenových lamp nakalivaniya pri vyraščivaniyu rastenij (Užití halogenových žárovek pro pěstování rostlin) — *Arbuszova K. S., Žarkov D. G., Malyšev V. V.*, 11—12.

— Metod projektirovaniya jestestvennogo osveščenija gorjačich cechov metallurgičeskikh predpriyatiy (Způsob navrhování umělého, osvětlení v horkých provozech v metalurgii) — *Čikota S. I.*, 13—14.

— Architekturoje osveščenije zreliščnach sooruzenij v Čeljabinske (Architektonické osvětlení cirkusu a divadla v Č.) — *Pimštejn V. G.*, 14—15.

— Montaž elektrostanovočnych ustrojstv v sbornych gipsovych peregorodach (Montaž elektrorozvodnykh zařízení na velkoplošných sádrových příčkách) — *Verner V. V.*, 19—21.

— O typizaci speciałnego technologičeskogo oborudovanija (Typizace speciálních technologických zařízení) — *Kozlov V. N., Mokrinskaja O. B.*, 21—22.

## Svetotehnika 52 (1983), č. 8

— Osveščenije Centralnogo stadiona v g. Kijeve (Osvětlení Ústředního stadionu v K.) — *Abramova T. V., Carkov V. M., Čudnovskaja S. M.*, 1—4.

— Vlijanje puskovogo perioda na charakteristiki metallogalogenowych lamp (Vliv počtu zapnutí na charakteristiky halogenidových výbojek) — *Petrenko Ju. P.*, 10—11.

— Optimizacija svetocvetovojs sredy v školach (Optimizace barvy světla ve školách) — *Beljajeva N. M., Dozorceva T. B.*, 11—13.

— Povyšenije stabilnosti ljuminescentnych istočníkov sveta (Zvýšení stability elektroluminiscenčních zdrojů světla) — *Kovalev B. A., Cjurupa O. V.*, 14—16.

— Ob osveščenii skladov s kranami-štabelemi (Osvětlení skladů se zkladací) — *Azalijshev V. V.*, 21—22.

## Svetotehnika 52 (1983), č. 9

— Schemotechničeskaja klassifikaciya poluprovodnikovych puskoregulirujuščich apparatov (Bloková klasifikace polovodičů v regulační technice) — *Klykov M. E., Krasnopol'skij A. E., Rozental Je. S., Škuro N. N.*, 1—4.

— Perspektivy razvitiya miniaturnych galogenowych lamp nakalivaniya (Perspektivity vývoje miniaturních halogenových žárovek) — *Volkov V. I.*, 4—5.

— Rasčet oblučatelnych ustanovok v cvetovodstve (Výpočet ozařovacích soustav v kvě-

tinářství) — *Bol'sina N. P., Kozinskij V. A.*, 5—6.

— Povyšenije stabilnosti svetovogo potoka ljuminescentnych lamp (Zvýšení stálosti světelného toku zářivek) — *Jegojan V. V., Pagutjan A. K.*, 6.

— Analiz rezultatov obsledovaniya osvetitelnykh ustanovok škol g. Kirova (Rozbor závěru z prověrky osvětlení škol v K.) — *Klestov V. I.*, 10.

— Programma kursa „Svetotehničeskije i oblučatelnyje ustanovki i ich ekspluatacija“ (Osnova kursu „Zařízení na osvětlování a ozářování a jejich využívání“) — *Matvejev A. B.*, 10—14.

— Programma kursa „Istočniki optičeskogo izlučenija“ (Osnova kursu „Zdroje optického záření“) — *Litvinov V. S.*, 14—16.

— Avtomatičeskaja ustanovka spektrálnych izmerenij (Automatické zařízení na spektrální měření) — *Ščepin V. C.*, 16—17.

— Ob ulušenii osveščenija obšeobrazovatelnykh škol (Zlepšování osvětlení ve všeobecně vzdělávacích školách) — 20—22.

## Svetotehnika 52 (1983), č. 10

— O ocenke effektivnosti energoekonomičeskikh ljuminescentnych lamp (Hodnocení účinnosti energeticky úsporných zářivek) — *Litvinov V. S., Choudek V.*, 1—3.

— O primenenii ljuminescentnych lamp s trechpolosnym spektrom izlučenija v tekstilnoj promyšlennosti (Použití třípásmových zářivek v textilním průmyslu) — *Ilina Je. I.*, 3—5.

— Rabota malomoščnych ljuminescentnych lamp na povyšenijo častote (Činnost méně výkonných zářivek při vyšších kmitočtech) — *Garkovec A. M., Roj V. F.*, 10—11.

— Vlijanje svetovych uslovij na nabljudenije čerez volokonno-optičeskije sistemy (Vlivy světelých podmínek na pozorování pomocí systémů s vláknovou optikou) — *Michejev P. A., Nikolajeva V. K., Pujša A. E., Storožev Ju. V.*, 11—13.

— Cvetovoye i spektralnyje rasčety na klavišnyx EVM (Barevné a spektrální výpočty na klávesových počítačích) — *Njubin V. V.*, 13—14.

— Programma kursa „Svetovoye pribory (teoriya i rasčet)“ (Osnova kursu „Osvětlovací zařízení — teorie a výpočet“) — *Trembač V. V.*, 14—16.

— Programma kursa „Projektirovaniye i konstruirovaniye svetovych priborov“ (Osnova kursu „Projektování a konstrukce osvětlovacích zařízení“) — *Glebov B. N.*, 16—18.

— Sovmeščenojo osveščenije zalnyh poměšenij (Sdružené osvětlení halových prostřú) — *Bochonjuk A. I.*, 18—20.

— O „Posobijs po projektirovaniyu naružnogo osveščenija gorodov, poselkov i selskich naseleñnykh punktov“ (Pomůcka k navrhování venkovního osvětlení měst, osad a vesnic) — *Dobrjakova G. A., Zobov V. P., Korjagin O. G., Podgornych L. A.*, 20—21.

## Vodosnabženie i sanitarnaja technika (1983), č. 8

- Okšledovanie techničeskogo sostojanija soorúženij vodoprovodno-kanalizacionnogo chozjajstva (Průzkum technického stavu zařízení vodního a stokového hospodářství) — Šapovalov V. T., Tarchov E. N., Podmarkov — D. A., Pinturič R. P., 3—4.
- Vodoprovodnaja armatura (Vodovodní armatura) — Danilova N. P., 4—6.
- Rasčet vodopodogrevateľej dlja sistem teplosnabženija (Výpočet ohříváčů vody pro systémy zásobování vodou) — Ostapuščenko P. G., Gomon V. I., 7—9.
- Sistema isparitel'nogo ochlaždenija promyšlennych agregatov (Systém výparníkového chlazení průmyslových agregátů) — Andon'ev S. M., Istomin V. V., 9—11.
- Effektivnost' solnečnogo vozduchonagrevatela, sovmeščennogo so stenovoju panel'ju (Účinnost slunečního ohříváče vzduchu, spojeného se stěnovým panelem) — Poz M. Ja., Kudrjavcev A. I., 11—14.
- Pofasadnoe regulirovanie otopenija žilich zdanij (Regulace vytápění obytných budov podle orientace průčelí ke světovým stranám) — Lokšin L. S., 17—19.
- Prokladka truboprovodov v večnomerzlych gruntach (Pokládání potrubí do věčně zmrzlé země) — Stegancev V. P., Ljutiv A. V., 19—21.
- Recirkulacionnye metody intensifikacii rabičky biofil'trov (Recirkulační metody intenzifikace práce biologických filtrů) — Jakovlev S. V., Repin B. N., Adchikari Š. Č., 23—24.
- Obrabotka vody v sistemach gorjačego vodosnabženija (Úprava vody v systémech zásobování horkou vodou) — Sazonov R. P., Reznik Ja. E., Beljakina I. V., 25—27.
- Stoimost' otopenija individual'nych žilich domov (Náklady na vytápění rodinných domků) — Basin G. L., 27—30.
- Sistema soorúženij po podgotovke stočnych vod k orošeniju (Systém úpravy odpadních vod k zavlažování) — 30—31.
- Ispol'zovanie teploty uchodjaščich gazov (Využití tepla odpadních plynů) — 31.

## Vodosnabženie i sanitarnaja technika (1983), č. 9

- Uplotnitel'nye materialy dlja začekanki stykovych soedinenij trub (Těsnící materiály pro utěsnění stykových spojů potrubí) — Gotovcev V. I., Mašaščenko V. A., 3—4.
- Biotermičeskoe obezvreživanie osadkov stočnych vod i tverdyh bytovych otchodov (Biologické a tepelné zneškodňování kalů odpadních vod a tuhých domovních odpadků) — Volček Ju. K., 5—6.
- Issledovanie normativov nakoplenija tverdyh bytovych otchodov (Výzkum normativů pro shromažďování tuhých domovních odpadků) — Raznoščik V. V., 7—8.
- Povýšenie effektivnosti raboty fil'trov (Zvýšení účinnosti filtrů pro čištění vody) — Bagackij Ju. B., Mirkis V. I., 8—10.
- Očistka stočnych vod na metallurgičeskich

zavodach (Čištění odpadních vod na metalurgických závodech) — Panteljat G. S., Šub V. P., Kulischenko N. A., 11—12.

— Effektivnaja konstrukcija vodopodogrevatela dlja sistem teplosnabženija (Učinná konstrukce ohříváče vody pro systémy zásobování teplem) — Gomon V. I., Ostapuščenko P. G., Aronov I. Z., 13—15.

— Očistka kalorifernych ustancovok (Čištění kaloriferů) — Michajlov S. A., 16—17.

— Količestvennoe i kačestvennoe regulirovaniye teploproizvoditel'nosti sistem ventiliacii (Kvantitativní a kvalitativní regulace tepelného výkonu větracích systémů) — Tkačenko E. V., 17—18.

— Donnye porogi (Přepady u zásobníků vody) — Lazarjan E. L., 21—22.

— Ekonomija tepla i materialov v sistemach ventiliacii (Úspory tepla a materiálu u větracích systémů) — Dudčenko V. G., 22.

— Avtonomnye geliuustanovki gorjačego vodosnabženija (Autonomní solární zařízení pro ohřev vody) — Nasonov E. A., Rašidov Ju. K., 23—24.

— Ulučšenie komponovočnych rešenij povysitel'nyx nasosnych ustancovok i vodomernych uzlov (Zlepšení skladebných řešení zvyšovacích čerpadel a vodoměrů) — Gejnc V. G., 25—26.

— Metod instrumental'nogo kontrolja BPK (Metoda instrumentální kontroly BSK odpadních vod) — Golovatyj E. I., 27—29.

— Racional'noe razmeščenie inženernyx komunikacij v administrativnom zdaniu (Racionální rozmištění inženýrských sítí v administrativní budově) — Surkin A. S., Kotljar B. E., Stavickij A. I., 29—30.

## Vodosnabženie i sanitarnaja technika (1983), č. 10

— Rekomendacija po gidravličeskomu rasčetu namyvných sorbcionnych fil'trov (Doporučení k hydraulickému výpočtu smáčených sorpčních filtrů) — Sarkisjan V. S., Čitčjan A. Ž., 4—5.

— Primeneñie keramzita v kačestve zagruzki vodočistnych fil'trov (Použití keramzitu jako náplň filtrů pro čištění vody) — Mel'cer V. Z., Ajukajev R. I., Chajkio E., 6—7.

— Ispol'zovanie otchodaščich gazov kotlov i teplových ustrojstv (Využití odpadních plynů od kotlů a tepelných zařízení) — Bucharkin E. N., 8—9.

— Kompaktnye očistnye soorúženija v GDR (Kompaktní zařízení na čištění vody v NDR) — Randal'f R., 10.

— Poskolovki s mechanickim vzmucivaniem peska (Lapač písku s mechanickým rozplavováním písku) — Smolin K. K., 11—12.

— Rasčet kamery orošenija marki OKF (Výpočet zvlhčovací komory OKF) — Taliev V. N., Altynova A. L., 12—13.

— Ispol'zovanie solnečnoj energii dlja teplosnabženija zdanij v zone BAMa (Využití sluneční energie pro zásobování budov teplem v oblasti BAMu) — Peker Ja. D., Kosov P. D., 14—15.

- Rasčet razvetvlených teploprovodov (Výpočet rozbíjených teplovodů) — *Markov A. P., Pronina I. B.*, 16—18.
- Vodomazutnye emul'sii — effektivnoe toplivo dlja otopitel'nych kotel'nych (Emulze vody a mazutu — účinné topivo pro výtopny) — *Volikov A. N., Abramov A. K.*, 20—21.
- Puti utilizacii regeneratorov ionoobmenykh smol (Využití regenerátorov ionexových pryskyřic) — *Vojtovič V. B., Izmajlova D. R., Kalinikov D. D., Kurolap N. S., Kovalev N. S., Suslina T. G., Sokolov B. F., Šviridova N. M.*, 22—23.
- Plavučij vodozabor-otstojnik dlja predvaritel'nogo osvetlenija prirodnych vod s vysokoj mutnosti (Plovoucí odkalovací nádrž pro předběžné odkalení přírodních vod s vysokým stupněm zakalení) — *Babaev I. S., Šamedov R. I., Chalilov Š. A.*, 24—26.
- Približennoe modelirovanie vozdejstvija vetra na zdaniya (Přiblížné modelování působení větru na budovy) — *Aliev F. G.*, 27.
- Vodovzdušnyj difmanometr bez avtonomnogo istočnika sžatogo vozducha (Vodní a vzduchový diferenční manometr bez autonomního zdroje stlačeného vzduchu) — *Glazunov E. M.*, 28.
- Ustrojstvo dlja opredelenija intensivnosti promyvki fil'tra (Zařízení pro určení intenzity proplyvky filtru) — *Sokol'nikov V. I.*, 29—30.
- Regeneracija metallov iz stočnych vod i technologičeskikh rastvorov (Regenerace kovů z odpadních vod a technologických roztoků) — *Karelin Ja. A., Jakubovskij E. P.*, 30.
- Stočnye vody zavodov po proizvodstvu mjasokostnoj muki (Odpadní vody z výroby práškových krmiv živočišného původu) — *Smirnov O. P., Kichno V. S., Jakubov K. A., Lotokajka O. N.*, 23—24.
- Osvetlenie vysokomutných poverchnostnych vod Srednej Azii (Vyčerování velmi zakalených povrchových vod Střední Asie) — *Bondarenko V. I., Amosova E. G., Pavlov G. D.*, 25—25.
- Effektivnost' proektnych rešenij vodosnabženija sel'skikh naselennych mest (Efektivita projektových řešení zásobování venkovských sídlišť vodou) — *Boguslavskij L. D., Alimova L. S.*, 27—30.
- Avtomatizacija pritočnych ventilacionnyh ustanovok (Automatizace přetlakových větracích zařízení) — *Postnov V. A.*, 30—32.

#### **Vodosnabženie i sanitarnaja technika, 1983, č. 12**

##### **Vodosnabženie i sanitarnaja technika (1983), č. 11**

- Prirodnye sorbenty v technologii očistki stočnych vod (Přírodní sorbenty v technologii čištění odpadních vod) — *Belevcev A. N.*, 5—7.
- Sbros osadkov vodoprovodnych stancij v gorodskuju kanalizaciju (Vypouštění kalů z vodáren do městské kanalizace) — *Jakubov S. V., Ganin B. A., Matrosov A. S., Vetrile L. A., Kol'čugin B. M.*, 7—9.
- Issledovanie processov nizkotemperaturnogo nagревa i uvlažnenija vozducha v centroběžnom teplomassoobmeniku (Výzkum procesů nízkoteplotního ohřevu a zvlhčování vzduchu u rotačního výměníku) — *Grosman E. R., Kremnev V. O., Tolstykh I. P., Umanskij L. R.*, 9—10.
- Sistemy aspiracii pogruzočnyh tunnelej (Systémy odsávání u tunelů pro nakládku vagonů) — *Štopko D. F.*, 11—12.
- Ekspress-metod rasčeta glušitelej (Rychlá metoda výpočtu tlumičů hluku pro větrací systémy) — *Leskov E. A.*, 12—14.
- Pritočnye ventilacionnye sistemy nebol'soj priozvoditel'nosti s grupovym regulirovaniem po teplonositel'ju (Přetlakové větrací systémy s malým výkonem se skupinovou regulací teplonosným médiem) — *Rabinovič A. A.*, 14—16.
- Ochrana atmosfernogo vozducha ot zagrjaz-
- nenij (Ochrana atmosféry před znečištěním) — *Konstantinova E. I., Popov V. L.*, 17—18.
- Ispol'zovanie geliosistem v inventarnych zdaniach (Využití solárních systémů v montovaných obytných bungalovech) — *Poz M. Ja., Kudrjavcev A. I., Ivanichina L. V., Beljaev A. B., Kol'čugin Ju. F.*, 20—21.
- Radial'nye otstojniki dlja očistki stočnych vod travil'nych otdelenij (Radiální usazovací nádrže pro čištění odpadních vod z moříren) — *Vajnštejn I. A., Badanina A. I., Klenyševa L. D., Kudenko G. A.*, 21—22.
- Stočnye vody zavodov po proizvodstvu mjasokostnoj muki (Odpadní vody z výroby práškových krmiv živočišného původu) — *Smirnov O. P., Kichno V. S., Jakubov K. A., Lotokajka O. N.*, 23—24.
- Osvetlenie vysokomutných poverchnostnych vod Srednej Azii (Vyčerování velmi zakalených povrchových vod Střední Asie) — *Bondarenko V. I., Amosova E. G., Pavlov G. D.*, 25—25.
- Effektivnost' proektnych rešenij vodosnabženija sel'skikh naselennych mest (Efektivita projektových řešení zásobování venkovských sídlišť vodou) — *Boguslavskij L. D., Alimova L. S.*, 27—30.
- Avtomatizacija pritočnych ventilacionnyh ustanovok (Automatizace přetlakových větracích zařízení) — *Postnov V. A.*, 30—32.
- Zaščita metaličeskikh truboprovodov ot korrozi (Ochrana kovového potrubí před korozií) — *Demidov Ju. L., Romejko V. S., Koliskov T. M., Janovskij Ju. G.*, 4—6.
- Korroziyonnye processy i sochranenie pit'evykh kačestv chlorirovannoy vody (Procesy koroze a uchování kvality pitné chlorované vody) — *Evtikov N. I., Snytin I. A., Tichonova L. S., Satieva R. K.*, 7—8.
- Gidravličeskij rasčet plastmassovych trub (Hydraulický výpočet potrubí z plastických hmot) — *Ševelev A. F.*, 8—9.
- Opyt primenenija ustanovok tipa KU-200 (Zkušenosti s použitím zařízení KU-200 pro čištění odpadních vod) — *Butanov K. N., Lenskij B. P., Šinkarenko V. A.*, 10—12.
- Dolgovečnost' ocinkovannyh truboprovodov sistem gorjačego vodosnabženija (Životnost pozinkovaného potrubí pro systémy zásobování horkou vodou) — *Proskurkin E. V., Mitnikov I. E., Norvillo N. Ju., Litvinova N. E., Rubašov A. M., Popov A. I., Sazonov R. P.*, 13—15.
- Metod estestvennoj deaeracii v sistemach gorjačego vodosnabženija (Metoda přirozené deaerace v systémech zásobování horkou vodou) — *Dorin L. K., Rubašov A. M., Popov A. I.*, 15—17.
- Avtomatizacija raboty inženernych sistem zdanija (Automatizace provozu inženýrských sítí budovy) — *Ridel' M.*, 18—19.
- Biochimičeskaja očistka stočnych vod ot flotacii železnych rud (Biochemické čištění

odpadních vod od flotace železných rud) — *Kurníovič O. B., Pankratov P. I.*, 21.

— Oborotnoe vodosnabženie gazoočistok konvertornych cechov (Zpětné zásobování vodou zařízení na čištění plynů u konvertorových oceláren) — *Panteljat G. S., Šub V. B.*, 22—23.  
— Novye napravlenija v utilizacii osadkov stočnych vod (Nové směry ve využití kalů odpadních vod) — *Evilevič A. Z.*, 24—25.  
— Fiziko-chimičeskaja doočistka stočnych vod sanatorija „Chumsan“ (Fyzikálně-chemické dočištění odpadních vod sanatoria „Chum-san“) — *Slavinskij A. S., Karimova A. M.*, 27.

---

### • Problémy s veřejným osvětlením

aneb proč se nedaří plnit vládní usnesení o snížení spotřeby elektrické energie ve veřejném osvětlení na 1/2: 1982 proti 1981 = 80 %, tj. jen o 1/5 nižší.

Nejúspěšnější je Západočeský kraj — ušetřil 36 % a nad 20 % se dostaly jen Praha a Bratislava, Středočeský, Západoslovenský a Východoslovenský kraj. Kraj Východočeský a Severomoravský dosáhly úspory necelých 10 %, kraj Jihomoravský limitovanou spotřebu nepatrнě překročil.

Přičin neplnění usnesení je mnoho. Dosa-vadní vypínání, změnování počtu svítících bodů apod. opatření se ukázala nevhodná až „drahá“ růstem nedohodnosti a kriminality. Z rozumných cest ztroskotala však např. nabídka technických řešení, a to trochu překvapuje. Vlastně překvapuje jednostrannost — když si odmyslíme výši investičních nákladů na rekonstrukce. Je dostatek účinných zdrojů — vysokotlakých sodíkových výbojek základních nejužívanějších příkonů, ale nedostatek vhodných svítidel, svítidel vůbec a pro sodíkové výbojky zvlášť. Z časového hlediska jde o paradox — nesoulad plánování nelze vysvětlit tedy ani omluvit. Potom tlak na rekonstrukce soustav a zvláště řídících a ovládacích prvků není účinný a odpor oprávněný.

Cas nám není přítelem. Úspora asi 150 mil. kWh je „dobrá“, ale úspora 350 mil. kWh je přece jen významnější a patrnější. Pracovat k ní je naši povinností.

(ČTK)

(LCh)

### • Osvětlení bytových kuchyní

prakticky nikde na světě nedosahuje úrovně, doporučované IES (podle průzkumu — Ltg. Res. Techn. 1983/1). Nejpravděpodobnějším důvodem je, že uživatelé si nejsou vědomi výhod, které dobré osvětlení poskytuje — hlavně z důvodu psychologických při málo oblíbených stereotypních pracích, dále potom z důvodu bezpečnosti práce. Dalšími důvody jsou technické nedostatky výrobků: osvětlení nemí vždy součástí zařízení, bud se montuje dodatečně nebo později si musí sám pomocí uživatel. Čs. výrobci již tak nezapomínají, ale mají jen velmi omezené možnosti.

Bohatší vybavení osvětlením nemůže být drahé, jak se mnozí domnívají. Výroba polotovarů, technika zpracování surovin a změny jídelníčku, vyplývající jednak z časové tísni spotřebitelů, jednak ze změn společnosti, zkracují doby pobytu v kuchyni na minimum — někdy ovšem ke škodě výzivy! Přispívá též účast více členů rodiny na přípravě některých jídel a také koncentrace dispozice, tj. řešení bytu. To vše umožňuje dělení činností a tedy využívání místního osvětlení (při osvětlení celkovém umělému nebo sdrženém) ve vhodných poměrech.

Ukázalo se, že 100lx na pracovní ploše je dostatečná intenzita pro mnoho (ne-li většinu) úkonů, 300lx vytváří situaci téměř ideální. Možnost přepínání se zvlášť oceňuje — nebo řiditelnost vůbec, a to hlavně tam, kde kuchyně má vyhrazeně pracovní nebo vyhrazeně obytný charakter, tj. současně slouží jako rodinný společenský prostor.

(LCh)

**Všeobecné požadavky**

Na základě doporučení ministerstva lesního a vodního hospodářství ČSR byla s účinností od 1. 7. 1984 zavedena mezinárodní norma RVHP ST SEV 2598-80 Ochrana přírody. Atmosféra. Všeobecné požadavky k metodám stanovení znečišťujících látek jako nová čs. státní norma.

Norma RVHP obsahuje v 11 článcích všeobecné požadavky na metrologicky zajištěné metody, činidla a zařízení pro stanovení imisí znečišťujících látek. Z metodického hlediska je významná informační příloha normy, stanovující obsah popisu metody stanovení znečišťující látky v ovzduší, který může zahrnovat:

fyzikální a chemické vlastnosti látek znečišťujících vzduch (vzorec, molekulová hmotnost, rozpustnost ve vodě a v organických rozpouštědlech, teplota tání, teplota varu,

tlak nasycených par, skupenství, toxikologická charakteristika, hodnoty NKP),

podstatu metody,

popis vlivů, které ruší stanovení,

seznam použitých činidel a jejich kvalita, seznam použitých roztoků, postup jejich přípravy a použití, dobu a podmínky skladování,

popis použité aparatury a přístrojů,

podmínky odběru vzorků,

podmínky dopravy a skladování odebraných vzorků vzduchu,

podmínky rozboru odebraných vzorků,

postup sestrojení kalibrační krivky,

uvedení chyby stanovení,

zpracování výsledků,

metodu zneškodňování produktů rozboru.

Zpracovateli osmistránkové normy jsou Český hydrometeorologický ústav Praha a Institut hygieny a epidemiologie Praha.

(tes)

**Ztv**

**4**

Zdravotní technika a vzduchotechnika. Ročník 27, číslo 4, 1984. Vydává český výbor komitétu pro životní prostředí ČSVTS v Academii, nakladatelství Československé akademie věd, Vodičkova 40, 112 29 Praha 1. Adresa redakce: Dvorecká 3, 147 00 Praha 4. — Tiskne Tisk, knižní výroba, n. p., 656 01 Brno, závod 1. — Vychází šestkrát ročně. Rozšířuje PNS. Informace o předplatném podá a objednávky přijímá každá administrace PNS, pošta, doručovatel a PNS ÚED Brno. Objednávky do zahraničí vyřizuje PNS-ústřední expedice a dovoz tisku Praha, závod 01, administrace vývozu tisku, Kafkova 19, 160 000 Praha 6. Cena jednoho čísla Kčs 8,—, roční předplatné Kčs 48,—. (Tyto ceny jsou platné pouze pro Československo.)  
Distribution rights in the western countries: Kubon & Sagner, P.O. Box 340 108, D-8000 München 34, GFR.

Annual subscription: Vol. 27, 1984 (6 issues) DM 88,—.  
Toto číslo vyšlo v srpnu 1984.

© Academia, Praha 1984.